



ใบรับรองวิทยานิพนธ์

บัณฑิตวิทยาลัย สถาบันเทคโนโลยีพระจอมเกล้าพระนครเหนือ

เรื่อง การสร้างระบบบีบอัดและขยายสัญญาณคลื่นไฟฟ้าหัวใจแบบเวลาจริงโดยใช้

การประมวลผลสัญญาณเชิงเลขหลายอัตรา

โดย นายอภิชาติ กระจ่างเฒ่า

ได้รับอนุมัติให้นับเป็นส่วนหนึ่งของการศึกษาตามหลักสูตร

วิทยาศาสตร์มหาบัณฑิต สาขาวิชาอุปกรณ์การแพทย์

คณบดีบัณฑิตวิทยาลัย

(อาจารย์ ดร.มงคล หวังสถิตย์วงศ์)

13 ตุลาคม 2549

คณะกรรมการสอบวิทยานิพนธ์

ประธานกรรมการ

(รองศาสตราจารย์จรัสศักดิ์ ชาญวุฒิชัยธรรม)

กรรมการ

(ผู้ช่วยศาสตราจารย์สุรพันธ์ ยิ้มมัน)

กรรมการ

(ผู้ช่วยศาสตราจารย์ ดร.พยุง มีตั้ง)

กรรมการ

(ผู้ช่วยศาสตราจารย์ ดร.พิพัฒน์ พรหมมี)

การสร้างระบบบีบอัดและขยายสัญญาณคลื่นไฟฟ้าหัวใจแบบเวลาจริง
โดยใช้การประมวลผลสัญญาณเชิงเลขหลายอัตรา

นายอภิชาติ กระจ่างเฝ้า

วิทยานิพนธ์นี้เป็นส่วนหนึ่งของการศึกษาตามหลักสูตร

วิทยาศาสตรมหาบัณฑิต

สาขาวิชาอุปกรณ์การแพทย์ ภาควิชาฟิสิกส์อุตสาหกรรมและอุปกรณ์การแพทย์

บัณฑิตวิทยาลัย สถาบันเทคโนโลยีพระจอมเกล้าพระนครเหนือ

ปีการศึกษา 2549

ISBN 974-19-0855-5

ลิขสิทธิ์ของสถาบันเทคโนโลยีพระจอมเกล้าพระนครเหนือ

ชื่อ : นายอภิชาติ กระจ่างเย่า
ชื่อวิทยานิพนธ์ : การสร้างระบบบีบอัดและขยายสัญญาณคลื่นไฟฟ้าหัวใจแบบเวลาจริง
โดยใช้การประมวลผลสัญญาณเชิงเลขหลายอัตรา
สาขาวิชา : อุปกรณ์การแพทย์
สถาบันเทคโนโลยีพระจอมเกล้าพระนครเหนือ
ที่ปรึกษาวิทยานิพนธ์ : รองศาสตราจารย์จรัสศักดิ์ ชาญวุฒิชัยธรรม
ผู้ช่วยศาสตราจารย์สุรพันธ์ ยิ้มมัน
ปีการศึกษา : 2549

บทคัดย่อ

วิทยานิพนธ์นี้นำเสนอการสร้างระบบบีบอัดและขยายสัญญาณคลื่นไฟฟ้าหัวใจแบบเวลาจริง โดยใช้หลักการของการประมวลผลสัญญาณเชิงเลขหลายอัตรา การสร้างจริงทำบนตัวประมวลผลสัญญาณดิจิทัล TMS320C31 ในการทดลองจะทำการลดขนาดสัญญาณคลื่นไฟฟ้าหัวใจ 2 เท่า 4 เท่า และ 8 เท่า ผลการทดลองพบว่าสัญญาณคลื่นไฟฟ้าหัวใจที่ได้รับการบีบอัดและขยาย จะมีค่าเปอร์เซ็นต์ความผิดพลาด (Percent Root-Mean Square Different : PRD) ต่ำ ซึ่งจากผลการทดลองสามารถนำเอาระบบบีบอัดและขยายสัญญาณคลื่นไฟฟ้าหัวใจ ไปสร้างเครื่องบันทึกคลื่นไฟฟ้าหัวใจ (ECG Recorder) และระบบการเฝ้าระวัง (Monitor) ผู้ป่วยระยะไกลได้
(วิทยานิพนธ์มีจำนวนทั้งสิ้น 137 หน้า)

คำสำคัญ : คลื่นไฟฟ้าหัวใจ, การประมวลผลสัญญาณดิจิทัล

Name : Mr.Apichit Krajangyao
Thesis Title : Real Time ECG Compression/Decompression System with
Multirate Digital Signal Processing
Major Field : Medical Instrumentation
King Mongkut's Institute of Technology North Bangkok
Thesis Advisors : Associate Professor Jirasak Chanwutitum
Assistant Professor Surapan Yimman
Academic Year : 2006

Abstract

This thesis introduces the real-time ECG compression/decompression system using multirate digital signal processing implemented on TMS320C31 DSP board. The designed ECG compress/decompress system is able to compress the ECG signals at ratio of 2 times, 4 times, and 8 times by decimation technique. The compressed signal is then recovered back by decompression and interpolation techniques. The consistency of this ECG compress/decompress system is shown by low PRDs (Percent Root Mean Square Differences) compared between the decompressed signal and the original signal. The reliable of estimated signal of the ECG compression/decompression system make it suitable for the application in telemedicine and home based patient monitoring.

(Total 137 pages)

Keywords : ECG (Electrocardiogram),DSP (Digital Signal Processing)

Advisor

กิตติกรรมประกาศ

วิทยานิพนธ์นี้สำเร็จลุล่วงไปได้ด้วยความช่วยเหลืออย่างดียิ่งจากบุคคลหลายท่าน ผู้วิจัยขอขอบพระคุณ รองศาสตราจารย์จิระศักดิ์ ชาญวุฒิชัยธรรม ผู้ช่วยศาสตราจารย์สุรพันธ์ ยิ้มมัน อาจารย์พยุง เดชอยู่ ที่ได้ให้แนวคิดและแนวปฏิบัติในการทำงานวิจัยนี้ ขอขอบพระคุณอาจารย์ภาควิชาฟิสิกส์อุตสาหกรรมและอุปกรณ์การแพทย์ทุกท่าน ที่ได้ให้ความรู้ความเข้าใจในระหว่างการศึกษา ขอขอบคุณ อาจารย์ชูสิทธิ์ ประดับเพชร ที่ได้ให้โอกาสในการเข้ามาศึกษาในระหว่างที่ทำงานที่มหาวิทยาลัยราชภัฏพระนครศรีอยุธยา และช่วยหาเอกสารประกอบในการทำงานวิจัยนี้

ขอขอบคุณ คุณศุภชัย ยิ่งเจริญ และ เพื่อนๆ อุปกรณ์การแพทย์รุ่นที่ 5 และพี่น้อง อุปกรณ์การแพทย์ในรุ่นอื่นๆ ที่มีส่วนช่วยให้งานวิจัยนี้สำเร็จลงได้

ขอขอบคุณบัณฑิตวิทยาลัยที่ช่วยในการดำเนินเรื่องต่างๆ และการให้คำแนะนำขั้นตอนของการทำงานวิจัยนี้

ขอบคุณ คุณชวลิต อินทรพงษ์ ที่เอื้อเฟื้อสถานที่พักและเครื่องคอมพิวเตอร์ ในช่วงระหว่างการทำวิทยานิพนธ์

ขอบคุณ คุณสมพิศ รักซ้อน ที่คอยให้กำลังใจและความรู้สึกที่ดีๆ มาตลอด และเป็นแรงผลักดันให้งานวิจัยนี้สำเร็จไปได้ด้วยดี

ขอบคุณ พี่นิศรา กระจ่างเภา(พี่ป๊อ) และ หลวงพี่สุระ กระจ่างเภา (พระโป้ง) ที่เป็นกำลังใจและคอยดูแลน้องชายคนนี้เสมอมา

สุดท้ายนี้ขอขอบพระคุณอย่างสูงสำหรับ คุณพ่อสุชีพ คุณแม่อัมรา กระจ่างเภา ที่ให้ความรัก กำลังใจ ความเข้าใจ และ โอกาสดีๆ ในการศึกษา โอกาสดีๆ ในชีวิต และให้การสนับสนุนในทุกๆ ด้านตลอดมา

อภิชาติ กระจ่างเภา

สารบัญ

	หน้า
บทคัดย่อภาษาไทย	ข
บทคัดย่อภาษาอังกฤษ	ค
กิตติกรรมประกาศ	ง
สารบัญตาราง	ช
สารบัญภาพ	ฅ
บทที่ 1 บทนำ	1
1.1 ความเป็นมาของงานวิจัย	1
1.2 วัตถุประสงค์	1
1.3 ขอบเขตของการวิจัย	2
1.4 ประโยชน์ที่คาดว่าจะได้รับ	2
บทที่ 2 ทฤษฎีและหลักการ	3
2.1 การประมวลผลสัญญาณดิจิทัลเบื้องต้น	3
2.2 การประมวลผลแบบหลายอัตราส่วน	16
2.3 ฟังก์ชันพหุนามของลากรองจ์	20
2.4 การหาค่าความผิดพลาดของรูปสัญญาณ	25
2.5 ขบวนการทางไฟฟ้าของหัวใจ	25
2.6 การเกิดสัญญาณคลื่นไฟฟ้าหัวใจ	26
บทที่ 3 ขั้นตอนการดำเนินงาน	27
3.1 ศึกษาค้นคว้าข้อมูล	27
3.2 การออกแบบการทำงาน	27
3.3 การสร้างจริงบนบอร์ดประมวลผลสัญญาณดิจิทัล TMS320C31 DSK	39
3.4 การประเมินระบบ	40
3.5 การเปรียบเทียบผลการทดลอง	40
บทที่ 4 การทดลองและผลการทดลอง	41
4.1 ผลการจำลองการประมวลผลด้วยโปรแกรม Matlab	41
4.2 ผลการทดลองจริงบนบอร์ดประมวลผล TMS320C31	51
4.3 ผลการหาค่าเปอร์เซ็นต์ความผิดพลาด	60

สารบัญ (ต่อ)

	หน้า
บทที่ 5 สรุปผลและข้อเสนอแนะ	63
5.1 สรุปผล	63
5.2 ข้อเสนอแนะ	64
เอกสารอ้างอิง	65
ภาคผนวก ก	69
ภาคผนวก ข	63
ภาคผนวก ค	93
ภาคผนวก ง	99
ประวัติผู้วิจัย	137

สารบัญตาราง

ตารางที่	หน้า
4-1 ค่าเปอร์เซ็นต์ความผิดพลาดของการทดลอง	60
ก-1 รายการ option ของ Debugger บางคำสั่ง ที่ถูกเรียกใช้บ่อย	71
ก-2 พอร์ตพรีนเตอร์ขนานและหน้าที่	72
ก-3 การแก้ไขคำสั่ง	75
ก-4 คำสั่งแก้ไขในบรรทัด	77
ก-5 Command-Line Buffer Manipulation	77
ก-6 การสั่งงานโปรแกรม	77
ก-7 การแสดงผลและการเปลี่ยนแปลงข้อมูล	78
ก-8 การจัดการ Breakpoint	78
ก-9 การโหลดโปรแกรม	78
ก-10 Performing System Tasks	79
ก-11 ปุ่ม Shortcuts ฟังก์ชันสำหรับหน้าต่าง DISASSEMBLY	79
ก-12 ปุ่ม Shortcuts ฟังก์ชันสำหรับหน้าต่าง CPU	80
ก-13 ปุ่ม Shortcuts ฟังก์ชันสำหรับหน้าต่าง MEMORY	80
ก-14 ปุ่ม Shortcuts ฟังก์ชันสำหรับหน้าต่าง COMMAND	80
ง-1 รีจิสเตอร์ต่างๆและความหมาย	104
ง-2 ตำแหน่งขาและหน้าที่การทำงานของแต่ละขา	116
ง-3 ตำแหน่งและหน้าที่การทำงานของแต่ละขา	124
ง-4 ค่ารีจิสเตอร์ที่มี Sampling rate แตกต่างกัน 4 ค่า	133
ง-5 ตำแหน่งและการเซตค่ารีจิสเตอร์ TMS320C31	136

สารบัญภาพ

ภาพที่	หน้า
2-1 สัญญาณต่อเนื่องและสัญญาณไม่ต่อเนื่อง	3
2-2 ส่วนประกอบในการประมวลผลสัญญาณดิจิทัล	4
2-3 การประมวลผลแบบเวลาจริงทำให้ DSP ทำหน้าที่เหมือนเป็นวงจรแอนะล็อกได้	5
2-4 แผนภาพแสดงตัวอย่างวงจรที่ใช้งานชิพ DSP	7
2-5 การสุ่มด้วยสวิตช์อุคมคติ	8
2-6 สรุปสัญญาณต่างๆในการสุ่มทั้งภาคเวลาและความถี่	10
2-7 สัญญาณในเชิงความถี่ที่เกิดขึ้นเมื่อใช้ f_s ต่ำกว่า $2f_{max}$	11
2-8 ผลตอบสนองเชิงความถี่ของตัวกรองป้องกัน Aliasing	12
2-9 สเปกตรัมของสัญญาณที่เกิดขึ้น เมื่อสุ่มด้วยความถี่สูงกว่า $2f_{max}$ มากๆ	13
2-10 สัญญาณขาเข้าและออกของตัวกรองสร้างสัญญาณคีน	13
2-11 สัญญาณขาเข้า และขาออกของวงจรคงค่าสัญญาณ	14
2-12 (ก) ผลตอบสนองสัญญาณอิมพัลส์ของวงจรคงค่า (ข) ผลตอบสนองเชิงความถี่ ของวงจรคงค่า (ค) สเปกตรัมของสัญญาณ $\hat{y}(t)$ (ง) สเปกตรัมของสัญญาณ $\hat{y}_2(t)$	15
2-13 สัญญาณทางเวลาก่อนและหลังการลดอัตราการสุ่มลง 3 เท่า	17
2-14 สเปกตรัมของสัญญาณก่อน และหลังการลดอัตราการสุ่มลง 3 เท่า	17
2-15 ส่วนประกอบของเดซิเมชัน	17
2-16 สัญญาณทางเวลาก่อนและหลังการเพิ่มอัตราการสุ่มขึ้น 3 เท่า	19
2-17 สเปกตรัมของสัญญาณก่อนและหลังการเพิ่มอัตราการสุ่มขึ้น 3 เท่า	19
2-18 ส่วนประกอบของอินเทอร์โพลชัน	19
2-19 ลักษณะฟังก์ชันเชิงเส้นสำหรับการประมาณค่าในช่วงระหว่าง x_0 และ x_1	20
2-20 ฟังก์ชันประมาณค่าภายในของลากรองจ์แบบเชิงเส้น	21
2-21 ลักษณะฟังก์ชันกำลังสองสำหรับการประมาณค่าในช่วงระหว่าง x_0 และ x_2	22
2-22 ฟังก์ชันประมาณค่าในช่วงของลากรองจ์แบบกำลังสอง	23
2-23 ฟังก์ชันประมาณค่าในช่วงของลากรองจ์แบบพหุนามทั่วไป	24
2-24 ระบบเหนี่ยวนำไฟฟ้าของหัวใจ	26
3-1 เครื่องจำลองคลื่นไฟฟ้าหัวใจ (ECG Simulator)	28
3-2 การเก็บสัญญาณจากเครื่องจำลองคลื่นไฟฟ้าหัวใจ ลงในเครื่องคอมพิวเตอร์	28

สารบัญภาพ (ต่อ)

ภาพที่	หน้า
3-3 การออกแบบบนโปรแกรม Matlab ในส่วนการลดข้อมูล 2 เท่า	29
3-4 ลักษณะการเก็บข้อมูลของการลดข้อมูลจำนวน 2 เท่า	29
3-5 การออกแบบบนโปรแกรม Matlab ในส่วนการลดข้อมูล 4 เท่า	29
3-6 ลักษณะการเก็บข้อมูลของการลดข้อมูลจำนวน 4 เท่า	30
3-7 การออกแบบบนโปรแกรม Matlab ในส่วนการลดข้อมูล 8 เท่า	30
3-8 ลักษณะการเก็บข้อมูลของการลดข้อมูลจำนวน 8 เท่า	30
3-9 การออกแบบบนโปรแกรม Matlab ในส่วนการเพิ่มข้อมูล 2 เท่า	31
3-10 ลักษณะการแทรก 0 ของการเพิ่มข้อมูลจำนวน 2 เท่า	31
3-11 การออกแบบบนโปรแกรม Matlab ในส่วนการเพิ่มข้อมูล 4 เท่า	32
3-12 ลักษณะการแทรก 0 ของการเพิ่มข้อมูลจำนวน 4 เท่า	32
3-13 การออกแบบบนโปรแกรม Matlab ในส่วนการเพิ่มข้อมูล 8 เท่า	32
3-14 ลักษณะการแทรก 0 ของการเพิ่มข้อมูลจำนวน 4 เท่า	33
3-15 โปรแกรม Matlab ในส่วน Lagrange ของการเพิ่มข้อมูล 2 เท่า	34
3-16 การใช้ข้อมูลของการคำนวณหาค่าที่แทรกข้อมูลเข้าไป 2 เท่า	35
3-17 โปรแกรม Matlab ในส่วน Lagrange ของการเพิ่มข้อมูล 4 เท่า	36
3-18 การใช้ข้อมูลของการคำนวณหาค่าที่แทรกข้อมูลเข้าไป 4 เท่า	36
3-19 โปรแกรม Matlab ในส่วน Lagrange ของการเพิ่มข้อมูล 8 เท่า	38
3-20 การใช้ข้อมูลของการคำนวณหาค่าที่แทรกข้อมูลเข้าไป 8 เท่า	38
3-21 การหาค่า PRD ของสัญญาณ คลื่นไฟฟ้าหัวใจ บนโปรแกรม Matlab	39
3-22 ลักษณะการต่อการทำงานจริงบนบอร์ด TMS320C31 DSK	39
4-1 คลื่นไฟฟ้าหัวใจอัตราการเต้น 30 ครั้งต่อนาที ลดขนาดข้อมูล 2 เท่า	42
4-2 กราฟแสดงความผิดพลาดที่อัตราการเต้น 30 ครั้งต่อนาที ลดขนาดข้อมูล 2 เท่า	42
4-3 คลื่นไฟฟ้าหัวใจอัตราการเต้น 30 ครั้งต่อนาที ลดขนาดข้อมูล 4 เท่า	43
4-4 กราฟแสดงความผิดพลาดที่อัตราการเต้น 30 ครั้งต่อนาที ลดขนาดข้อมูล 4 เท่า	43
4-5 คลื่นไฟฟ้าหัวใจอัตราการเต้น 30 ครั้งต่อนาที ลดขนาดข้อมูล 8 เท่า	44
4-6 กราฟแสดงความผิดพลาดที่อัตราการเต้น 30 ครั้งต่อนาที ลดขนาดข้อมูล 8 เท่า	44
4-7 คลื่นไฟฟ้าหัวใจอัตราการเต้น 60 ครั้งต่อนาที ลดขนาดข้อมูล 2 เท่า	45

สารบัญภาพ (ต่อ)

ภาพที่	หน้า
4-35 สัญญาณคลื่นไฟฟ้าหัวใจที่อัตราการเต้น 120 ครั้งต่อนาที ลดขนาดข้อมูล 4 เท่า fs = 1200Hz	59
4-36 สัญญาณคลื่นไฟฟ้าหัวใจที่อัตราการเต้น 120 ครั้งต่อนาที ลดขนาดข้อมูล 8 เท่า fs = 1200Hz	59
4-37 กราฟแสดงค่าความผิดพลาด ที่อัตราการเต้นของหัวใจ 30 ครั้งต่อนาที	61
4-38 กราฟแสดงค่าความผิดพลาด ที่อัตราการเต้นของหัวใจ 60 ครั้งต่อนาที	61
4-38 กราฟแสดงค่าความผิดพลาด ที่อัตราการเต้นของหัวใจ 120 ครั้งต่อนาที	62
ก-1 การรัน โปรแกรม DSK3D	68
ก-2 หน้าจอโปรแกรม dsk3d พร้อมใช้งาน	68
ก-3 พิมพ์คำสั่ง reset ที่หน้าต่าง Command	69
ก-4 พิมพ์คำสั่ง load ตามด้วยชื่อไฟล์ที่ต้องการทดสอบ	69
ก-5 หน้าจอหลังจากโหลดโปรแกรมที่ต้องการทดสอบ	70
ก-6 หน้าจอหลังจากรันโปรแกรมโดยกดปุ่ม F5	70
ก-7 หน้าต่าง DISASSEMBLY	73
ก-8 หน้าต่าง CPU รีจิสเตอร์	73
ก-9 หน้าต่าง MEMORY	74
ก-10 หน้าต่าง COMMAND	75
ก-11 รายละเอียดของหน้าต่าง Help Menu	76
ค-1 บอร์ดหน่วยความจำภายนอก	94
ค-2 ลายวงจรบอร์ดหน่วยความจำภายนอก(ด้านหน้า)	95
ค-3 ลายวงจรบอร์ดหน่วยความจำภายนอก(ด้านหลัง)	96
ค-4 การวางอุปกรณ์บนบอร์ดหน่วยความจำภายนอก	97
ง-1 บล็อกไดอะแกรมของ TMS320C31	101
ง-2 หน่วยประมวลผลกลางของ (CPU) ของ TMS320C31	102
ง-3 การจัดหน่วยความจำของ TMS320C31	106
ง-4 การจัดแบ่งหน่วยความจำของ TMS320C31	107
ง-5 การจัดหน่วยความจำในโหมดไมโครโปรเซสเซอร์ในช่วง 00h – 3Fh และ การจัด หน่วยความจำในโหมดไมโครคอมพิวเตอร์ในช่วง 809FC1h – 809FFFh	108
ง-6 การจัดหน่วยความจำของอุปกรณ์สนับสนุน	109

สารบัญภาพ (ต่อ)

ภาพที่	หน้า
ง-7 Peripheral Modules ของ TMS320C31	111
ง-8 การควบคุม DMA ของ TMS320C31	112
ง-9 ลักษณะของชิป TMS320C31	113
ง-10 หน้าที่ของขาสัญญาณของ TMS320C31 เรียงตามลำดับตัวอักษร	114
ง-11 หน้าที่ของขาสัญญาณของ TMS320C31 เรียงตามลำดับขาสัญญาณ	115
ง-12 ฮาร์ดแวร์ของบอร์ด TMS320C31 DSP Starter Kit	119
ง-13 บล็อกไดอะแกรมของบอร์ด TMS320C31 DSP Starter Kit	120
ง-14 การจัดแบ่งหน่วยความจำในโหมด Microcomputer/Boot Loader ของ บอร์ด TMS320C31 DSP Starter Kit	121
ง-15 ลักษณะโดยรวมของบอร์ด TMS320C31 DSP Starter Kit	122
ง-16 ฟังก์ชันไดอะแกรมของ TLC32040	123
ง-17 Timing ภายใน TLC32040	128
ง-18 ข้อกำหนดของการติดต่อระดับ 2	129
ง-19 Status (ST) register	133
ง-20 Interrupt enable (IE) register	134
ง-21 Memory – mapped interrupt location	134
ง-22 Peripheral bus memory – mapped registers	135
ง-23 Timer global register	136
ง-24 Serial port control register	136

บทที่ 1

บทนำ

1.1 ความเป็นมาของงานวิจัย

การประมวลผลสัญญาณดิจิทัลเจริญก้าวหน้าขึ้นเป็นอย่างมาก และนำไปใช้กับงานทางด้านต่างๆ มากมาย งานทางด้านทางการแพทย์ก็เป็นงานหนึ่งที่ได้นำเอาระบบประมวลผลสัญญาณดิจิทัลมาประยุกต์ใช้งานตัวอย่างเช่น Bio-Signal Analysis, Medical Image Processing [1] เป็นต้น นอกจากการประยุกต์ใช้งานดังกล่าวแล้ว งานทางด้าน Data Recorder, Data Compression/Decompression [1, 2, 3] เป็นงานที่มีประโยชน์และสามารถนำไปประยุกต์ใช้งานทางการแพทย์ได้

สัญญาณคลื่นไฟฟ้าหัวใจ ECG เป็นสิ่งที่สำคัญในการวินิจฉัยอาการของผู้ป่วยจึงได้มีการสร้างเครื่องบันทึกคลื่นไฟฟ้าหัวใจขึ้นเพื่อใช้เก็บสัญญาณคลื่นไฟฟ้าหัวใจ เพื่อให้แพทย์ใช้วิเคราะห์อาการของผู้ป่วย และเป็นประโยชน์อย่างมากกับผู้ป่วยที่ต้องรับการผ่าตัดหรืออยู่ในภาวะวิกฤต ซึ่งแพทย์จำเป็นจะต้องสังเกตการเต้นของหัวใจอย่างต่อเนื่องตลอดเวลา แต่ปัญหาสำคัญอย่างหนึ่งของการสร้างเครื่องบันทึกคลื่นไฟฟ้าหัวใจ ก็คือหน่วยจำที่ใช้เก็บข้อมูลต้องมีจำนวนมากเพื่อรองรับการบันทึกสัญญาณคลื่นไฟฟ้าหัวใจจากผู้ป่วยอย่างต่อเนื่องตลอดเวลา ทำให้สิ้นเปลืองค่าใช้จ่ายในการเพิ่มหน่วยความจำ จึงได้มีการแก้ปัญหาโดยการลดขนาด (Compression) สัญญาณคลื่นไฟฟ้าหัวใจลง ซึ่งในการลดขนาดสัญญาณคลื่นไฟฟ้าหัวใจนี้กระทำได้หลายวิธี เช่น Wavelet transform, Long-term prediction [3] สำหรับวิทยานิพนธ์นี้จะนำเสนอการออกแบบและสร้างระบบบีบอัดและขยายสัญญาณคลื่นไฟฟ้าหัวใจแบบเวลาจริง โดยหลักการประมวลผลสัญญาณเชิงเลขหลายอัตรา [4, 5, 6, 7] โดยจะออกแบบระบบบนโปรแกรม Matlab และจะนำระบบไปทำการสร้างจริงบนตัวประมวลผลสัญญาณดิจิทัล TMS320C31 [12, 13, 14] และหาค่าเปอร์เซ็นต์ความผิดพลาดเป็น (Percent Root mean square Different : PRD) [1, 2] ของสัญญาณ Output เปรียบเทียบกับสัญญาณ Input

1.2 วัตถุประสงค์

1.2.1 สร้างระบบบีบอัดและขยายสัญญาณคลื่นไฟฟ้าหัวใจแบบเวลาจริง โดยใช้การประมวลผลสัญญาณเชิงเลขหลายอัตรา เพื่อให้ได้เปอร์เซ็นต์ความผิดพลาดน้อยที่สุดและมีขนาดของข้อมูลน้อยที่สุด

1.2.2 นำระบบที่ได้ไปสร้างจริงบนตัวประมวลผลสัญญาณดิจิทัล TMS320C31

1.2.3 นำระบบที่ได้ไปเปรียบเทียบวิธีการบีบอัดข้อมูลวิธีอื่นเพื่อดูประสิทธิภาพของระบบ

1.3 ขอบเขตของการวิจัย

1.3.1 ออกแบบระบบบีบอัดและขยายสัญญาณคลื่นไฟฟ้าหัวใจแบบเวลาจริง โดยการประมวลผลสัญญาณเชิงเลขหลายอัตรา

1.3.2 นำระบบที่ได้ไปสร้างบนตัวประมวลผลสัญญาณดิจิทัล TMS320C31

1.3.2.1 ทำการลดขนาดคลื่นไฟฟ้าหัวใจด้วยอัตรา 2 เท่า

1.3.2.2 ทำการลดขนาดคลื่นไฟฟ้าหัวใจด้วยอัตรา 4 เท่า

1.3.2.3 ทำการลดขนาดคลื่นไฟฟ้าหัวใจด้วยอัตรา 8 เท่า

1.4 ประโยชน์ที่คาดว่าจะได้รับ

1.4.1 ได้ระบบบีบอัดและขยายสัญญาณคลื่นไฟฟ้าหัวใจ แบบเวลาจริงที่มีความผิดพลาดต่ำ

1.4.2 ได้ขนาดข้อมูลที่มีขนาดเล็กทำให้ใช้เนื้อที่ในการเก็บข้อมูลน้อย

1.4.3 สามารถนำระบบที่สร้างไปใช้ในการ Monitor ผู้ป่วยระยะไกลได้

บทที่ 2

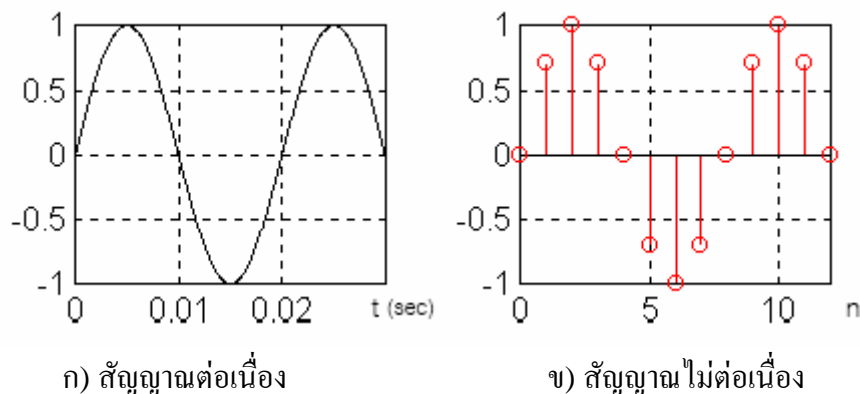
ทฤษฎีและหลักการ

2.1 การประมวลผลสัญญาณดิจิทัลเบื้องต้น [8]

2.1.1 สัญญาณต่อเนื่องกับสัญญาณไม่ต่อเนื่อง

สัญญาณต่อเนื่องทางเวลา คือสัญญาณที่พบเห็นในชีวิตประจำวันทุกๆ ไป ยกตัวอย่าง สัญญาณที่เห็นบนหน้าจอออสซิลอโคป เช่น สัญญาณเสียง, สัญญาณไฟสลับ 50 Hz, และสัญญาณอื่นๆ ถ้าแทนสัญญาณด้วยสัญลักษณ์ x และแทนเวลาด้วยสัญลักษณ์ t จะกล่าวว่า x เป็นฟังก์ชันของ t หรือ x มีค่าที่เวลา t ใดๆ เขียนแทนสัญลักษณ์ได้ว่า $x(t)$ ซึ่งเป็นฟังก์ชันที่ต่อเนื่องสัญญาณต่อเนื่องนี้เรียกอีกอย่างหนึ่งได้ว่าสัญญาณแอนะล็อก (Analog Signal)

สัญญาณไม่ต่อเนื่องเป็นสัญญาณที่มีค่าเพียงบางจุดของเวลา โดยทั่วไปเกิดจากการสุ่มสัญญาณต่อเนื่องด้วยคาบเวลาของการสุ่มครั้งที่ จะใช้สัญลักษณ์ n แทนเวลาแบบไม่ต่อเนื่อง โดย n เป็นตัวแปรที่มีค่าเป็นจำนวนเต็มเท่านั้น คือ $n = \dots, -2, -1, 0, 1, 2, 3, \dots$ และสัญญาณไม่ต่อเนื่องจะเป็นฟังก์ชันของ n ดังนั้นจะเขียนแทนสัญญาณนั้นได้ว่า $x(n)$



ภาพที่ 2-1 สัญญาณต่อเนื่อง และสัญญาณไม่ต่อเนื่อง

ภาพของสัญญาณไม่ต่อเนื่องที่แสดงเปรียบเทียบกับสัญญาณต่อเนื่องดังแสดงในภาพที่ 2-1 เป็นภาพที่แสดงให้เห็นรูปร่างของสัญญาณ โดยในภาพที่ 2-1 (ก) เป็นการแสดงรูปร่างของสัญญาณต่อเนื่อง ซึ่งแสดงให้เห็นได้ตามหน้าจอของเครื่องออสซิลอโคป เป็นต้น ส่วนในภาพที่ 2-1 (ข) เป็นการแสดงให้เห็นรูปร่างของสัญญาณไม่ต่อเนื่อง ซึ่งจะมีลักษณะเป็นลำดับค่าหรือลำดับ

ข้อมูลที่ถูกนำมาพอร์ตลงบนกราฟที่มีสเกลที่บอกตำแหน่งของเวลาและค่าของปริมาณข้อมูล โดยข้อมูลเหล่านี้ สามารถนำไปประมวลผลได้ด้วยคอมพิวเตอร์ หรือวงจรทางดิจิทัล ในอดีตมีผู้คิดว่าการประมวลผลสัญญาณดิจิทัลให้ผลลัพธ์เป็นเพียงการประมาณ ของการประมวลผลทางแอนะล็อก แต่ด้วยทฤษฎีที่ถูกต้องที่ได้มีการคิดค้นมา ทำให้การประมวลผลทางดิจิทัลให้ผลลัพธ์ที่ถูกต้อง และสามารถพิสูจน์ได้ว่าไม่ใช่ค่าประมาณของทางแอนะล็อก

2.1.2 ส่วนประกอบในการประมวลผลสัญญาณดิจิทัล

ระบบประมวลผลสัญญาณโดยส่วนใหญ่ แสดงดังในภาพที่ 2-2 ซึ่งประกอบด้วยส่วนต่างๆ ดังนี้

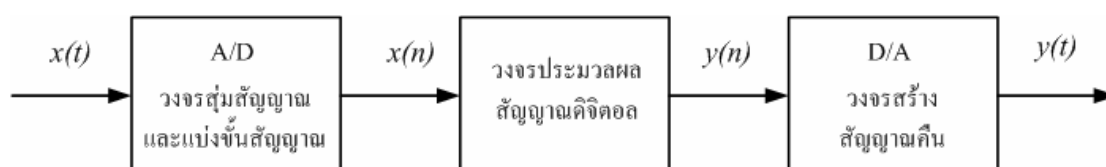
2.1.2.1 วงจรแปลงสัญญาณแอนะล็อกเป็นดิจิทัล

สามารถแบ่งได้เป็น 2 กระบวนการย่อย คือ

2.1.2.1.1 วงจรสุ่มสัญญาณ (Sample) สัญญาณขาเข้าของวงจรเป็นสัญญาณแบบแอนะล็อก $x(t)$ ส่วนสัญญาณขาออกเป็นสัญญาณไม่ต่อเนื่อง $x(n)$ พารามิเตอร์วงจรสุ่มสัญญาณนี้คือ ค่าอัตราการสุ่ม (Sampling rate) หรือ ความถี่ในการสุ่ม ใช้สัญลักษณ์แทนว่า f_s ค่านี้เป็นตัวกำหนดว่าวงจรสุ่มจะสุ่มสัญญาณด้วยอัตรากี่ครั้งต่อวินาที หรือกิโลเฮิรตซ์ (Hz)

2.1.2.1.2 วงจรแบ่งขั้นสัญญาณ (Quantizer) สัญญาณ $x(n)$ ที่ได้จากวงจรสุ่มสัญญาณ ถือว่ามีความละเอียดเต็มที่ในทางขนาด ซึ่งในทางปฏิบัติเมื่อนำไปใช้งานจะต้องลดความละเอียดของ $x(n)$ ลงให้สามารถแทนได้ด้วยสัญญาณดิจิทัลที่มีจำนวนบิตจำกัด กระบวนการลดความละเอียดนี้เรียกว่าการแบ่งขั้นของสัญญาณ (Quantization) ความละเอียดที่ได้จากการแบ่งขั้นสัญญาณขึ้นอยู่กับจำนวนบิตที่จะใช้ การแบ่งขั้นสัญญาณทำให้ค่าสัญญาณที่ได้คลาดเคลื่อนไปจาก $x(n)$ จริง ซึ่งจะส่งผลเหมือนมีสัญญาณรบกวนเข้ามาในระบบ

วงจรสุ่มสัญญาณรวมกับวงจรแบ่งขั้นสัญญาณ ในทางปฏิบัติคือ ตัวแปลงสัญญาณแอนะล็อกเป็นสัญญาณดิจิทัล (A/D Converter) ซึ่งจะรวมสองกระบวนการนี้อยู่ในวงจรเดียวกัน โดยทั่วไป จะใช้ตัวแปลงสัญญาณแอนะล็อกเป็นดิจิทัลในรูปของวงจรรวมสำเร็จรูป (IC)



ภาพที่ 2-2 ส่วนประกอบในระบบประมวลผลสัญญาณดิจิทัล

2.1.2.2 วงจรประมวลผลสัญญาณ

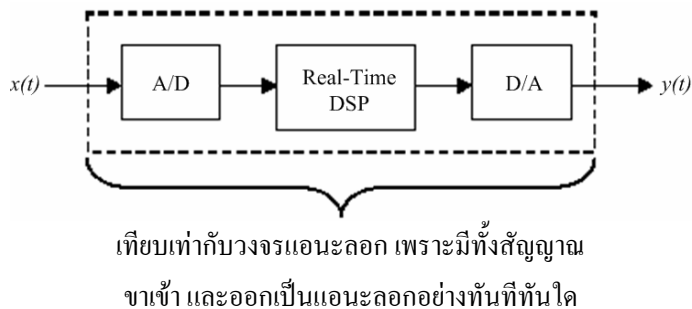
ในส่วนนี้ทำหน้าที่ประมวลผลสัญญาณ $x(n)$ เพื่อกระทำผลบางอย่างกับสัญญาณ เช่น เป็นวงจรกรองความถี่บางย่านออกและให้ผลลัพธ์ของการประมวลผลเป็นสัญญาณขาออก $y(n)$ วงจรประมวลผลสัญญาณนี้ ถ้าพิจารณาก็คือวงจรคำนวณ กล่าวได้ว่าจะทำการคำนวณหาสัญญาณขาออกจากสัญญาณขาเข้า โดยมองเห็นสัญญาณขาเข้าในลักษณะ “ลำดับค่า”

2.1.2.3 วงจรสร้างสัญญาณคืน (Signal Reconstruction)

ในส่วนสุดท้ายของภาพที่ 2-2 วงจรสร้างสัญญาณคืน ใช้ในระบบที่มีสัญญาณขาออกสุดท้ายเป็นสัญญาณต่อเนื่อง (การประมวลผลสัญญาณ บางอย่าง ต้องการสัญญาณขาออกเป็นสัญญาณแบบไม่ต่อเนื่อง จึงไม่จำเป็นจะต้องมีในส่วนนี้) โดยทำหน้าที่แปลงสัญญาณไม่ต่อเนื่อง $y(n)$ ให้กลับเป็นสัญญาณต่อเนื่อง $y(t)$ ซึ่งเป็นสัญญาณขาออกสุดท้ายของระบบ วงจรประเภทนี้คือ วงจรแปลงสัญญาณดิจิทัลเป็นสัญญาณแอนะล็อก (D/A Converter) ซึ่งมีรูปแบบวงจรรวมสำเร็จรูปเช่นกัน

2.1.3 การประมวลผลแบบเวลาจริงกับการเลือกใช้ตัวประมวลผลสัญญาณ

การประมวลผลแบบเวลาจริง (Real-Time Signal Processing) หมายถึง การประมวลผลที่กระทำที่อัตราจริงของสัญญาณขาเข้า และให้สัญญาณขาออกทันกับสัญญาณขาเข้าที่เข้ามา เช่นในระบบที่มีอัตราการสุ่มของสัญญาณขาเข้า และขาออกเท่ากัน เมื่อมีสัญญาณขาเข้า เข้ามา 1 ค่า ระบบจะต้องประมวลผลให้ได้สัญญาณขาออก 1 ค่าก่อนที่สัญญาณขาเข้าตัวถัดไปจะเข้ามา เป็นต้น การประมวลผลแบบเวลาจริงมีการประยุกต์ใช้งานอย่างมาก และเป็นตัวแทนที่แท้จริงของระบบที่เคยใช้เป็นแบบแอนะล็อกดังแสดงในภาพที่ 2-3 อย่างไรก็ตาม ระบบที่มีการประมวลผลแบบเวลาจริง ไม่จำเป็นต้องมีสัญญาณขาเข้า และออกเป็นสัญญาณแอนะล็อกทั้งคู่เสมอไป ยกตัวอย่างเช่น การถอดรหัสสัญญาณเสียงที่ถูกบีบอัดข้อมูลมา ในกรณีนี้สัญญาณขาเข้าเป็นสัญญาณดิจิทัล ซึ่งคือข้อมูลเสียงที่บีบอัดมาแล้ว ส่วนสัญญาณขาออก คือสัญญาณเสียงแอนะล็อกที่ต้องต่อส่งออกลำโพง ดังนั้น การประมวลผลจะต้องเกิดที่อัตราสุ่มจริงของสัญญาณเสียงขาออก ถือว่าเป็นการประมวลผลแบบเวลาจริง



ภาพที่ 2-3 การประมวลผลแบบเวลาจริงทำให้ DSP ทำหน้าที่เหมือนเป็นวงจรแอนะล็อกได้

ส่วนการประมวลผลแบบไม่เป็นเวลาจริงนั้น ไม่มีข้อบังคับทางด้านเวลาในการประมวลผล ยกตัวอย่างเช่น การจำลองระบบประมวลผลด้วยโปรแกรม Matlab ในคอมพิวเตอร์ ในที่นี้ถือว่าคอมพิวเตอร์เป็นตัวประมวลผล ซึ่งถ้าใช้คอมพิวเตอร์ที่เร็วก็จะได้ผลลัพธ์เร็ว แต่ถ้าใช้คอมพิวเตอร์ที่ช้าก็จะได้ผลลัพธ์ที่ช้า แต่ผลลัพธ์ที่ได้จะไม่มี ความแตกต่างกัน ทั้งนี้เพราะการประมวลผลไม่ได้เกิดขึ้นที่อัตราการสุ่มจริงของสัญญาณขาเข้า หรือขาออก ตัวอย่างอีกอันหนึ่ง เช่น การใช้โปรแกรมตกแต่งรูปภาพ (ภาพนิ่ง) เช่น โปรแกรม PhotoShop ซึ่งภาพนิ่งนี้ถือเป็นสัญญาณไม่ต่อเนื่องสองมิติ และโปรแกรมนี้ถือเป็นโปรแกรมที่มีฟังก์ชัน ในการประมวลผลภาพ (Image Processing) เนื่องจากภาพนิ่งไม่มีอัตราการสุ่มของข้อมูลที่เทียบต่อเวลา ดังนั้น การประมวลผลภาพนิ่งจึงถือได้ว่าไม่มีข้อบังคับทางด้านเวลา จึงไม่เป็นการประมวลผลแบบเวลาจริง

การประมวลผลสัญญาณแบบเวลาจริง ทำให้เกิดข้อกำหนดที่สำคัญขึ้นมาต่อการเลือกใช้ตัวประมวลผลสัญญาณ นั่นคือ การที่ต้องมีตัวประมวลผลที่เร็วพอที่จะประมวลผลสัญญาณให้ทันได้ โดยเฉพาะ ถ้าสัญญาณที่ต้องการประมวลผลที่มีอัตราการสุ่มที่สูง หรืออัลกอริทึมที่ใช้มีความซับซ้อนในการคำนวณมาก ก็จำเป็นที่จะต้องใช้ตัวประมวลผลที่มีความเร็วสูงมากยิ่งขึ้น

การเลือกใช้ตัวประมวลผลสัญญาณมีอยู่ 3 ทางเลือกใหญ่ๆดังนี้

2.1.3.1 การเขียนซอฟต์แวร์เพื่อใช้กับคอมพิวเตอร์ หรือใช้กับชิพไมโครโปรเซสเซอร์

ถึงแม้ว่าคอมพิวเตอร์ หรือไมโครโปรเซสเซอร์ไม่ได้ออกแบบมาเฉพาะสำหรับการประมวลผลสัญญาณ แต่สามารถนำมาใช้ได้ในงานที่ต้องการอัตราการประมวลผลไม่มากนัก หรือในการประมวลผลแบบไม่เป็นเวลาจริง อย่างไรก็ตาม ปัจจุบันคอมพิวเตอร์ส่วนบุคคลมีความเร็วสูงมากจนสามารถนำมาใช้ทำการประมวลผลแบบเวลาจริงหลายๆอย่างได้ ตัวอย่างที่เห็นได้ชัด เช่นการถอดรหัสของเสียงหรือวิดีโอที่ถูกบีบอัดข้อมูลมาด้วยมาตรฐาน MPEG ซึ่งแต่ก่อนต้องใช้ฮาร์ดแวร์พิเศษในการถอดรหัส แต่ปัจจุบันใช้เพียงซอฟต์แวร์ก็สามารถทำได้แล้ว โดยอาศัย CPU ที่มีความเร็วสูงขึ้น

2.1.3.2 การใช้ซอฟต์แวร์ร่วมกับชิพ DSP

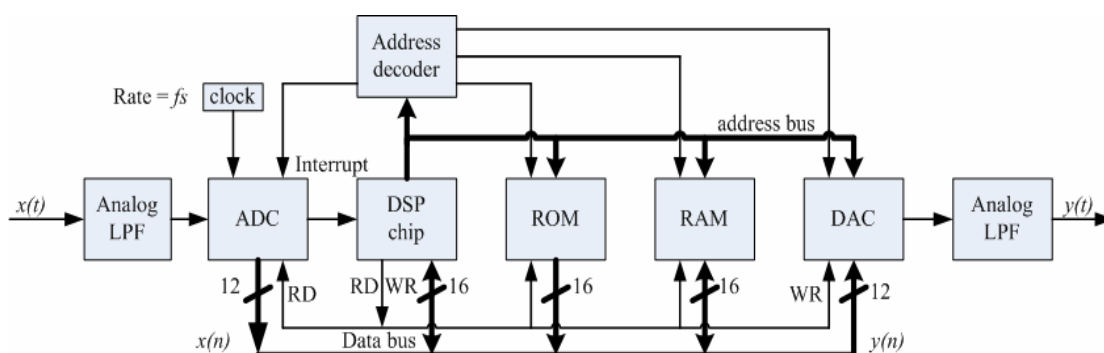
ชิพ DSP เป็นชื่อย่อของชิพประมวลผลสัญญาณ (Digital Signal Processor) คือไมโครโปรเซสเซอร์ที่ถูกออกแบบมาสำหรับงานประมวลผลสัญญาณแบบเวลาจริงโดยเฉพาะ โดยไมโครโปรเซสเซอร์ประเภทนี้จะมีสถาปัตยกรรมที่เอื้ออำนวยต่อการคำนวณ และการโอนถ่ายข้อมูลที่มีประสิทธิภาพ และความเร็วสูง เช่น การมีคำสั่งพิเศษในการคูณ, การบวกสะสม, หรือการอ้างข้อมูลแบบ Circular buffer เป็นต้น บางชนิดยังสามารถทำการประมวลผลหลายๆ ส่วนได้พร้อมกันในตัวเดียว (Multi-Processing) อีกด้วย บริษัทที่เป็นผู้นำด้านการผลิตชิพ DSP ได้แก่ Texas Instruments, Motorola, Analog Devices, และ AT&T เป็นต้น ซึ่งชิพ DSP นี้มีทั้ง

ประเภทที่เป็นการประมวลผลข้อมูลแบบจำนวนเต็ม (Fixed-Point) และประเภทที่ประมวลผลข้อมูลแบบเลขอิงครรชนี (Floating-Point)

การใช้งานชิพ DSP นั้น ทำได้โดยเขียนเป็นโปรแกรมภาษาแอสเซมบลี หรือภาษาซีแล้วใช้คอมไพเลอร์แปลงเป็นภาษาแอสเซมบลี ข้อดีของการเขียนเป็นภาษาแอสเซมบลีโดยตรง คือสามารถควบคุมการทำงานของชิพได้เต็มที่ ทำให้สามารถออกแบบโปรแกรมให้ทำงานได้เร็วกว่า และมีขนาดโปรแกรมเล็กกว่าการใช้โปรแกรมภาษาซี แต่ข้อเสียคือ ภาษาแอสเซมบลีเขียนยากกว่า และไม่สามารถโอนย้ายโปรแกรมไปทำงานได้ในชิพต่างตระกูลกัน หรือต่างผู้ผลิตกันได้

การต่อวงจรเพื่อใช้งานชิพ DSP ทำเช่นเดียวกับการต่อวงจรไมโครโปรเซสเซอร์ทั่วไป เพียงแต่มีตัวแปลงสัญญาณแอนะล็อกเป็นดิจิทัล (ADC) และดิจิทัลเป็นแอนะล็อก (DAC) เพิ่มขึ้นเท่านั้น ในภาพที่ 2-4 เป็นภาพทั่วไปของวงจร ซึ่งใช้ชิพ DSP แบบ Fixed-point 16 บิต เช่น TMS320C50 ของ Texas Instruments โดยมีบัสข้อมูลขนาด 16 บิต และมีตัวคูณ และตัวประมวลผลอื่นๆ ขนาด 16 บิต อยู่ในในภาพใช้ DAC และ ADC ขนาด 12 บิต มีขาข้อมูล 12 ขา เพื่อส่งข้อมูลแบบขนาน และต่อเข้ากับ 12 บิตล่างของบัสข้อมูล สังเกตว่ามีสัญญาณนาฬิกาซึ่งมีความถี่ f_s ป้อนให้กับ ADC เพื่อเป็นตัวกำหนดอัตราการสุ่มสัญญาณแอนะล็อก ซึ่งคืออัตราของข้อมูลที่จะถูกอ่านเข้าชิพ DSP ไปประมวลผล

ชิพ DSP หลายยี่ห้อมีหน่วยความจำ ROM และ RAM บางส่วนอยู่ในตัวเอง ทำให้เพิ่มความเร็วในการทำงาน และสะดวกในการใช้งานมาก โดยงานที่ไม่ต้องการใช้ปริมาณ ROM และ RAM มากนัก อาจไม่จำเป็นต้องต่อหน่วยความจำภายนอกเลย



ภาพที่ 2-4 แผนภาพแสดงตัวอย่างวงจรที่ใช้งานชิพ DSP

2.1.3.3 การใช้ฮาร์ดแวร์ หรือ ไอซีที่ออกแบบเฉพาะงาน

ฮาร์ดแวร์ในที่นี้หมายถึง วงจรดิจิทัลซึ่งสามารถออกแบบให้ทำการประมวลผลข้อมูลได้เช่นกัน อัลกอริธึมที่เป็นที่นิยม เช่น FFT (Fast Fourier Transform) หรือ ตัวกรองดิจิทัล

สามารถหาซื้อได้ทั่วไป เป็นไอซีสำเร็จรูปที่ทำเฉพาะฟังก์ชันนั้นๆ แต่ถ้าต้องการอัลกอริทึมที่เฉพาะมากขึ้น ต้องทำการออกแบบเป็นไอซีเฉพาะงาน (Application Specific Integrated Circuits หรือ ASIC) ซึ่งต้นทุนในการออกแบบสำหรับทางเลือกลูกนี้ค่อนข้างสูง ทางเลือกอีกทาง คือ การใช้ไอซีดิจิทัลประเภทโปรแกรมได้หรือ FPGA (Field Programmable Gate Array) ซึ่งปัจจุบันมีขนาดใหญ่มากพอที่จะนำมาใช้ทำการประมวลผลสัญญาณได้ การใช้ FEGA จะมีต้นทุนในการออกแบบที่ต่ำกว่า ASIC

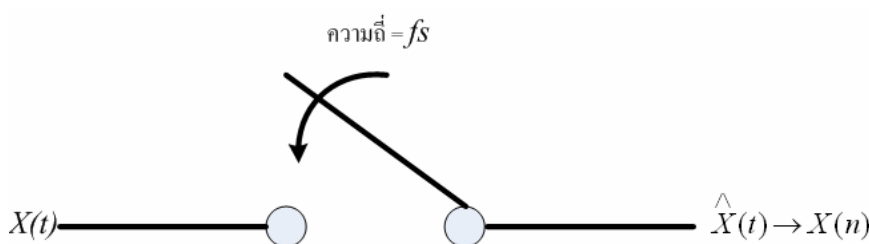
การเลือกใช้ตัวประมวลผลแต่ละแบบขึ้นอยู่กับลักษณะของงาน ความเร็วที่ต้องการ และต้นทุน ถ้าต้องการทำอุปกรณ์ที่มีการประมวลผลแบบเวลาจริง โดยทั่วไปการใช้ชิพ DSP จะดีที่สุด (ซึ่งชิพ DSP มีหลากหลายขนาด และความเร็วให้เลือกใช้) แต่ถ้าการประมวลผลไม่ซับซ้อนหรืออัตราข้อมูลไม่สูงมากจนไม่สามารถใช้ไมโครโปรเซสเซอร์ธรรมดาได้ การใช้ไมโครโปรเซสเซอร์จะทำให้ต้นทุนต่ำลงได้ ในกรณีที่ต้องการอัตราการประมวลผลสูงมากๆ อาจต้องใช้ฮาร์ดแวร์ในการประมวลผล โดยทั่วไปจะมีต้นทุนที่สูงขึ้น

2.1.4 การสุ่มสัญญาณและการสร้างสัญญาณคืน (Sampling and Reconstruction Signal)

การสุ่มสัญญาณคือกระบวนการแปลงสัญญาณแอนะล็อกเป็นสัญญาณดิจิทัล การสร้างสัญญาณคืน คือกระบวนการแปลงสัญญาณดิจิทัลกลับเป็นสัญญาณแอนะล็อก

2.1.4.1 การสุ่มสัญญาณ

การสุ่มสัญญาณคือ การนำเอาสัญญาณขาเข้าแบบต่อเนื่องมาผ่านสวิตช์อุดมคติที่ต่อวงจรที่ตำแหน่งเวลาเท่ากับ $\dots, -2T, -T, 0, T, 2T, 3T, \dots$ และเปิดวงจรที่เวลาอื่นๆ คือ มีความถี่ของการตัดต่อวงจรเท่ากับ f_s ครั้งต่อวินาที หรือมีคาบของการสุ่มเท่ากับ $T=1/f_s$ ดังแสดงในภาพที่ 2-5 เรียกสัญญาณขาออกว่า $\hat{x}(t)$



ภาพที่ 2-5 การสุ่มด้วยสวิตช์อุดมคติ

ถ้ามีสวิตช์อุดมคติจริง จะได้สัญญาณขาออก $\hat{x}(t)$ ซึ่งเป็นสัญญาณแอนะล็อกที่มีลักษณะเป็นอุดมคติ คือมีค่าที่เฉพาะเวลา $\dots, -2T, -T, 0, T, 2T, 3T, \dots$ เท่านั้น ส่วนเวลาอื่น มีค่าเป็นศูนย์ สัญญาณนี้มีลักษณะเหมือนสัญญาณไม่ต่อเนื่อง เพียงแต่มองเป็นสัญญาณแอนะล็อกในแกนเวลา t

ถึงแม้จะไม่ใช่สัญญาณนี้ในลักษณะเป็นสัญญาณแอนะล็อกแต่การมองนี้เพื่อการวิเคราะห์ในเชิงของความถี่ของสัญญาณ จะมีประโยชน์ในการบอกขีดจำกัดของกระบวนการสุ่มได้

วิเคราะห์หาสเปกตรัมของสัญญาณ $\hat{x}(t)$ ว่าสอดคล้องกับสเปกตรัมของ $x(t)$ โดยพิสูจน์ในแง่คณิตศาสตร์ ถ้านิยามว่ามีสัญญาณอิมพัลส์ (Impulse Signal) หรือเขียนแทนด้วยสัญลักษณ์ว่า $\delta(t)$ เป็นสัญลักษณ์ที่มีค่าเท่ากับ 1 ที่เวลา $t=0$ และเป็น 0 ที่เวลาอื่นๆดังนี้

$$\delta(t) = \begin{cases} 1, & t = 0 \\ 0, & t = \text{ค่าอื่นๆ} \end{cases} \quad (2-1)$$

อาจมองว่าการสุ่ม คือ การนำเอาสัญญาณขาเข้ามาคูณเข้ากับสัญญาณอิมพัลส์หลายๆลูกที่มีคาบเท่ากับ T (ระยะห่างระหว่างอิมพัลส์แต่ละลูก) นิยามสัญญาณอิมพัลส์หลายๆลูกนี้เป็นสัญญาณ $s(t)$ ซึ่งรูปร่างจะแสดงในภาพที่ 2-6 ในทางคณิตศาสตร์ สามารถเขียน $s(t)$ ได้ว่าเป็นผลรวมของสัญญาณอิมพัลส์ที่ตำแหน่งเวลาต่างๆ $\dots, -2T, -T, 0, T, 2T, 3T, \dots$ ดังนี้

$$s(t) = \sum_{n=-\infty}^{\infty} \delta(t - nT) \quad (2-2)$$

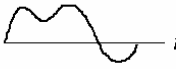
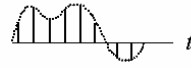
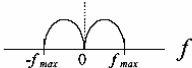
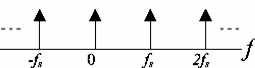
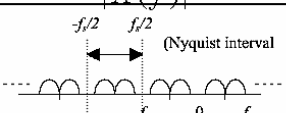
เมื่อสัญญาณ $s(t)$ คูณเข้ากับสัญญาณขาเข้า $x(t)$ จะได้สัญญาณที่ขาออกของตัวสุ่มสัญญาณคือ

$$\hat{x}(t) = x(t) \sum_{n=-\infty}^{\infty} \delta(t - nT) \quad (2-3)$$

ตัวอย่างของสัญญาณ $\hat{x}(t)$ มีลักษณะดังแสดงในภาพที่ 2-6 สัญญาณนี้สามารถนิยามให้เป็นสัญญาณไม่ต่อเนื่อง หรือเป็น “ลำดับของค่า” ซึ่งจะใช้สัญลักษณ์เป็น $x(n)$ โดยใช้ค่า n เป็นตัวชี้แทน t จะได้ว่า $x(n)$ มีความสัมพันธ์กับ $x(t)$ ดังนี้

$$x(n) = x(t) |_{t=nT} \quad (2-4)$$

สัญญาณ $\hat{x}(t)$ กับ $x(n)$ หมายถึงสัญญาณตัวเดียวกัน เพียงแต่สัญญาณ $\hat{x}(t)$ เป็นการมองสัญญาณนี้ในลักษณะเป็นสัญญาณแอนะล็อกในแกนของเวลา t ซึ่งจะเห็นว่าสัญญาณมีค่าเวลา $T = \dots, -2T, -T, 0, T, 2T, \dots$ แต่สัญญาณ $x(n)$ เป็นการมองสัญญาณเป็นสัญญาณไม่ต่อเนื่องหรือเป็นลำดับคือ มีค่าที่ $n = \dots, -2, -1, 0, 1, 2, \dots$ สัญญาณ $x(n)$ จะไม่อยู่ในรูปแบบของสัญญาณแอนะล็อก แต่จะอยู่ในรูปแบบของลำดับข้อมูล

$x(t)$	$s(t)$	$\hat{x}(t)$ หรือ $x(n)$
	 $s(t) = \sum_{n=-\infty}^{\infty} \delta(t-nT)$	 $\hat{x}(t) = x(t) \sum_{n=-\infty}^{\infty} \delta(t-nT)$
$ X(f) $	$S(f)$	$ \hat{X}(f) $
	 $S(f) = f_s \sum_{n=-\infty}^{\infty} \delta(f-nf_s)$	 $\hat{X}(f) = f_s \sum_{n=-\infty}^{\infty} X(f-nf_s)$

ภาพที่ 2-6 สรุปสัญญาณต่างๆในการสุ่มทั้งภาคเวลาและความถี่

พิจารณาในภาคความถี่ สมมติว่าสัญญาณ $x(t)$ เมื่อใช้การแปลงฟูริเยร์ได้สเปกตรัมเป็น $X(f)$ สมมติว่ามีแถบความถี่(Bandwidth) จำกัด และมีองค์ประกอบความถี่สูงสุดอยู่ที่ f_{max} ดังแสดงในภาพที่ 2-6 ส่วนสัญญาณ $s(t)$ จะสามารถพิสูจน์โดยใช้การแปลงฟูริเยร์(ขอละไม่พิสูจน์ให้ดู) ได้ว่ามีสเปกตรัมเป็นสัญญาณอิมพัลส์หลายลูกที่มีคาบคงที่เช่นกัน โดยคาบในที่นี้เท่ากับ f_s และมีขนาดคงที่เท่ากับ f_s เขียนเป็นสมการได้ดังสมการที่ 2-5

$$S(f) = f_s \sum_{n=-\infty}^{\infty} \delta(f - nf_s) \quad (2-5)$$

สำหรับสเปกตรัมของสัญญาณขาออก คือ $\hat{X}(f)$ หาได้โดยกฎที่ว่า การคูณในเชิงเวลาเท่ากับ การคอนโวลูชัน(Convolution) ในเชิงความถี่ นั่นคือ เมื่อ $\hat{x}(t)$ เป็นผลคูณระหว่างสัญญาณ $s(t)$ กับ $x(t)$ จะได้ว่า สเปกตรัมของ $\hat{x}(t)$ คือ $\hat{X}(f)$ จะเท่ากับผลคูณคอนโวลูชันระหว่าง $X(f)$ กับ $S(f)$ ดังนี้(ขอนิยามสัญลักษณ์*แทนการคอนโวลูชัน)

$$\hat{X}(f) = X(f) * S(f)$$

เมื่อแทนค่า $S(f)$ ลงไปแล้วจัดให้เป็นรูปร่างง่ายจะได้

$$\begin{aligned} \hat{X}(f) &= X(f) * f_s \sum_{n=-\infty}^{\infty} \delta(f - nf_s) \\ &= f_s \sum_{n=-\infty}^{\infty} X(f) * \delta(f - nf_s) \\ \hat{X}(f) &= f_s \sum_{n=-\infty}^{\infty} X(f - nf_s) \end{aligned} \quad (2-6)$$

สมการนี้ประกอบด้วยผลบวกของเทอม $X(f - nf_s)$ ซึ่งเทอมนี้คือ สเปกตรัมของสัญญาณขาเข้าที่เลื่อนจุดศูนย์กลางไปอยู่ที่ตำแหน่งความถี่ nf_s โดย n เป็นจำนวนเต็มตั้งแต่ $-\infty$ จนถึง $+\infty$ หมายถึงว่าสเปกตรัมของสัญญาณหลังการสุ่มคือ $\hat{X}(f)$ ประกอบด้วยสำเนาของสเปกตรัมของสัญญาณก่อนการสุ่ม คือ $X(f)$ อยู่มา โดยสำเนาเหล่านี้ จะเกิดความถี่ $\dots, -2f_s, -f_s, 0, f_s, 2f_s, \dots$ เป็นศูนย์กลาง สำเนาแต่ละตัว มีชื่อเรียกอีกอย่างหนึ่งว่าเป็นภาพฉาย(Image) ของสัญญาณ รูปร่างของ $\hat{X}(f)$ ที่ได้แสดงดังในภาพ 2-6

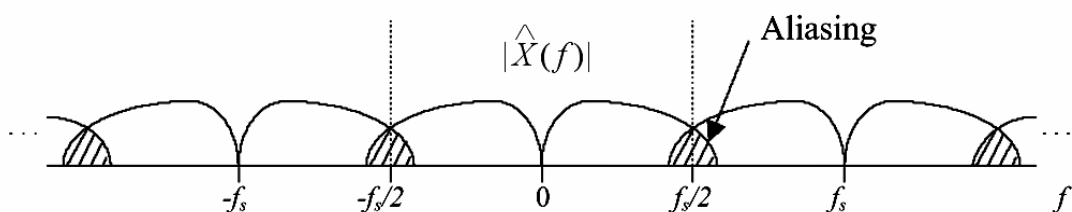
สังเกตว่า สเปกตรัม $\hat{X}(f)$ ที่หามาได้มีลักษณะที่เป็นอุดมคติในเชิงสัญญาณแอนะล็อก คือ มีองค์ประกอบของสัญญาณเรื่อยๆ ไปจนถึงความถี่อนันต์ แสดงว่ามีพลังงานไม่จำกัดซึ่งเป็นไปได้ ดังนั้นทั้งสัญญาณ $x(t)$ และ $\hat{X}(f)$ (ถ้ามองในเชิงแอนะล็อก) เป็นสัญญาณที่สร้างขึ้นในทางคณิตศาสตร์ เพื่อประโยชน์ในการวิเคราะห์ขีดจำกัดของกระบวนการสุ่ม

2.1.4.2 ทฤษฎีของการสุ่ม(Sampling Theorem)

ทฤษฎีการสุ่มสัญญาณ ระบุว่าถ้าสัญญาณที่ต้องการสุ่มมีความถี่สูงสุดที่ f_{max} เพื่อให้ได้สัญญาณที่สุ่มแล้วเป็นตัวแทนที่ถูกต้องของสัญญาณนี้ ความถี่ในการสุ่มจะต้องมีค่ามากกว่าสองเท่าของความถี่สูงสุดในสัญญาณหรือ

$$f_s > 2f_{max} \quad (2-7)$$

ซึ่งความถี่ที่ $2f_{max}$ นี้ มีชื่อเรียกว่า ความถี่ไนควิสต์ (Nyquist Frequency) หรืออัตราไนควิสต์ พิจารณาว่าถ้าใช้ f_s ต่ำกว่าค่าความถี่ไนควิสต์ ผลที่เกิดขึ้นจะสังเกตได้ชัดเจนในภาคความถี่ หลังการสุ่มจะเกิดสเปกตรัมของสัญญาณก่อนการสุ่มอยู่ที่ความถี่ $\dots, -2f_s, -f_s, 0, f_s, 2f_s, \dots$ เป็นศูนย์กลาง เมื่อวาดรูปออกมาจะแสดงได้ดังภาพที่ 2-7



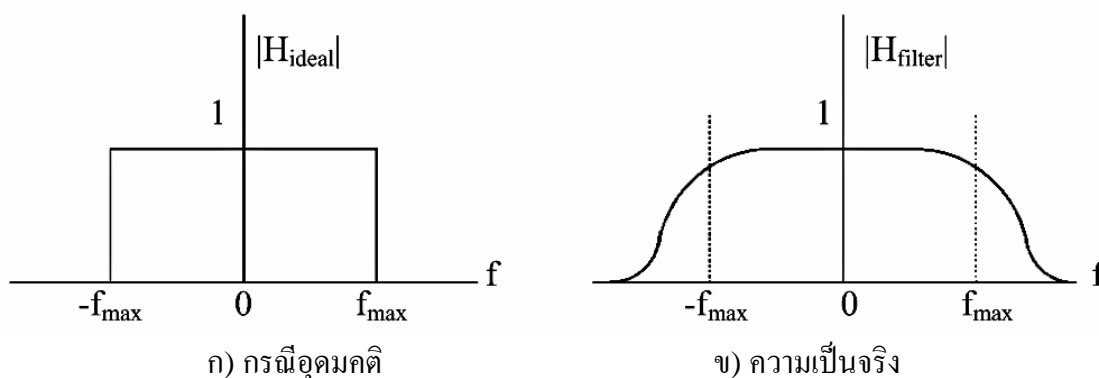
ภาพที่ 2-7 สัญญาณในเชิงความถี่ที่เกิดขึ้นเมื่อใช้ f_s ต่ำกว่า $2f_{max}$

เมื่อ f_s ต่ำกว่า $2f_{max}$ จะเห็นว่า สำเนาของ $X(f)$ ที่เกิดขึ้นมีช่วงของความถี่ส่วนปลายที่ซ้อนทับกัน เรียกองค์ประกอบความถี่ส่วนที่ซ้อนทับกันนี้ว่า Aliasing ซึ่ง Aliasing เป็นผลร้าย

กับระบบประมวลผลสัญญาณ เนื่องจาก ในระบบแบบไม่ต่อเนื่องจะไม่สนใจความถี่ในช่วง $-f_s/2$ จนถึง $f_s/2$ ซึ่งเรียกว่า ช่วงไนควิสต์ หรือย่านไนควิสต์ (Nyquist Interval) ซึ่งถ้าเกิด Aliasing ซ้อนทับในช่วงไนควิสต์นี้จะถือว่า สัญญาณขาเข้าที่สุ่มมาเกิดความผิดเพี้ยนก่อนที่จะเข้าไปในส่วนประมวลผลสัญญาณ จึงจำเป็นอย่างยิ่งที่ต้องพยายามไม่ให้เกิด Aliasing หรือเกิดน้อยที่สุดเท่าที่จะทำได้ซึ่งกระทำได้สองวิธี คือ

2.1.4.2.1 การใช้ตัวกรองเพื่อป้องกัน Aliasing (Anti-Aliasing Filter)

ในกรณีที่ไม่นับว่าสัญญาณที่จะทำการสุ่มไม่มีความถี่จำกัดอยู่ที่ f_{max} เช่น อาจมีสัญญาณรบกวนความถี่สูง หรือสัญญาณอื่น ปนอยู่ด้วย วิธีแก้ทำได้โดยการใช้ตัวกรองแอนะล็อกแบบผ่านความถี่ต่ำ เพื่อจำกัดความถี่ของสัญญาณให้อยู่ในช่วงที่สนใจเท่านั้น (ต่ำกว่า f_{max}) คือ ต้องการตัวกรองผ่านความถี่ต่ำที่มีความถี่ตัดที่ f_{max} ดังแสดงผลตอบสนองเชิงความถี่แบบอุดมคติของตัวกรองนี้ ดังแสดงในภาพที่ 2-8 (ก)



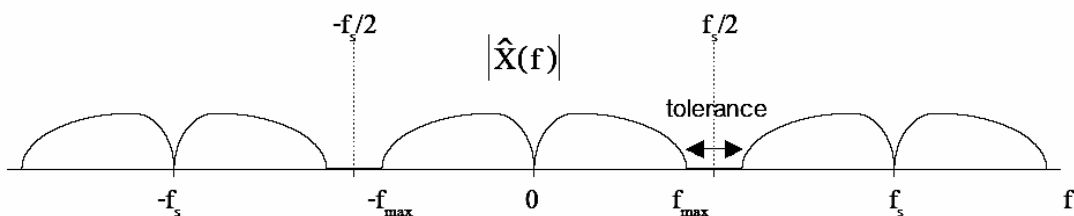
ภาพที่ 2-8 ผลตอบสนองเชิงความถี่ของตัวกรองป้องกัน Aliasing

ในความเป็นจริงตัวกรองแบบอุดมคติไม่สามารถทำได้ และถ้าต้องการสร้างตัวกรองที่ใกล้เคียงกับอุดมคติจะทำให้ต้นทุนสูง ตัวกรองที่สามารถทำได้ในทางปฏิบัติมีรูปร่างดังแสดงในภาพ 2-8 (ข) คือ มีความชันของการตัดความถี่ไม่คมเท่ากับตัวกรองอุดมคติจึงทำให้เกิด Aliasing บางส่วนขึ้นได้ถ้าใช้ความถี่ในการสุ่มพอดีเท่ากับ $2f_{max}$

2.1.4.2.2 การสุ่มโดยใช้ความถี่เกินกว่า $2f_{max}$

การสุ่มโดยใช้ความถี่เกินกว่า $2f_{max}$ มากๆ หรือเรียกว่าการทำ Over sampling การสุ่มด้วยความถี่สูงขึ้นเป็นวิธีที่ใช้ป้องกัน Aliasing เสริมจากการใช้ตัวกรอง ถ้าพิจารณาในเชิงความถี่จะเห็นว่า เมื่อ f_s มีค่าสูงขึ้น จะมีช่วงความถี่ที่เพื่อให้เกิด Aliasing ได้กว้างขึ้น(ช่วงเฟื่อนี้คือ ย่าน Tolerance แสดงดังในภาพที่ 2-9 เป็นย่านที่ไม่มีความถี่ของสัญญาณที่สนใจอยู่) ช่วงเฟื่อนี้เป็นย่านความถี่ที่ยอมให้มีความถี่ของสัญญาณที่ไม่ต้องการหลุดรอดเข้ามาในระบบได้บ้าง ดังนั้น

การสุ่มด้วยความถี่สูงกว่าอัตราในควิซท์ ทำให้สามารถใช้ตัวกรองป้องกัน Aliasing ที่ไม่ต้องมีคุณสมบัติคมมากก็ได้

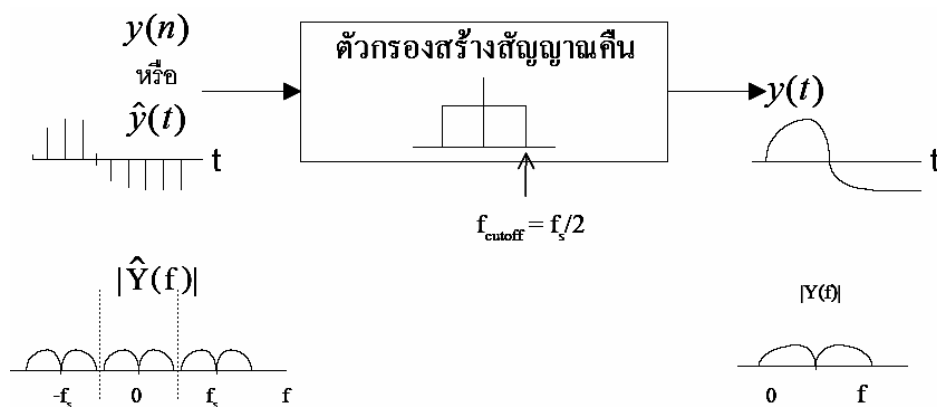


ภาพที่ 2-9 สเปกตรัมของสัญญาณที่เกิดขึ้น เมื่อสุ่มด้วยความถี่สูงกว่า $2f_{max}$ มากๆ

ในทางปฏิบัติใช้ $f_s \geq 2.5f_{max}$ เพื่อชดเชยผลของการที่ตัวกรอง Anti-Aliasing ไม่เป็นอุดมคติ สำหรับ f_s สูงสุดที่จะสุ่มได้โดยทั่วไป ขึ้นอยู่กับขีดจำกัดด้านความเร็วของตัวแปลงสัญญาณแอนะล็อกเป็นดิจิทัล และตัวประมวลผลที่เลือกใช้ ถ้าความถี่ f_s สูงขึ้น หมายถึงว่า ต้องใช้วงจรแปลงสัญญาณที่เร็วขึ้น และใช้ปริมาณการประมวลผลที่มากขึ้น เพราะอัตราข้อมูลสูงขึ้น โดยช่วงเวลาที่ใช้ประมวลผล เพื่อให้ได้แต่ละค่าของสัญญาณขาออก ต้องมีค่าน้อยกว่าคาบของการสุ่ม

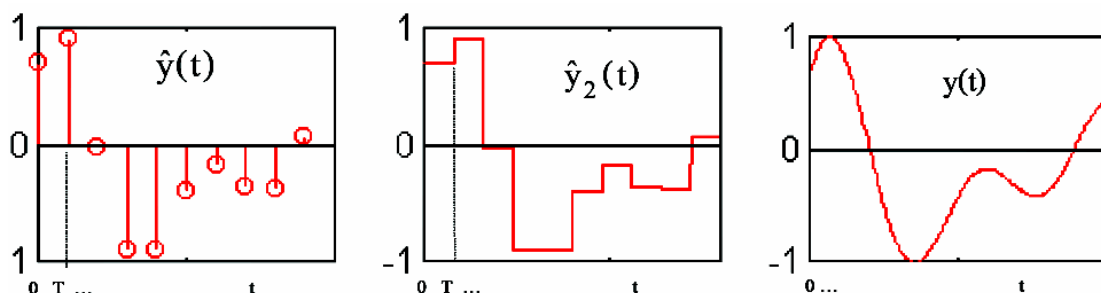
2.1.4.3 การสร้างสัญญาณคืน

การสร้างสัญญาณคืน ในทางทฤษฎีทำได้โดยผ่านสัญญาณแบบไม่ต่อเนื่องเข้าไปยังตัวกรอง (แอนะล็อก) แบบผ่านความถี่ต่ำที่มีความถี่ตัดที่ $f_s/2$ ตัวกรองนี้บางครั้งเรียกว่า ตัวกรองสร้างสัญญาณคืน (Reconstruction Filter) ตัวกรองจะผ่านเฉพาะสัญญาณในช่วงความถี่ระหว่าง $-f_s/2$ ถึง $f_s/2$ หรือช่วงในควิซท์ออกมา ผลที่ได้คือ จะได้สำเนาของสเปกตรัมที่อยู่รอบความถี่ 0 ออกมาเป็นสัญญาณขาออก ซึ่งก็คือ สัญญาณแอนะล็อกที่มีรูปร่างเป็นขอบของสัญญาณไม่ต่อเนื่องก่อนสร้างกลับ ดังแสดงในภาพที่ 2-10



ภาพที่ 2-10 สัญญาณขาเข้าและออกของตัวกรองสร้างสัญญาณคืน

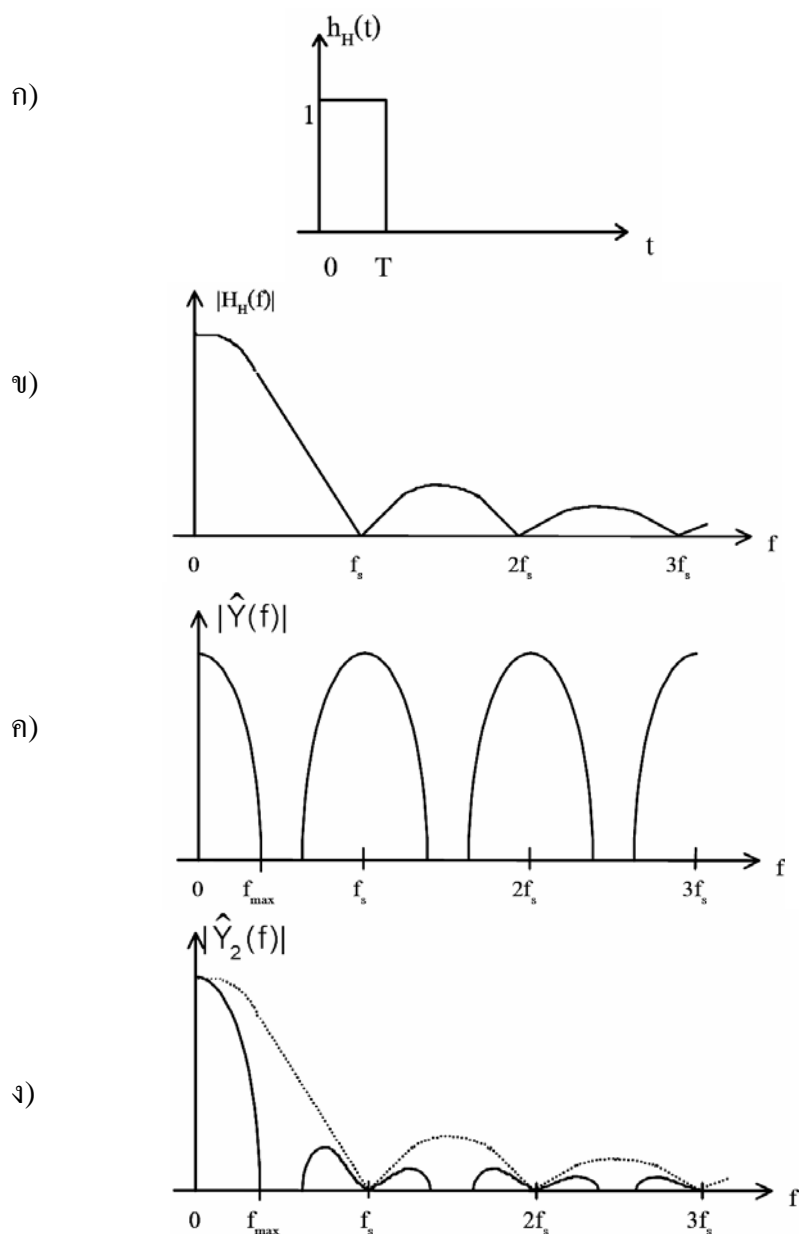
ในทางปฏิบัติ ไม่ใช่ $\hat{y}(t)$ เป็นสัญญาณขาเข้าของตัวกรองสร้างสัญญาณคืน เนื่องจากมองเห็นสัญญาณไม่ต่อเนื่องในลักษณะเป็นลำดับของข้อมูล สัญญาณที่มองแบบแอนะล็อกคือ $\hat{y}(t)$ เป็นสัญญาณอุดมคติที่ใช้พิสูจน์ในทางคณิตศาสตร์เท่านั้น ดังนั้น การแปลงสัญญาณดิจิทัลเป็นสัญญาณแอนะล็อกในความเป็นจริง จะนำสัญญาณ $y(n)$ มาผ่านวงจรคงค่า (Hold) ที่ทำงานเข้าจังหวะกับอัตราสุ่มของสัญญาณ $y(n)$ เพื่อสร้างเป็นสัญญาณลักษณะขั้นบันไดดังในภาพที่ 2-11



ภาพที่ 2-11 สัญญาณขาเข้า และขาออกของวงจรคงค่าสัญญาณ

สัญญาณขั้นบันได $\hat{y}_2(t)$ ที่สร้างมา มีลักษณะของสเปกตรัมเหมือนหรือแตกต่างจากสเปกตรัมของสัญญาณ $\hat{y}(t)$ สามารถหาสเปกตรัมของสัญญาณ $\hat{y}_2(t)$ ได้โดยมองวงจรคงค่าสัญญาณเป็นระบบแอนะล็อกแบบเชิงเส้นอันดับหนึ่ง มีผลตอบสนองสัญญาณอิมพัลส์คือ $h_H(t)$ ดังแสดงในภาพ 2-12(ก) คือ วงจรนี้เปลี่ยนอิมพัลส์ของสัญญาณขาเข้า เป็นพัลส์สี่เหลี่ยมที่มีความกว้างเท่ากับคาบของอัตราการสุ่ม เมื่อทำการแปลงฟูรีเยร์ ผลตอบสนองอิมพัลส์นี้ จะได้ผลตอบสนองเชิงความถี่ของระบบมีลักษณะเป็นฟังก์ชันซิงค์ (Sinc) ดังแสดงในภาพที่ 2-12(ข)

สเปกตรัมของสัญญาณขาออกของวงจรคงค่า หาได้จากผลคูณของสเปกตรัมของสัญญาณขาเข้า และผลตอบสนองเชิงความถี่ของระบบ ได้ผลลัพธ์ดังแสดงในภาพที่ 2-12(ง) สังเกตได้ว่าสเปกตรัมของสัญญาณขั้นบันไดยังคงมีสำเนาของสัญญาณแอนะล็อกที่ความถี่ $0, f_s, 2f_s, \dots$ อยู่ครบ เพียงแต่สำเนาแต่ละตัวถูกกดขนาดลงด้วยการคูณของฟังก์ชันซิงค์ ซึ่งสำเนาเหล่านี้จะต้องถูกกำจัดทิ้ง โดยตัวกรองสร้างสัญญาณคืนที่มีความถี่ตัดที่ $f_s/2$ เพื่อให้ได้สัญญาณแอนะล็อกขาออกมีรูปร่างที่เรียบสมบูรณ์ สรุปว่า ถึงจะใช้วงจรคงค่าซึ่งให้ผลดูใกล้เคียงสัญญาณแอนะล็อกที่ต้องการแล้ว ยังคงต้องใช้ตัวกรองสร้างสัญญาณคืนร่วมด้วย



ภาพที่ 2-12 (ก) ผลตอบสนองสัญญาณอิมพัลส์ของวงจรวงจรค่า (ข) ผลตอบสนองเชิงความถี่ของวงจรวงจรค่า (ค) สเปกตรัมของสัญญาณ $\hat{y}(t)$ (ง) สเปกตรัมของสัญญาณ $\hat{y}_2(t)$

เช่นเดียวกับตัวกรองป้องกัน Aliasing คือ ไม่สามารถทำตัวกรองอุดมคติสำหรับสัญญาณคืนได้ ซึ่งผลข้างเคียงคือ จะทำให้สัญญาณที่อยู่ในช่วงความถี่สูงกว่า $f_s/2$ หลุดลอดออกมาที่สัญญาณขาออกด้วย กลายเป็นความถี่ของสัญญาณขาออก อย่างไรก็ตาม ถ้าใช้ความถี่ในการสุ่มสูงๆ หรือ (Over Sampling) เพื่อให้มีระยะห่างระหว่างสำเนาความถี่แต่ละตัวมากขึ้น นอกจากจะแก้ปัญหของการใช้ตัวกรองป้องกัน Aliasing ที่ไม่เป็นอุดมคติ ยังช่วยแก้ปัญหของการใช้ตัวกรองสร้างสัญญาณคืนที่ไม่เป็นอุดมคติได้อีกด้วย

2.2 การประมวลผลแบบหลายอัตราสุ่ม [8, 9]

วิธีที่จะเปลี่ยนอัตราการสุ่มของสัญญาณอย่างง่าย คือ การแปลงสัญญาณนั้นกลับเป็นสัญญาณแอนะล็อกก่อน แล้วสุ่มสัญญาณแอนะล็อกใหม่ด้วยอัตราการสุ่มที่ต้องการ วิธีนี้ให้อิสรภาพในการเปลี่ยนอัตราสุ่มพอสมควร โดยสามารถใช้อัตราสุ่มใหม่เป็นเท่าไรก็ได้ โดยไม่ขัดแย้งกับหลักการของการสุ่มที่ต้องการ คือ อัตราการสุ่มใหม่จะต้องมากกว่าสองเท่าของความถี่สูงสุดที่มีอยู่ในสัญญาณ

กรณีที่เป็นกรเพิ่มอัตราการสุ่ม จะไม่มีปัญหาเกี่ยวกับ Aliasing เนื่องจาก อัตราการสุ่มใหม่มากกว่าอัตราเก่า หมายถึง ย่านในควิทซ์กว้างขึ้น ดังนั้น ถ้าสัญญาณไม่ต่อเนื่องเดิมไม่มี Aliasing สัญญาณใหม่จะไม่เกิด Aliasing เช่นกัน แต่ในกรณีของการลดอัตราการสุ่มซึ่งย่านในควิทซ์จะแคบลง จะต้องระวังไม่ให้ความถี่ของสัญญาณเดิมมากเกินไปกว่าครึ่งหนึ่งของอัตราการสุ่มใหม่ หากมากกว่า จำเป็นจะต้องกรองความถี่ในช่วงที่มากกว่านั้นทิ้งไป โดยอาจใช้ตัวกรองดิจิทัลกรองทิ้งไปก่อนแปลงเป็นสัญญาณแอนะล็อก หรือใช้ตัวกรองแอนะล็อกกรองก่อนที่จะทำการสุ่มใหม่ได้ วิธีเปลี่ยนอัตราการสุ่มโดยแปลงเป็นสัญญาณแอนะล็อกก่อน เป็นวิธีที่ไม่นิยมทำเนื่องจากมีข้อเสียคือ เพิ่มสัญญาณรบกวนจากการแบ่งขั้นสัญญาณ เข้ามาในระบบ ในจุดที่ทำการสุ่มใหม่ และเพิ่มความเพี้ยนจาก aliasing ถ้าใช้ตัวกรองแอนะล็อกที่ D/A และ A/D ไม่คมพอ อีกข้อเสียหนึ่งคือ ไม่สะดวกที่จะมีวงจรแอนะล็อกเพิ่มเข้ามาในกึ่งกลางของการประมวลผล ดังนั้นจำเป็นที่จะต้องใช้ ตัวเปลี่ยนอัตราสุ่ม ที่ทำงานได้โดยไม่ต้องแปลงสัญญาณกลับเป็นแอนะล็อกก่อน

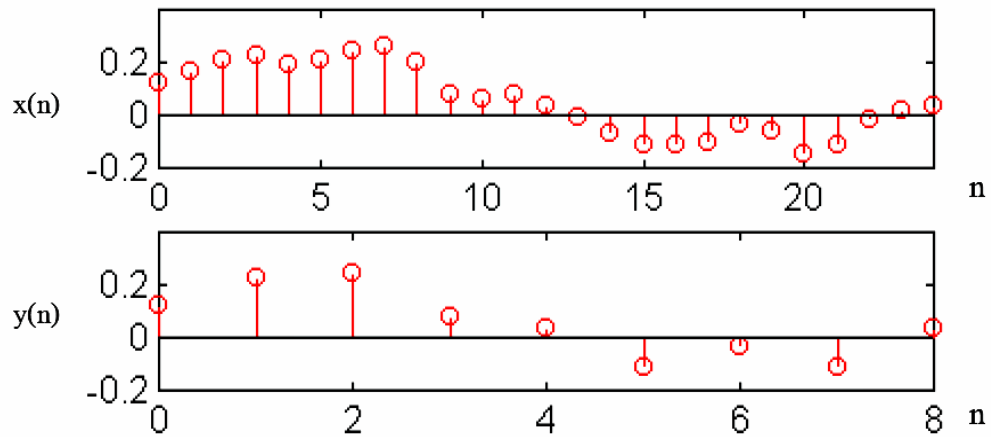
หลักการของการประมวลผลแบบหลายอัตราสุ่มจะแบ่งออกเป็น 2 ส่วนคือ เดซิเมชัน (Decimation) ใช้ในการลดอัตราการสุ่ม และอินเทอร์โพลชัน (Interpolation) ใช้ในการเพิ่มอัตราการสุ่ม

2.2.1 เดซิเมชัน

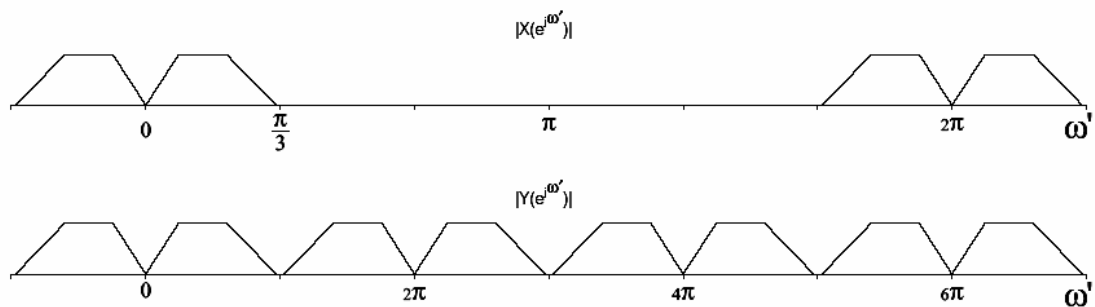
การลดอัตราการสุ่มของสัญญาณไม่ต่อเนื่องสามารถทำได้โดย ถ้าต้องการลดอัตราลงด้วยอัตราส่วน $1/D$ หรือ ลดอัตราลง D เท่า โดยที่ D เป็นจำนวนเต็ม ทำได้โดยสร้างสัญญาณใหม่ขึ้นมาโดยดึงสัญญาณเก่ามา 1 ค่า แล้วเว้น $D-1$ ค่า เช่น ถ้า $D = 3$ จะต้องสร้างสัญญาณใหม่ $y(n)$ โดยดึงเอาสัญญาณเก่า $x(n)$ 1 ค่า แล้วเว้น 2 ค่า จะได้อัตราข้อมูลของ $y(n)$ น้อยลง หรือช้าลงกว่า $x(n)$ 3 เท่า ถ้าคิดเป็นปริมาณของข้อมูล จะได้จำนวนข้อมูลของ $y(n)$ น้อยกว่า $x(n)$ 3 เท่า ดังแสดงในภาพที่ 2-13

ในโดเมนความถี่ การลดอัตราการสุ่มลง D เท่า จะทำให้ย่านในควิทซ์แคบลงเป็น $1/D$ จากของเดิม สัญญาณใหม่จะมีความถี่ π ย้ายมาอยู่ที่ความถี่ $\pi/3$ ของเดิม ดังแสดงในภาพที่ 2-14 จะมีปัญหาเกิดขึ้นถ้าหากว่าสัญญาณเดิมมีองค์ประกอบความถี่ที่สูงกว่า $\pi/3$ อยู่ เมื่อลดอัตราการสุ่มจะ

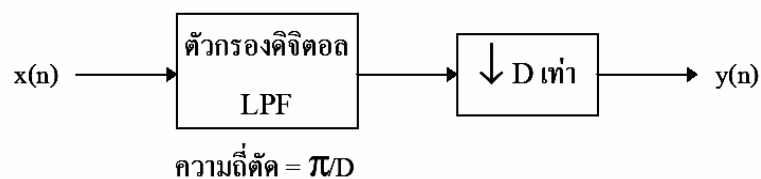
ทำให้เกิดการซ้อนทับของสเปกตรัม คือเกิด Aliasing การลดอัตราการสุ่มจะต้องกรองสัญญาณความถี่สูงทิ้งไป โดยใช้ตัวกรองดิจิทัลผ่านต่ำที่มีความถี่ตัดที่ $\pi/3$



ภาพที่ 2-13 สัญญาณทางเวลาก่อนและหลังการลดอัตราการสุ่มลง 3 เท่า



ภาพที่ 2-14 สเปกตรัมของสัญญาณก่อน และหลังการลดอัตราการสุ่มลง 3 เท่า



ภาพที่ 2-15 ส่วนประกอบของเดซิเมชัน

ในภาพที่ 2-15 แสดงส่วนประกอบของเดซิเมชัน การลดจำนวนข้อมูลสัญญาณ $x(n]$ ลด D เท่า ซึ่งประกอบด้วย ตัวกรองดิจิทัล LPF (Lowpass Filter) และ Sampling Rate Compressor โดยตัวลดขนาดสัญญาณจะทำการสร้างความถี่สุ่มขึ้นมาใหม่

2.2.2 อินเทอร์โพลชัน

การเพิ่มอัตราสุ่มของสัญญาณไม่ต่อเนื่องสามารถทำได้โดย ถ้าต้องการอัตราการสุ่มของสัญญาณขึ้น I เท่า โดยที่ I เป็นจำนวนเต็ม กำหนดให้ I เท่ากับ 3 สัญญาณใหม่ $y(n)$ จะมีอัตราข้อมูลเพิ่มขึ้นจากสัญญาณเก่า $x(n)$ 3 เท่า ถ้าคิดในแง่ของการประมวลผลแบบไม่เป็นเวลาจริง จะได้ว่า $y(n)$ จะมีจำนวนข้อมูลมากขึ้น 3 เท่า

การเพิ่มอัตราการสุ่มกรณี $I = 3$ จะได้ย่านในควิทซ์เพิ่มขึ้นจากเดิมสามเท่า จึงไม่มีปัญหาเรื่อง เกิด Aliasing เหมือนการลดอัตราการสุ่ม แต่จะมีปัญหาคือการสร้างสัญญาณ $y(n)$ ขึ้นมาใหม่ โดยจะต้องนำสัญญาณ $x(n)$ มาแทรกข้อมูลใหม่เพิ่มลงไป 2 จุดในระหว่างทุกๆจุดของ $x(n)$ เพื่อให้มีอัตราข้อมูลเพิ่มขึ้น 3 เท่า โดยจะต้องหาข้อมูลใหม่ที่มีค่าเฉลี่ยที่ถูกต้องแทรกเข้าไปโดยไม่ทำให้สเปกตรัมเดิมของสัญญาณผิดเพี้ยนไป

ถ้าลองแทรกศูนย์ลงไป 2 จุดในระหว่างค่าของสัญญาณเก่าทุกๆจุด เรียกสัญญาณใหม่นี้ว่า $w(n)$ ดังแสดงในภาพที่ 2-16 จะได้ว่า อัตราข้อมูลของ $w(n)$ มากขึ้นเป็นสามเท่าจริงแต่ ศูนย์ที่แทรกเข้าไปไม่ใช่ค่าเฉลี่ยที่ถูกต้อง เพราะทำให้รูปร่างสัญญาณเพี้ยนไป พิจารณาในภาคความถี่ว่า เกิดการเปลี่ยนแปลงกับสัญญาณ $w(n)$ โดยพิจารณาการแปลง z ของ $w(n)$ ดังนี้

$$W(z) = \sum_{n=0}^{\infty} w(n)z^{-n} \quad (2-8)$$

ถ้าสัญญาณ $w(n)$ เริ่มต้นที่ $w(0) = x(0)$ จะได้ว่าค่า $w(n)$ ที่ไม่เท่ากับศูนย์ คือ $w(3)$, $w(6)$, $w(9)$,... โดยที่ $w(3) = x(1)$, $w(6) = x(2)$,... เป็นเช่นนี้ไปเรื่อยๆหรือเขียนเป็นสูตรได้ว่า $w(n) = x(n/3)$ จะได้ว่า

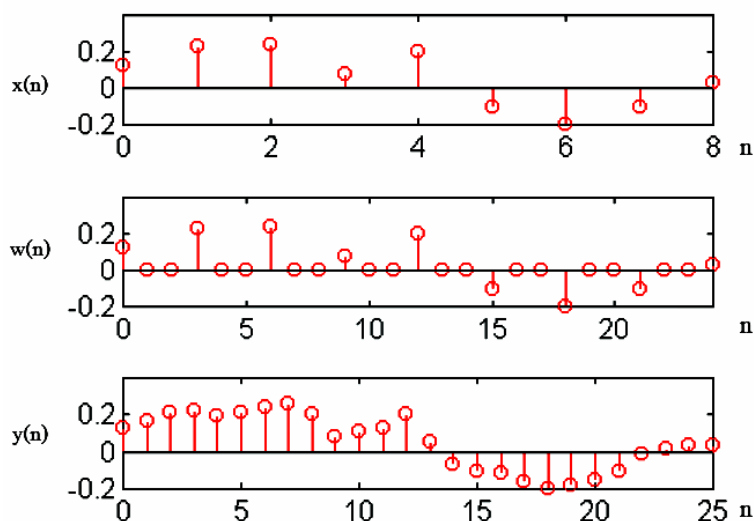
$$\begin{aligned} W(z) &= \sum_{n=0,3,6,9,\dots}^{\infty} w(n)z^{-n} \\ &= \sum_{n=0,3,6,9,\dots}^{\infty} x(n/3)z^{-n} \end{aligned}$$

แทน n ด้วย $3n$ จะได้ตัวชี้ที่เรียงลำดับเป็นปกติคือ $n = 0, 1, 2, 3, \dots$ ดังนี้

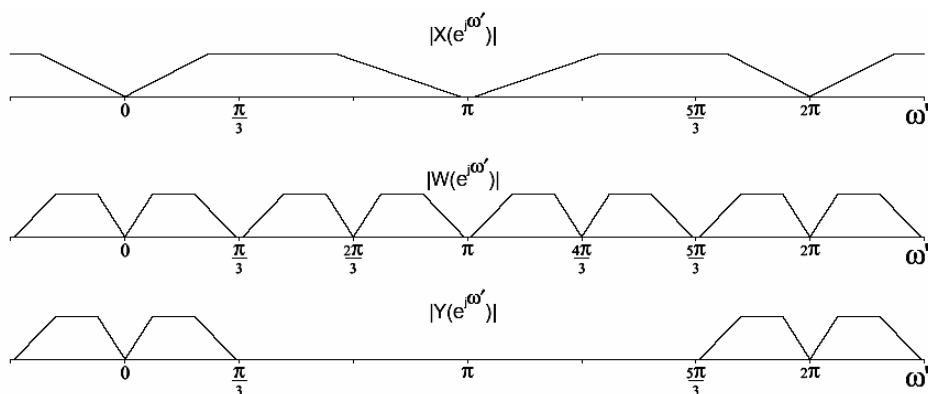
$$\begin{aligned} W(z) &= \sum_{n=0}^{\infty} x(n)z^{-3n} \\ &= X(z^3) \end{aligned}$$

แทน $z = e^{j\omega'}$ จะได้ว่าความสัมพันธ์ระหว่างสเปกตรัมของ $x(n)$ กับ $w(n)$ ดังนี้

$$W(e^{j\omega'}) = X(e^{j3\omega'}) \quad (2-9)$$

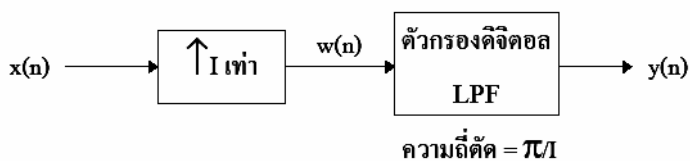


ภาพที่ 2-16 สัญญาณทางเวลาก่อนและหลังการเพิ่มอัตราการสุ่มขึ้น 3 เท่า



ภาพที่ 2-17 สเปกตรัมของสัญญาณก่อนและหลังการเพิ่มอัตราการสุ่มขึ้น 3 เท่า

จะได้ สเปกตรัมของ $w(n)$ คือ สเปกตรัมของ $x(n)$ ที่ถูกบีบให้แคบลง 3 เท่า ดังแสดงในภาพที่ 2-17 ย่านความถี่ในช่วง 0 ถึง π เดิมของ $x(n)$ จะถูกบีบให้อยู่ในช่วงความถี่ 0 ถึง $\pi/3$ ของ $w(n)$ ซึ่งช่วงความถี่นี้ คือสิ่งที่ต้องการ ส่วนความถี่ในช่วง $\pi/3$ ถึง π จะมีสำเนาของความถี่เดิมของ $x(n)$ ปนเข้ามา ซึ่งสิ่งที่ไม่ต้องการจะถูกตัดทิ้งโดยใช้ตัวกรองดิจิทัล ส่วนประกอบของอินเทอร์โพลชัน แสดงดังในภาพที่ 2-18



ภาพที่ 2-18 ส่วนประกอบของอินเทอร์โพลชัน

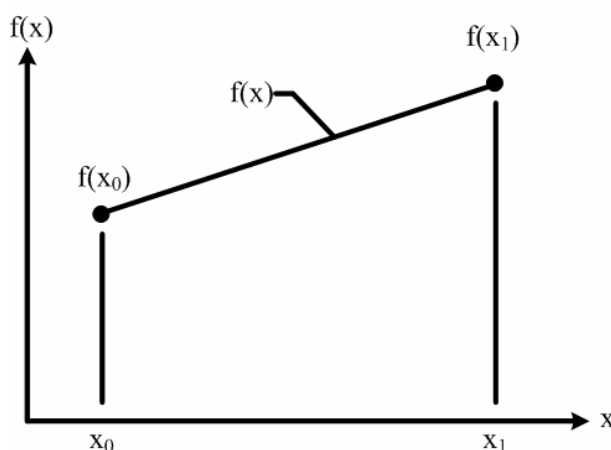
2.3 ฟังก์ชันพหุนามของลากรองจ์ (Lagrange Interpolation Polynomials) [10]

ปัญหาจากการเพิ่มความถี่คือ การหาสัญญาณมาชดเชยช่วงที่ขาดหายไป เพื่อให้ความถี่สูงขึ้น I เท่า โดยเงื่อนไขของข้อมูลใหม่ที่จะเติมลงไปคือ จะต้องเป็นค่าเฉลี่ยที่ถูกต้องระหว่างข้อมูลที่ถูกรบกวนเข้าไปโดยไม่ทำให้สเปกตรัมเดิมของสัญญาณผิดเพี้ยนไป ซึ่งจะแก้ปัญหานี้โดยการประมาณค่าสัญญาณที่จะทำการชดเชยลงในสัญญาณเดิมโดยใช้ข้อมูลของสัญญาณเดิมพยากรณ์หาสัญญาณใหม่โดยใช้ฟังก์ชันพหุนามของลากรองจ์

การประมาณค่าในช่วงโดยใช้ฟังก์ชันพหุนามของลากรองจ์ (Lagrange Interpolation Polynomials) เป็นวิธีการที่นิยมใช้กันมากวิธีหนึ่ง วิธีการนี้เป็นรากฐานที่ถูกนำไปใช้ในระเบียบวิธีเชิงตัวเลขในระดับสูงขึ้นไป หลักการของวิธีการนี้คือการประดิษฐ์ฟังก์ชันพหุนามที่มีลักษณะของการกระจายซึ่งประกอบด้วยค่าของข้อมูลตามตำแหน่งต่างๆที่กำหนดมาให้ การศึกษาขั้นตอนการประดิษฐ์ฟังก์ชันพหุนาม เริ่มจากรูปแบบอย่างง่ายดังนี้

2.3.1 การประมาณค่าในช่วงเชิงเส้น

สมมุติว่ามีข้อมูลอยู่ 2 ข้อมูล เช่น ตำแหน่ง x_0 ค่าของข้อมูล คือ $f(x_0)$ และที่ตำแหน่ง x_1 ค่าของข้อมูลคือ $f(x_1)$ ถ้าต้องการประมาณค่าในช่วงระหว่าง x_0 และ x_1 ฟังก์ชันที่ง่ายที่สุดจะอยู่ในรูปแบบของสมการเส้นตรงดังแสดงในภาพที่ 2-19



ภาพที่ 2-19 ลักษณะฟังก์ชันเชิงเส้นสำหรับการประมาณค่าในช่วงระหว่าง x_0 และ x_1

อธิบายได้ด้วยสมการดังนี้

$$(2-10)$$

$$f(x) = ax + b$$

โดย a และ b เป็นค่าคงตัวที่ไม่รู้ค่า ซึ่งสามารถหาได้จากเงื่อนไขที่ตำแหน่ง x_0 และ x_1 ดังนี้

$$\text{ที่ } x = x_0 : \quad f(x_0) = ax_0 + b \quad (2-11)$$

$$x = x_1 : \quad f(x_1) = ax_1 + b \quad (2-12)$$

หากเอาสมการ (2-11)ลบออกจากสมการ(2-12) จะได้

$$f(x_1) - f(x_0) = a(x_1 - x_0)$$

$$a = \frac{f(x_1) - f(x_0)}{x_1 - x_0}$$

จากนั้นแทนค่าคงตัวที่ a ที่ได้กลับลงในสมการ (2-11) จะได้

$$b = f(x_0) - \frac{f(x_1) - f(x_0)}{x_1 - x_0} x_0$$

ทำให้สมการเส้นตรง (2-10) กลายมาเป็น

$$f(x) = \frac{f(x_1) - f(x_0)}{x_1 - x_0} x + f(x_0) - \frac{f(x_1) - f(x_0)}{x_1 - x_0} x_0$$

และหลังจากจัดพจน์ต่างๆจะได้

$$f(x) = \left(\frac{x_1 - x}{x_1 - x_0} \right) f(x_0) + \left(\frac{x_0 - x}{x_0 - x_1} \right) f(x_1) \quad (2-13)$$

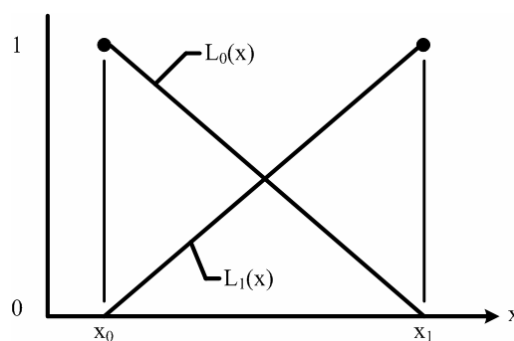
หรือเขียนได้ในรูปแบบดังนี้

$$f(x) = L_0(x)f(x_0) + L_1(x)f(x_1) \quad (2-14)$$

โดย

$$L_0(x) = \frac{x_1 - x}{x_1 - x_0} \quad \text{และ} \quad L_1(x) = \frac{x_0 - x}{x_0 - x_1} \quad (2-15)$$

ฟังก์ชัน $L_0(x)$ และ $L_1(x)$ นี้เรียกว่าฟังก์ชันประมาณค่าในช่วงของลากรองจ์(Lagrange interpolation functions) ซึ่งในกรณีนี้อยู่ในรูปแบบของฟังก์ชันเชิงเส้นที่มีลักษณะการกระจายดังแสดงในภาพที่ 2-20



ภาพที่ 2-20 ฟังก์ชันประมาณค่าภายในของลากรองจ์แบบเชิงเส้น

โดย

$$L_0(x) = \begin{cases} 1 & \text{ณ } x = x_0 \\ 0 & \text{ณ } x = x_1 \end{cases} \quad (2-16)$$

และ

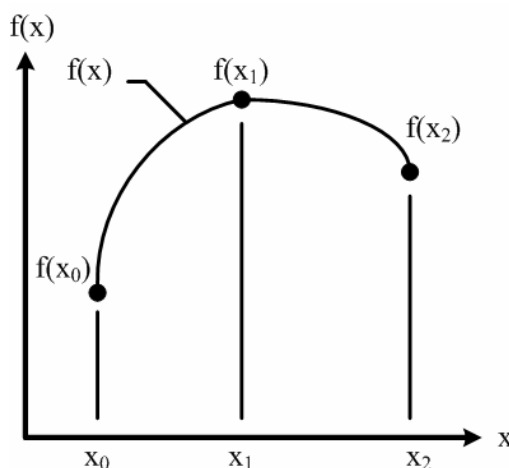
$$L_1(x) = \begin{cases} 0 & \text{ณ } x = x_0 \\ 1 & \text{ณ } x = x_1 \end{cases} \quad (2-17)$$

สามารถสรุปได้ว่า

$$L_i(x) = \begin{cases} 1 & \text{ณ } x = x_i \\ 0 & \text{ณ } x \text{ ของตำแหน่งข้อมูลอื่นๆ} \end{cases} \quad (2-18)$$

2.3.2 การประมาณค่าในช่วงกำลังสอง

หากมีข้อมูลทั้งหมด 3 ข้อมูล คือ $f(x_0), f(x_1), f(x_2)$ ที่ตำแหน่ง x_0, x_1, x_2 ตามลำดับ ถ้าต้องการประมาณค่าในช่วงระหว่าง x_0 และ x_2 ฟังก์ชันที่เหมาะสมที่สุดจะอยู่ในรูปแบบฟังก์ชันกำลังสอง (Quadratic Function) ดังแสดงในภาพที่ 2-21



ภาพที่ 2-21 ลักษณะฟังก์ชันกำลังสองสำหรับการประมาณค่าในช่วงระหว่าง x_0 และ x_2

ซึ่งอธิบายได้ด้วยสมการ ดังนี้

$$f(x) = ax^2 + bx + c \quad (2-19)$$

โดย a, b, c เป็นค่าคงตัวที่ไม่รู้ค่า ซึ่งหาได้จากเงื่อนไขตำแหน่ง x_0, x_1, x_2 ได้ดังนี้

$$\text{ที่ } x = x_0: \quad f(x_0) = ax_0^2 + bx_0 + c \quad (2-20)$$

$$\text{ที่ } x = x_1: \quad f(x_1) = ax_1^2 + bx_1 + c \quad (2-21)$$

$$\text{ที่ } x = x_2: \quad f(x_2) = ax_2^2 + bx_2 + c \quad (2-22)$$

หลังจากได้ค่าคงตัว แล้วแทนกลับลงในสมการ (2-19) แล้วทำการจัดพจน์สมการ (2-19) จะสามารถเขียนให้อยู่ในรูปแบบของฟังก์ชันประมาณค่าในช่วงของลากรองจ์ได้ดังนี้

$$f(x) = L_0(x)f(x_0) + L_1(x)f(x_1) + L_2(x)f(x_2) \quad (2-23)$$

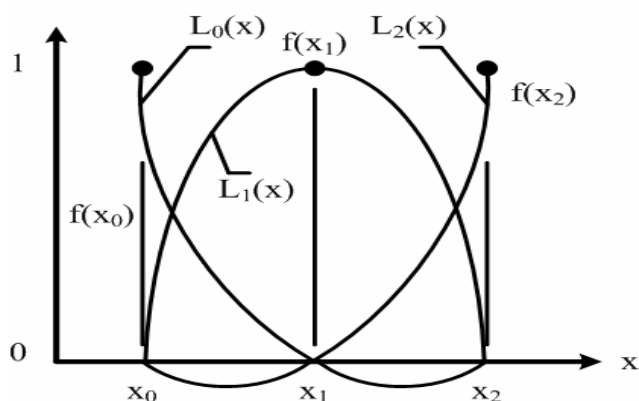
โดย

$$L_0(x) = \frac{(x_2 - x)(x_1 - x)}{(x_2 - x_0)(x_1 - x_0)} \quad (2-24)$$

$$L_1(x) = \frac{(x_2 - x)(x_0 - x)}{(x_2 - x_1)(x_0 - x_1)} \quad (2-25)$$

$$L_2(x) = \frac{(x_1 - x)(x_0 - x)}{(x_1 - x_2)(x_0 - x_2)} \quad (2-26)$$

ฟังก์ชันประมาณค่าในช่วงของลากรองจ์ดังแสดงในสมการ (2-24) ถึง (2-26) ต่างมีคุณสมบัติที่ว่า $L_i = 1$ ที่ x_i และ 0 ที่ตำแหน่ง x ของข้อมูลอื่นๆเช่นเดียวกันกับที่เกิดขึ้นกับฟังก์ชันเชิงเส้นในสมการ (2-18)



ภาพที่ 2-22 ฟังก์ชันประมาณค่าในช่วงของลากรองจ์แบบกำลังสอง

2.3.3 การประมาณค่าในช่วงฟังก์ชันพหุนามโดยทั่วไป

จากหัวข้อ 2.3.1 และ 2.3.2 จะเห็นได้ว่าสามารถสร้างฟังก์ชันพหุนามโดยทั่วไปของลากรองจ์เพื่อการประมาณค่าในช่วงได้ ฟังก์ชันพหุนามดังกล่าวมีลักษณะของการกระจายจะครอบคลุมค่าฟังก์ชัน $f(x_i)$ ณ ตำแหน่ง x_i ต่างๆที่กำหนดมาให้ ฟังก์ชันพหุนามของลากรองจ์นี้สามารถเขียนให้อยู่ในรูปแบบโดยทั่วไปได้ดังนี้

$$f(x) = \sum_{i=0}^n L_i(x)f(x_i) \quad (2-27)$$

โดย

$$L_i(x) = \prod_{\substack{j=0 \\ j \neq i}}^n \frac{x - x_j}{x_i - x_j} \quad (2-28)$$

โดย \prod เป็นสัญลักษณ์ของการคูณ ตัวอย่างของการใช้สัญลักษณ์นี้ เช่น

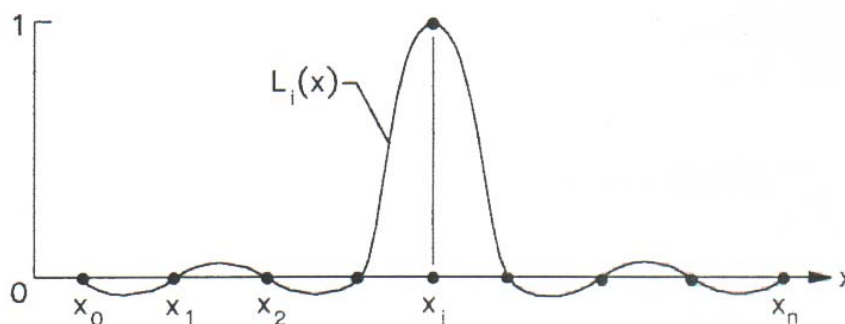
$$\prod_{k=1}^3 (k+1) = (1+1)(2+1)(3+1) = (2)(3)(4) = 24$$

เป็นต้น ฟังก์ชันการประมาณค่าในช่วงของลากรองจ์ $L_i(x)$ ดังแสดงในสมการ (2-28) สามารถเขียนได้โดยละเอียดดังตัวอย่างต่อไปนี้ หากมี 3 ข้อมูล ($n = 2$) และหากต้องการหา $L_1(x)$ นั่นคือ $i = 1$

$$L_1(x) = \prod_{\substack{j=0 \\ j \neq 1}}^3 \frac{x - x_j}{x_1 - x_j} = \frac{(x - x_0)(x - x_2)}{(x_1 - x_0)(x_1 - x_2)}$$

ซึ่งให้ผลเท่ากับสมการ(2-25) เป็นต้น

ฟังก์ชันการประมาณค่าในช่วงของลากรองจ์แบบพหุนามทั่วไปดังแสดงในสมการ (2-28) นี้ยังมีคุณสมบัติเช่นเดียวกับฟังก์ชันการประมาณในช่วงที่สังเกตมาดังแสดงในสมการ (2-18) กล่าวคือ L_i มีค่าเท่ากับ 1 ที่ตำแหน่ง x_i และมีค่าเท่ากับ 0 ที่ตำแหน่ง x ของข้อมูลอื่นๆ คุณสมบัติดังกล่าวก่อให้เกิดลักษณะการกระจายของฟังก์ชันดังแสดงในภาพที่ 2-23



ภาพที่ 2-23 ฟังก์ชันประมาณค่าในช่วงของลากรองจ์แบบพหุนามทั่วไป

2.4 การหาค่าความผิดพลาดของรูปสัญญาณ [1, 2, 3]

สัญญาณหลังจากผ่านกระบวนการอินเทอร์โพลेटเพื่อกลับสัญญาณเป็นรูปเดิมแล้ว จะเกิดความเพี้ยนของสัญญาณขึ้น โดยค่าความผิดพลาดหาได้จากค่า Percent root-mean square Difference (PRD) ซึ่งเป็นมาตรฐานการวัดความเพี้ยนของสัญญาณคลื่นไฟฟ้าหัวใจ ดังแสดงด้วยสมการที่ (2-29)

$$PRD = \sqrt{\frac{\sum_{n=0}^{N-1} (x(n) - \hat{x}(n))^2}{\sum_{n=0}^{N-1} x^2(n)}} \times 100 \quad (2-29)$$

โดย $x(n)$ คือ สัญญาณขาเข้าที่ยังไม่ผ่านกระบวนการประมวลผล

$\hat{x}(n)$ คือ สัญญาณขาออกที่ผ่านการประมวลผลแล้ว

2.5 ขบวนการทางไฟฟ้าของหัวใจ [11]

การเกิดคลื่นไฟฟ้าหัวใจ เกิดจากการกระตุ้นเซลล์ต่างๆของหัวใจด้วยกระบวนการทางไฟฟ้า ซึ่งมีการนำไฟฟ้าและขั้นตอนการกระตุ้นของเซลล์ต่างๆ ดังต่อไปนี้

Sinoatrial Node เป็นจุดเริ่มต้นของการกำเนิดไฟฟ้าในหัวใจที่เกิดขึ้นเป็นจังหวะโดยอัตโนมัติ คลื่นไฟฟ้าจะเคลื่อนตัวไปตามทางเดิน คือ Internodal Tract ไปกระตุ้นเอเทรียมขวา ก่อนเอเทรียมซ้าย แรงกระตุ้นจะแผ่ไปทุกทิศทาง แต่ทิศทางจะรวมพุ่งไปทางด้านซ้ายและลงล่างทำให้เกิดคลื่น P ขึ้น ส่วนต้นของคลื่น P เกิดจากการกระตุ้น เอเทรียมขวา และขณะที่เอเทรียมซ้ายถูกกระตุ้น AV Node ก็ถูกกระตุ้นด้วยคลื่นไฟฟ้าจะเคลื่อนตัวช้าๆ โดยใช้เวลาประมาณ 34 มิลลิวินาที อยู่ในเนื้อเยื่อบริเวณ AV Node (Junctional Tissue) ก่อนจะเคลื่อนที่ไปที่เวนตริเคิลมีระยะเวลาการคลายตัวเพื่อรอรับเลือดจากเอเทรียม

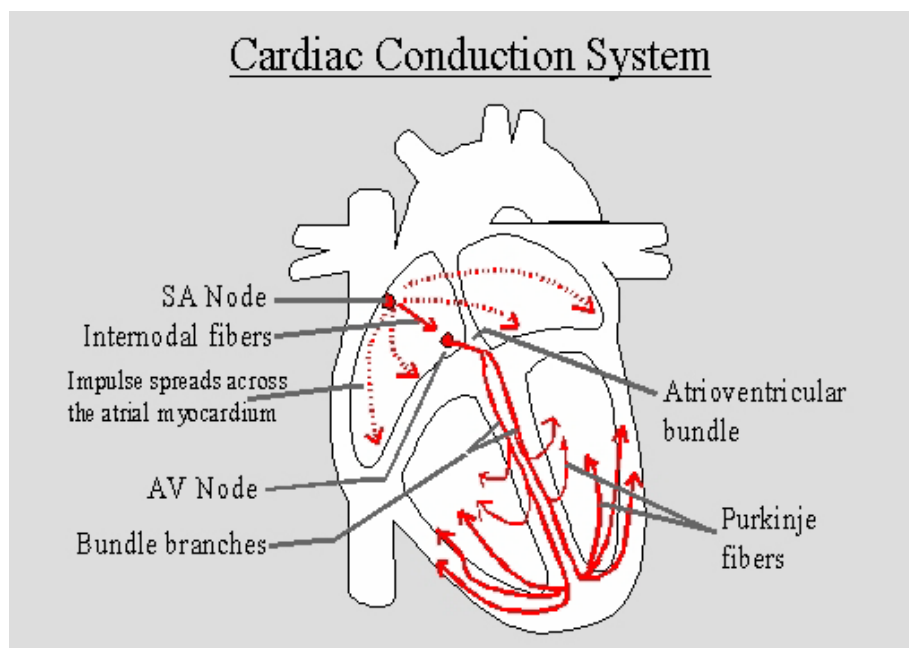
เมื่อ AV Node ถูกกระตุ้นแล้ว คลื่นไฟฟ้าจะเคลื่อนตัวตาม Bundle of HIS แผ่กระจายไปตามแขนขวาและซ้าย (Right, Left Bundle Branch) เข้าสู่เส้นใยพัวร์กินเย ซึ่งมีลักษณะเป็นเส้นใยคล้ายร่างแห กระจายไปทั่วกล้ามเนื้อทำให้เวนตริเคิลหดตัวบีบเลือดออกไปเลี้ยงส่วนต่างๆ ของร่างกายการกระตุ้นที่เวนตริเคิล เริ่มที่ผนังกั้นระหว่างเวนตริเคิลตอนกลางด้านซ้ายถูกกระตุ้นก่อน โดยมีทิศทางของแรงกระตุ้นพุ่งไปทางด้านหน้าและลงล่างใช้เวลา 8 มิลลิวินาทีจุดนี้ทำให้เกิดคลื่น Q ต่อมาเวนตริเคิลด้านขวาถูกกระตุ้นตามด้วยผนังด้านซ้าย คลื่นไฟฟ้าจะวิ่งเป็นทิศทางมุมฉากกับผนังเวนตริเคิล โดยออกจาก เอนโดคาเดียม (Endocardium) ไปพิกาเดียม (Epicardium) เนื่องจาก

ผนังเวนทริเคิลซ้ายหนากว่าเวนทริเคิลขวา ทำให้เกิดแรงรวมที่เกิดขึ้นพุ่งไปทางเวนทริเคิล ซ้าย คือ พุ่งลงล่างและไปทางซ้าย ทำให้เกิดคลื่น QRS Complex

2.6 การเกิดสัญญาณคลื่นไฟฟ้าหัวใจ [11]

การเต้นของหัวใจที่ปกติ จะเริ่มจากตำแหน่ง S-A (S-A: Sinoatrial Node) ภายในหัวใจห้องบนข้างขวา แสดงในภาพที่ 2-24 โดยเกิดสัญญาณไฟฟ้าเป็นจังหวะและจะกระจายไปยังหัวใจห้องบนทั้งสองห้อง ทำให้หัวใจห้องบนหดตัวและบีบเลือดเข้าไปในหัวใจห้องล่างทั้งสองห้อง หลังจากนั้น สัญญาณจะไปที่ตำแหน่ง A-V (A-V: Atrioventricular Node) ซึ่งอยู่ที่ฐานหัวใจด้านล่างข้าง ความเร็วในการเคลื่อนที่ของสัญญาณผ่านตำแหน่ง A-V จะช้ามาก ทำให้เกิดการหน่วงเวลาก่อนที่สัญญาณจะไปถึงหัวใจห้องล่าง

สัญญาณที่ออกจากตำแหน่ง A-V จะเคลื่อนที่ไปตามเนื้อเยื่อนำไฟฟ้าในหัวใจ (Bundle of His) และกลุ่มเส้นใยพัวร์กินเย (Purkinje Fibers) ซึ่งเป็นแขนงเส้นใยที่นำคลื่นไฟฟ้าแยกไปตามส่วนต่างๆ ของกล้ามเนื้อหัวใจห้องล่าง ทำให้เกิดการหดตัวสูบฉีดเลือดออกจากหัวใจไปเลี้ยงส่วนต่างๆ ของร่างกาย ในผู้ใหญ่ขณะอยู่นิ่ง ตำแหน่ง S-A จะให้กำเนิดสัญญาณไฟฟ้าออกมาด้วยอัตราประมาณ 70 ครั้งต่อนาที ช่วงเวลาที่ใช้ในการส่งผ่านสัญญาณไฟฟ้าจากตำแหน่ง S-A ถึงตำแหน่ง A-V โดยทั่วไปมีค่า 0.12-0.22 วินาที



ภาพที่ 2-24 ระบบเหนี่ยวนำไฟฟ้าของหัวใจ

บทที่ 3

ขั้นตอนการดำเนินงาน

3.1 ศึกษาค้นคว้าข้อมูล

จากการศึกษาทฤษฎีในบทที่ 2 ผู้วิจัยเห็นว่าสามารถนำเอาหลักการของการประมวลผลแบบหลายอัตราสุ่ม มาใช้กับการลดขนาด (Compression) ของคลื่นไฟฟ้าหัวใจได้ ซึ่งลักษณะของสัญญาณคลื่นไฟฟ้าหัวใจที่ได้จากเครื่องวัด เป็นสัญญาณต่อเนื่องทางเวลา ดังนั้นขั้นตอนการออกแบบของงานวิจัยนี้ จะเริ่มจากการแปลงสัญญาณแบบต่อเนื่องทางเวลาให้เป็นสัญญาณไม่ต่อเนื่องทางเวลาก่อน แล้วนำมาผ่านกระบวนการประมวลผลเพื่อที่จะลดขนาดของสัญญาณคลื่นไฟฟ้าหัวใจ ในงานวิจัยนี้จะทำการลดขนาดของคลื่นไฟฟ้าหัวใจในปริมาณ 2 เท่า 4 เท่า และ 8 เท่า และจะเพิ่มขนาด (Decompression) สัญญาณคลื่นไฟฟ้าหัวใจกลับทันที โดยจะเพิ่มขนาด 2 เท่า 4 เท่า และ 8 เท่า เช่นกัน โดยขั้นตอนในการออกแบบวิธีการผู้วิจัยกระทำบนโปรแกรม Matlab โดยสัญญาณคลื่นไฟฟ้าหัวใจที่ใช้ในการออกแบบ จะเก็บสัญญาณจากเครื่องจำลองคลื่นไฟฟ้าหัวใจ โดยกำหนดอัตราการเดินของหัวใจที่ 30, 60, และ 120 ครั้งต่อนาที เป็นสัญญาณ อินพุต นำไปเขียนโปรแกรมจำลองการทำงาน บนโปรแกรม Matlab จากนั้นนำสัมประสิทธิ์ที่ใช้จำลองการทำงานไปทำการสร้างจริงโดยใช้บอร์ดประมวลผลสัญญาณดิจิทัล TMS320C31 DSKทำงานที่ Sampling Frequency ที่ 600 Hz และ 1200 Hz หลังจากนั้นนำผลมาคำนวณหาค่า PRD มาเปรียบเทียบกับผลที่ได้จากการจำลองการทำงาน

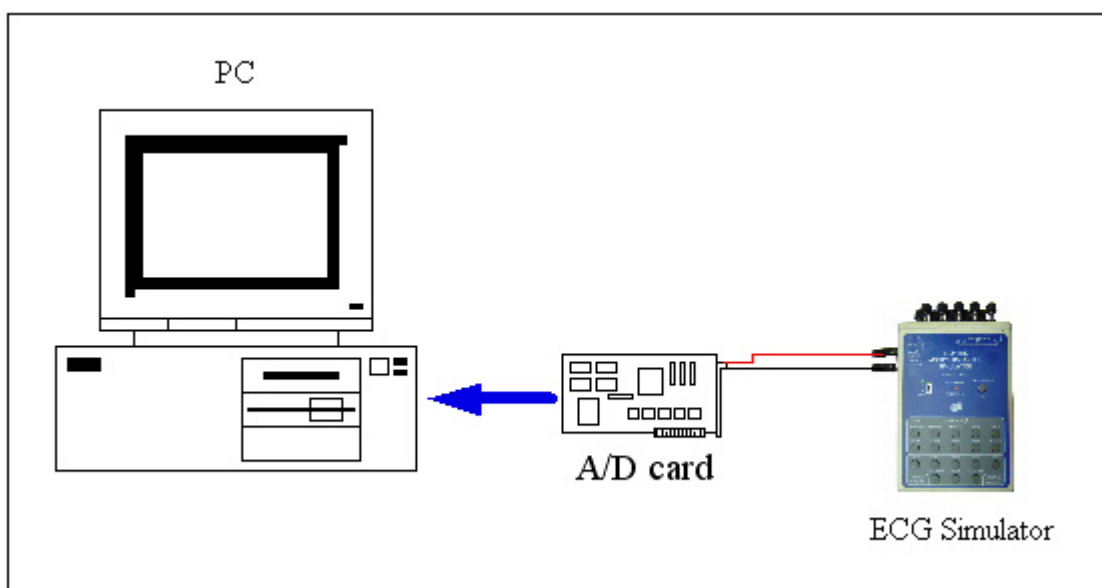
3.2 การออกแบบการทำงาน

3.2.1 การเก็บสัญญาณ คลื่นไฟฟ้าหัวใจ จากเครื่องจำลองคลื่นไฟฟ้าหัวใจ

ในการออกแบบการทำงานของกระบวนการลดขนาดสัญญาณ คลื่นไฟฟ้าหัวใจ จำเป็นที่จะต้องหาสัญญาณ คลื่นไฟฟ้าหัวใจ มาทดสอบ โดยผู้วิจัยได้ทำการเก็บสัญญาณ คลื่นไฟฟ้าหัวใจ จากเครื่อง จำลองคลื่นไฟฟ้าหัวใจ โดย นำสัญญาณ คลื่นไฟฟ้าหัวใจ จากเครื่องจำลองคลื่นไฟฟ้าหัวใจ ผ่านการ์ดแปลงสัญญาณแอนาลอกเป็นสัญญาณดิจิทัล โดยสัญญาณ คลื่นไฟฟ้าหัวใจ จะถูกเก็บเข้ามาในเครื่องคอมพิวเตอร์ในรูปแบบของสัญญาณไม่ต่อเนื่อง ในลักษณะของลำดับค่า หรือลำดับข้อมูล เมื่อได้ข้อมูลของสัญญาณแล้วจึงนำมาทำการประมวลผล เครื่องจำลองคลื่นไฟฟ้าหัวใจจะแสดงดังในภาพที่ 3-1 และการเก็บสัญญาณ คลื่นไฟฟ้าหัวใจ จากเครื่องจำลองคลื่นไฟฟ้าหัวใจ จะแสดงดังในภาพที่ 3-2



ภาพที่ 3-1 เครื่องจำลองคลื่นไฟฟ้าหัวใจ (ECG Simulator)



ภาพที่ 3-2 การเก็บสัญญาณจากเครื่องจำลองคลื่นไฟฟ้าหัวใจ ลงในเครื่องคอมพิวเตอร์

3.2.2 การลดจำนวนข้อมูลด้วยโปรแกรม Matlab

เมื่อได้สัญญาณ คลื่นไฟฟ้าหัวใจ ที่ต้องการนำมาประมวลผลแล้ว ขั้นตอนต่อไปคือ การนำหลักการของทฤษฎี ของการประมวลผลหลายอัตราส่วน มาใช้ในการออกแบบสร้างตัวประมวลผล เพื่อที่จะลดขนาดของสัญญาณ คลื่นไฟฟ้าหัวใจ ให้มีจำนวนข้อมูลที่น้อยลง โดยจะใช้ วิธีการ เดซิเมชัน มาออกแบบในการลดจำนวนข้อมูลของสัญญาณ คลื่นไฟฟ้าหัวใจ การออกแบบ วิธีเดซิเมชัน ที่กระทำบนโปรแกรม Matlab ดังแสดงในภาพที่ 3-3

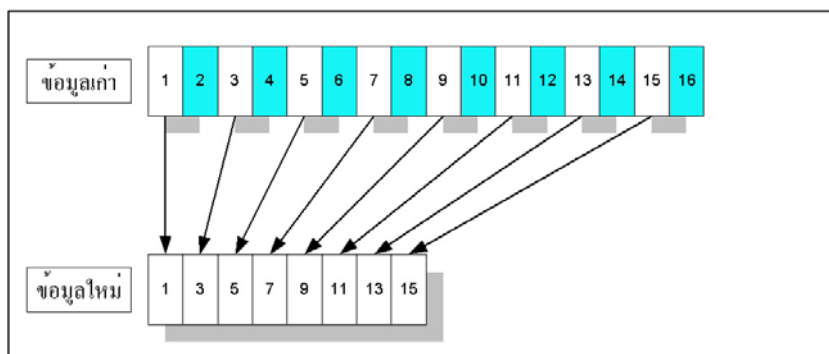
```

%----- (Compression) DECIMATION-----%
- w=size (we) ;
- nnn=1;
- for n=1:2:w(2) ;   %(Compression 2)
-   x (nnn) =we (n) ;
-   nnn=nnn+1;
- end

```

ภาพที่ 3-3 การออกแบบบนโปรแกรม Matlab ในส่วนการลดข้อมูล 2 เท่า

ในภาพที่ 3-3 จะเป็นการลดข้อมูล 2 เท่า โดยโปรแกรมจะทำการเก็บข้อมูล ค่าที่ 1 ไปไว้ในค่าตัวแปรใหม่ แล้วเว้นข้อมูลเก่าในค่าที่ 2 ไปเก็บข้อมูลตัวที่ 3 ของข้อมูลเก่ามาไว้ในลำดับที่ 2 ของตัวแปรใหม่ แล้วทำอย่างนี้จนหมดข้อมูล ซึ่งจำนวนข้อมูลในตัวแปรใหม่จะมีจำนวนน้อยกว่าข้อมูลเก่า 2 เท่า



ภาพที่ 3-4 ลักษณะการเก็บข้อมูลของการลดข้อมูลจำนวน 2 เท่า

ในภาพที่ 3-4 แสดงให้เห็นถึงลักษณะการเก็บข้อมูลของการลดข้อมูล 2 เท่าโดยค่าของข้อมูลแต่ละค่า คือลำดับค่าของสัญญาณ คลื่นไฟฟ้าหัวใจ ที่เก็บเข้ามาได้ จะเห็นได้ว่าจำนวนข้อมูลใหม่มีจำนวนที่ลดลงครึ่งหนึ่ง

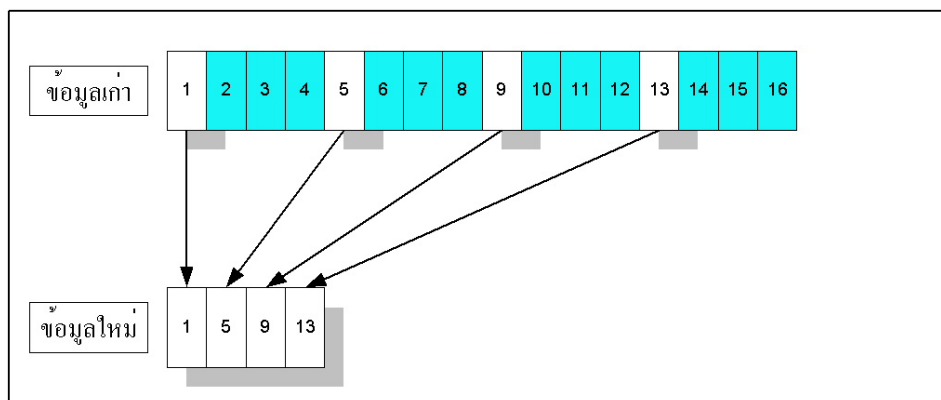
```

%----- (Compression) DECIMATION-----%
- w=size (we) ;
- nnn=1;
- for n=1:4:w(2) ;   %(Compression 4)
-   x (nnn) =we (n) ;
-   nnn=nnn+1;
- end

```

ภาพที่ 3-5 การออกแบบบนโปรแกรม Matlab ในส่วนการลดข้อมูล 4 เท่า

ในภาพที่ 3-5 จะเป็นการลดข้อมูล 4 เท่า โดยโปรแกรมจะทำการเก็บข้อมูล ค่าที่ 1 ไปไว้ในค่าตัวแปรใหม่ แล้วเว้นข้อมูลเก่าในค่าที่ 2-4 ไปเก็บข้อมูลตัวที่ 5 ของข้อมูลเก่ามาไว้ในลำดับที่ 2 ของตัวแปรใหม่ แล้วทำอย่างนี้จนหมดข้อมูล ซึ่งจำนวนข้อมูลในตัวแปรใหม่จะมีจำนวนน้อยกว่าข้อมูลเก่า 4 เท่า



ภาพที่ 3-6 ลักษณะการเก็บข้อมูลของการลดข้อมูลจำนวน 4 เท่า

ในภาพที่ 3-6 แสดงให้เห็นถึงลักษณะการเก็บข้อมูลของการลดข้อมูล 4 เท่าโดยค่าของข้อมูลแต่ละค่า คือลำดับค่าของสัญญาณ คลื่นไฟฟ้าหัวใจ ที่เก็บเข้ามาได้ จะเห็นได้ว่าจำนวนข้อมูลใหม่มีจำนวนที่ลดลง 4 เท่า

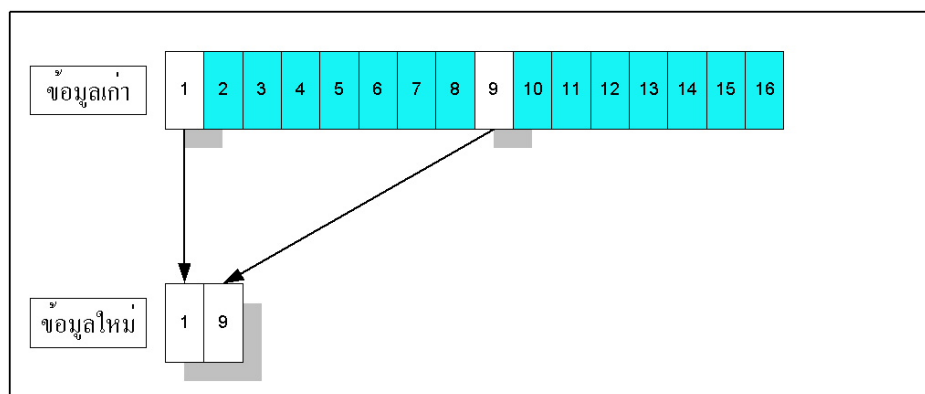
```

%----- (Compression) DECIMATION-----%
- w=size (we) ;
- nnn=1;
- for n=1:8:w(2);   % (Compression 8)
-   x (nnn) =we (n) ;
-   nnn=nnn+1;
- end

```

ภาพที่ 3-7 การออกแบบบนโปรแกรม Matlab ในส่วนการลดข้อมูล 8 เท่า

ในภาพที่ 3-7 จะเป็นการลดข้อมูล 8 เท่า โดยโปรแกรมจะทำการเก็บข้อมูล ค่าที่ 1 ไปไว้ในค่าตัวแปรใหม่ แล้วเว้นข้อมูลเก่าในค่าที่ 2-8 ไปเก็บข้อมูลตัวที่ 9 ของข้อมูลเก่ามาไว้ในลำดับที่ 2



ภาพที่ 3-8 ลักษณะการเก็บข้อมูลของการลดข้อมูลจำนวน 8 เท่า

ในภาพที่ 3-8 แสดงให้เห็นถึงลักษณะการเก็บข้อมูลของการลดข้อมูล 8 เท่าโดยค่าของข้อมูลแต่ละค่า คือลำดับค่าของสัญญาณ คลื่นไฟฟ้าหัวใจ ที่เก็บเข้ามาได้ จะเห็นได้ว่าจำนวนข้อมูลใหม่มีจำนวนที่ลดลง 8 เท่า

จะเห็นได้ว่าปริมาณข้อมูลใหม่ที่ได้มีปริมาณที่น้อยกว่าข้อมูลเก่า ซึ่งในจุดนี้คือข้อมูลที่นำเอาไปใช้ประโยชน์ เช่น การบันทึกในหน่วยความจำ การส่งข้อมูลระยะไกล เป็นต้น

3.2.3 การเพิ่มข้อมูลด้วยโปรแกรม Matlab

หลังจากสามารถลดขนาดข้อมูลของสัญญาณ คลื่นไฟฟ้าหัวใจ ได้แล้ว การคืนค่าเดิมให้สัญญาณ คลื่นไฟฟ้าหัวใจ โดยที่ให้ปริมาณข้อมูลและคงค่าเดิมของสัญญาณไว้ เป็นสิ่งสำคัญมาก เพราะว่าการผิดเพี้ยนของสัญญาณ คลื่นไฟฟ้าหัวใจ ในปริมาณที่มาก ย่อมทำให้การอ่านค่าของสัญญาณ คลื่นไฟฟ้าหัวใจ ผิดเพี้ยนไปด้วย ในส่วนนี้จะแสดงการออกแบบการเพิ่มข้อมูลของสัญญาณ คลื่นไฟฟ้าหัวใจ ให้ปริมาณเท่ากับสัญญาณ คลื่นไฟฟ้าหัวใจ เดิม โดยจะนำค่า 0 ไปใส่แทรกระหว่างข้อมูลใหม่โดยจะแทน 0 เข้าไปในปริมาณที่เท่ากับจำนวนที่ลดขนาด ส่วนการออกแบบการคืนค่าเดิมให้กับสัญญาณ คลื่นไฟฟ้าหัวใจ นั้นจะกล่าวในหัวข้อถัดไป

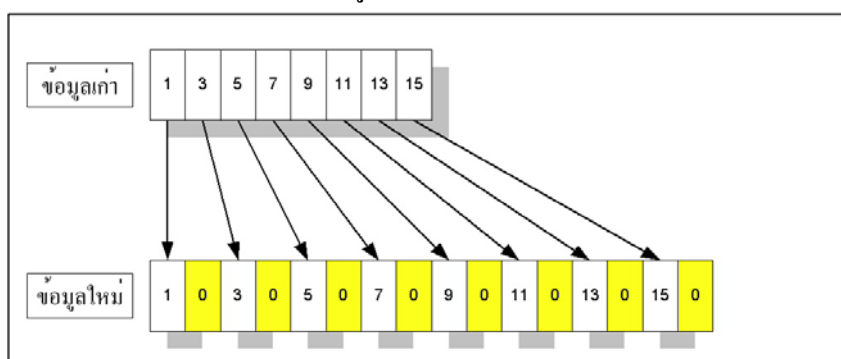
```

%----- (Decompression) INTERPOLATION-----%
- y=we()*0;
- uu = size(x);
- nnn=1;
- for n=1:1:uu(2);
-     y(nnn) = x(n);
-     nnn=nnn+2;
- end

```

ภาพที่ 3-9 การออกแบบบนโปรแกรม Matlab ในส่วนการเพิ่มข้อมูล 2 เท่า

ในภาพที่ 3-9 แสดงการออกแบบการเพิ่มปริมาณข้อมูลบนโปรแกรม Matlab โดยโปรแกรมจะทำการแทรกค่า 0 ระหว่างข้อมูลของค่าเดิม ในโปรแกรมนี้เป็นการเพิ่มข้อมูล 2 เท่า



ภาพที่ 3-10 ลักษณะการแทรก 0 ของการเพิ่มข้อมูลจำนวน 2 เท่า

จากภาพที่ 3-10 จะเห็นได้ว่าผลของการแทรก 0 เข้าไประหว่างข้อมูลเก่าทำให้ปริมาณของข้อมูลเพิ่มขึ้น เป็น 2 เท่า

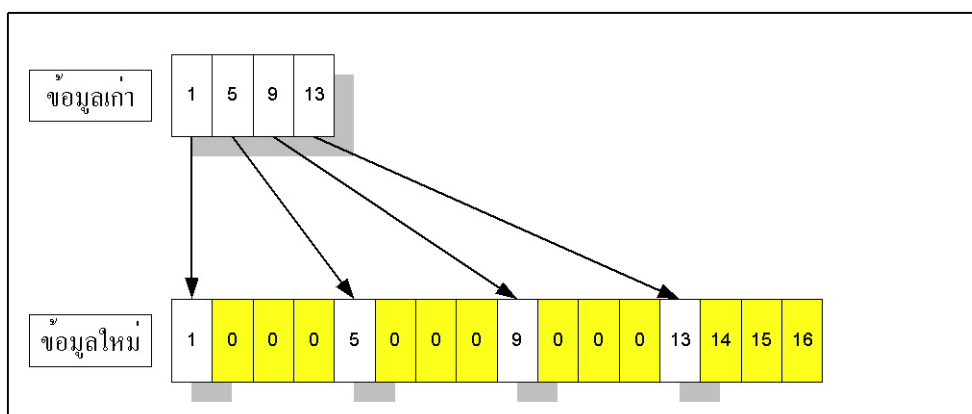
```

%----- (Decompression) INTERPOLATION -----%
- y=we()*0;
- uu = size(we);
- nnn=1;
- for n=1:4:uu(2);
-     y(nnn) = we(n);
-     nnn=nnn+4;
- end

```

ภาพที่ 3-11 การออกแบบบนโปรแกรม Matlab ในส่วนการเพิ่มข้อมูล 4 เท่า

ในภาพที่ 3-11 แสดงการออกแบบการเพิ่มปริมาณข้อมูลบนโปรแกรม Matlab โดยโปรแกรมจะทำการแทรกค่า 0 ระหว่างข้อมูลของค่าเดิม ในโปรแกรมนี้เป็นการเพิ่มข้อมูล 4 เท่า



ภาพที่ 3-12 ลักษณะการแทรก 0 ของการเพิ่มข้อมูลจำนวน 4 เท่า

จากภาพที่ 3-12 ผลของการแทรก 0 เข้าไประหว่างข้อมูลเก่าทำให้ปริมาณของข้อมูลเพิ่มขึ้น เป็น 4 เท่า

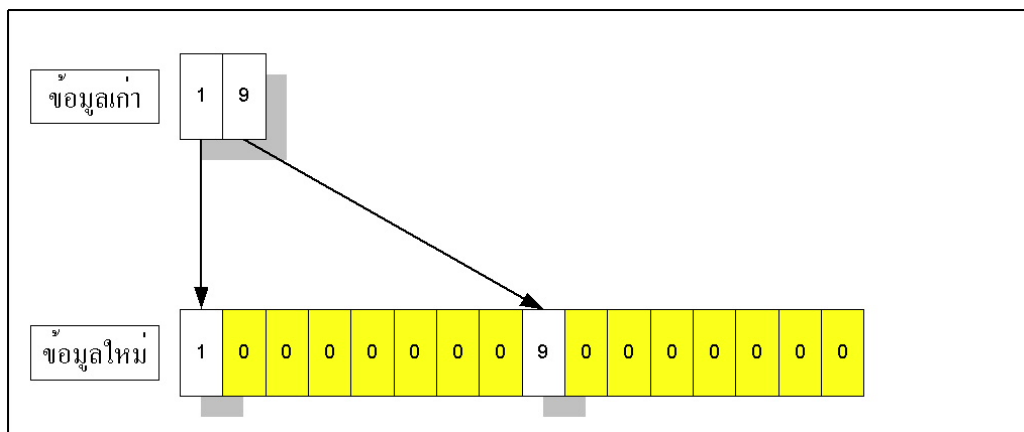
```

%----- (Decompression) INTERPOLATION -----%
- y=we()*0;
- uu = size(we);
- nnn=1;
- for n=1:8:uu(2);
-     y(nnn) = we(n);
-     nnn=nnn+8;
- end

```

ภาพที่ 3-13 การออกแบบบนโปรแกรม Matlab ในส่วนการเพิ่มข้อมูล 8 เท่า

ในภาพที่ 3-13 แสดงการออกแบบการเพิ่มปริมาณข้อมูลบนโปรแกรม Matlab โดยโปรแกรม จะทำการแทรกค่า 0 ระหว่างข้อมูลของค่าเดิม ในโปรแกรมนี้เป็นการเพิ่มข้อมูล 8 เท่า



ภาพที่ 3-14 ลักษณะการแทรก 0 ของการเพิ่มข้อมูลจำนวน 8 เท่า

จากภาพที่ 3-14 ผลของการแทรก 0 เข้าไประหว่างข้อมูลเก่าทำให้ปริมาณของข้อมูลเพิ่มขึ้น เป็น 8 เท่า

เมื่อเพิ่มปริมาณข้อมูลของสัญญาณ คลื่นไฟฟ้าหัวใจ ให้มีขนาดกลับไปเท่าสัญญาณเดิม แต่ สัญญาณที่ได้นั้นยังเป็นสัญญาณที่ไม่ถูกต้องเพราะว่าค่าที่เพิ่มเข้าปานั้นเป็นค่า 0 ค่าสัญญาณที่ได้ ในตอนนี้จึงยังเป็นค่าสัญญาณที่ผิดเพี้ยน

3.2.4 การสร้างสัญญาณกลับด้วยโปรแกรม Matlab

หลังจากที่ได้สัญญาณ คลื่นไฟฟ้าหัวใจ ที่มีขนาดของสัญญาณเท่าเดิมกับสัญญาณ คลื่น ไฟฟ้าหัวใจ ก่อนที่จะถูกลดขนาดแล้ว แต่ยังเป็นค่าสัญญาณที่ไม่ถูกต้อง ในการพยากรณ์ค่า สัญญาณ คลื่นไฟฟ้าหัวใจ คืนให้มีค่าที่ถูกต้อง ในที่นี้จะใช้ ทฤษฎีของ ฟังก์ชันพหุนามของลากรองจ์ (Lagrange Interpolation Polynomials) โดยจะใช้วิธีการประมาณค่าแบบกำลังสอง โดยจะใช้ สมการที่ 2-23 ถึง 2-26 ในบทที่ 2 ในการพยากรณ์ค่าสัญญาณ คลื่นไฟฟ้าหัวใจ ในการใช้วิธีการ ประมาณค่ากำลังสอง เพื่อที่จะหาค่ากลางระหว่างข้อมูล ตำแหน่งที่ 1 และตำแหน่งที่ 2 จำเป็นที่ จะต้องใช้ข้อมูลในตำแหน่งที่ 3 ด้วยในการคำนวณ ดังนั้นเมื่อถึงตำแหน่งข้อมูลสองหลักสุดท้ายจึง ไม่สามารถคำนวณค่าได้ ทำให้จำเป็นที่จะต้องเสียข้อมูลในช่วงสุดท้ายไป

3.2.4.1 การคำนวณเพื่อหาค่ามาใส่ในสมการของข้อมูลที่เพิ่มขึ้น 2 เท่า

จากสมการที่ 2-23 จะต้องหาค่า $L_0(x)$, $L_1(x)$, $L_2(x)$ มาใส่ในสมการโดยสามารถหาค่า $L_0(x)$, $L_1(x)$, $L_2(x)$ ได้จากสมการที่ 2-24 ถึง 2-26

หาค่า $L_0(x)$ จากสมการที่ 2-24

โดยให้ค่า $x_0 = 1, x_1 = 3, x_2 = 5$

เมื่อแทนค่าตัวแปรในสมการที่ 2-24 จะได้

$$L_0(x) = \frac{(5-x)(3-x)}{(5-1)(3-1)} = \frac{(5-x)(3-x)}{8} \quad (3-1)$$

หาค่า $L_1(x)$ จากสมการที่ 2-25

โดยให้ค่า $x_0 = 1, x_1 = 3, x_2 = 5$

เมื่อแทนค่าตัวแปรในสมการที่ 2-25 จะได้

$$L_1(x) = \frac{(5-x)(1-x)}{(5-3)(1-3)} = \frac{(5-x)(1-x)}{-4} \quad (3-2)$$

หาค่า $L_2(x)$ จากสมการที่ 2-26

โดยให้ค่า $x_0 = 1, x_1 = 3, x_2 = 5$

เมื่อแทนค่าตัวแปรในสมการที่ 2-26 จะได้

$$L_2(x) = \frac{(3-x)(1-x)}{(3-5)(1-5)} = \frac{(3-x)(1-x)}{8} \quad (3-3)$$

เมื่อแทนค่า $x = 2$ ในสมการ (3-1) ถึง (3-3) จะได้

$$L_0(2) = 0.375, L_1(2) = 0.75, L_2(2) = -0.125$$

นำค่าที่ได้ไปแทนในสมการ 2-23 จะได้

$$f(2) = (0.375f(x_0)) + (0.75f(x_1)) + (-0.125f(x_2)) \quad (3-4)$$

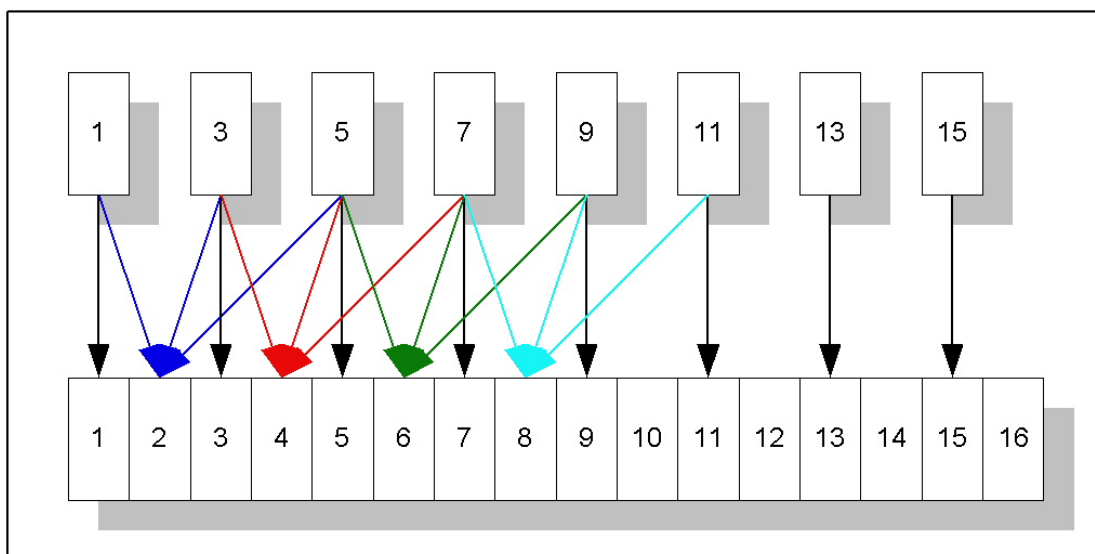
นำสมการที่ (3-4) ไปใช้ในโปรแกรม Matlab ดังแสดงในภาพที่ 3-15

```

%-----LAGRANGE-----
f = [0 0 0];
l1 = size(y);
nnn=1;yy=0;
for n = 1:2:(l1(2)-4);
    f(1)=y(nnn);
    nnn=nnn+1; nnn=nnn+1;
    f(2)=y(nnn);
    nnn=nnn+1; nnn=nnn+1;
    f(3)=y(nnn);
    yy = ((0.375*f(1))+(0.75*f(2))+(-0.125*f(3)));
    nnn=nnn-1; nnn=nnn-1; nnn=nnn-1;
    y(nnn)=yy; nnn=nnn+1;
end

```

ภาพที่ 3-15 โปรแกรม Matlab ในส่วน Lagrange ของการเพิ่มข้อมูล 2 เท่า



ภาพที่ 3-16 การใช้ข้อมูลของการคำนวณหาค่าที่แทรกข้อมูลเข้าไป 2 เท่า

ภาพที่ 3-16 แสดงให้เห็นถึงการนำข้อมูลที่ถูกลดขนาดแล้วมาหาค่าเฉลี่ยโดยใช้การประมาณค่ากำลังสองของฟังก์ชันพหุนามของลากรองจ์ จากภาพ 3-16 การคำนวณหาค่าในช่องที่ 2 จะต้องใช้ข้อมูล ที่ 1, 3 และ 5 เป็นต้น

3.2.4.2 การคำนวณเพื่อหาค่ามาใส่ในสมการของข้อมูลที่เพิ่มขึ้น 4 เท่า

การคำนวณหาค่ามาใส่ในสมการของข้อมูลที่เพิ่มขึ้น 4 เท่านี้ จะกระทำเหมือนกับการคำนวณแบบ 2 เท่า แต่จะต้องเพิ่มสมการเข้าไปในส่วนโปรแกรม Matlab อีกเป็น 3 สมการ สามารถคำนวณหาได้ดังนี้

เมื่อ ค่า $x_0 = 1, x_1 = 5, x_2 = 9$ นำไปแทนค่าในสมการที่ 2-24 ถึง 2-26 จะได้ค่าดังนี้

$$L_0(x) = \frac{(9-x)(5-x)}{(9-1)(5-1)} = \frac{(9-x)(5-x)}{32} \quad (3-5)$$

$$L_1(x) = \frac{(9-x)(1-x)}{(9-5)(1-5)} = \frac{(9-x)(1-x)}{-16} \quad (3-6)$$

$$L_2(x) = \frac{(5-x)(1-x)}{(5-9)(1-9)} = \frac{(5-x)(1-x)}{32} \quad (3-7)$$

จากนั้นแทนค่า $x = 2, x = 3, x = 4$ แล้วนำไปเขียนให้อยู่ในรูปของสมการที่ 2-23 จะได้

$$f(2) = (0.65625f(x_0)) + (0.4375f(x_1)) + (-0.09375f(x_2)) \quad (3-8)$$

$$f(3) = (0.375f(x_0)) + (0.75f(x_1)) + (-0.125f(x_2)) \quad (3-9)$$

$$f(4) = (0.15625f(x_0)) + (0.9375f(x_1)) + (-0.09375f(x_2)) \quad (3-10)$$

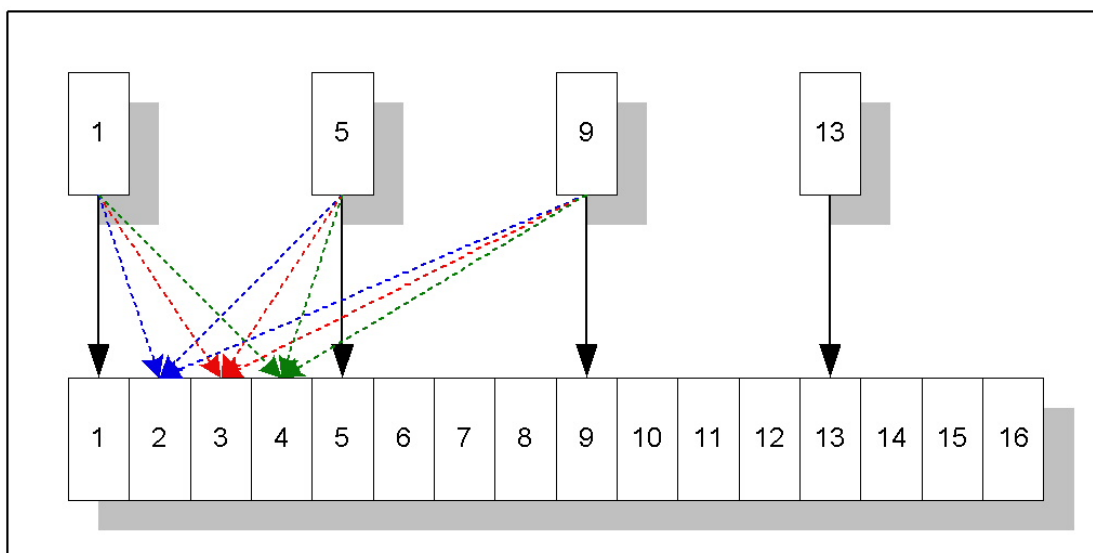
นำสมการที่ (3-8) ถึง (3-10) ไปใช้ในโปรแกรม Matlab ดังแสดงในภาพที่ 3-17

```

%-----LAGRANGE-----
- f = [0 0 0];
- ll = size(y);
- nnn=1;yy =0;yy1=0;yy2=0;
- for n = 1:4:(ll(2)-8);
-     f(1)=y(nnn);
-     nnn=nnn+1; nnn=nnn+1; nnn=nnn+1; nnn=nnn+1;
-     f(2)=y(nnn);
-     nnn=nnn+1; nnn=nnn+1; nnn=nnn+1; nnn=nnn+1;
-     f(3)=y(nnn);
-     yy = ((0.65625*f(1))+(0.4375*f(2))+(-0.09375*f(3)));
-     yy1 = ((0.375*f(1))+(0.75*f(2))+(-0.125*f(3)));
-     yy2 = ((0.15625*f(1))+(0.9375*f(2))+(-0.09375*f(3)));
-     nnn=nnn-1; nnn=nnn-1; nnn=nnn-1; nnn=nnn-1;
-     nnn=nnn-1; nnn=nnn-1; nnn=nnn-1;
-     y(nnn)=yy; nnn=nnn+1;
-     y(nnn)=yy1; nnn=nnn+1;
-     y(nnn)=yy2; nnn=nnn+1;
- end

```

ภาพที่ 3-17 โปรแกรม Matlab ในส่วน Lagrange ของการเพิ่มข้อมูล 4 เท่า



ภาพที่ 3-18 การใช้ข้อมูลของการคำนวณหาค่าที่แทรกข้อมูลเข้าไป 4 เท่า

3.2.4.3 การคำนวณเพื่อหาค่ามาใส่ในสมการของข้อมูลที่เพิ่มขึ้น 8 เท่า

การคำนวณทำแบบเดียวกับ 2 หัวข้อที่ผ่านมา แต่เพิ่มสมการเข้าไปเป็น 7 สมการ สามารถคำนวณหาได้ดังนี้

เมื่อ ค่า $x_0 = 1, x_1 = 9, x_2 = 17$ นำไปแทนค่าในสมการที่ 2-24 ถึง 2-26 จะได้ค่าดังนี้

$$L_0(x) = \frac{(17-x)(9-x)}{(17-1)(9-1)} = \frac{(17-x)(9-x)}{128} \quad (3-11)$$

$$L_1(x) = \frac{(17-x)(1-x)}{(17-9)(1-9)} = \frac{(17-x)(1-x)}{-64} \quad (3-12)$$

$$L_2(x) = \frac{(9-x)(1-x)}{(9-17)(1-17)} = \frac{(9-x)(1-x)}{128} \quad (3-13)$$

จากนั้นแทนค่า $x = 2, x = 3, x = 4, x = 5, x = 6, x = 7, x = 8$ แล้วนำไปเขียนให้อยู่ในรูปของสมการที่ 2-23 จะได้

$$f(2) = (0.8203125 f(x_0)) + (0.234375 f(x_1)) + (-0.0546875 f(x_2)) \quad (3-14)$$

$$f(3) = (0.65625 f(x_0)) + (0.4375 f(x_1)) + (-0.09375 f(x_2)) \quad (3-15)$$

$$f(4) = (0.5078125 f(x_0)) + (0.609375 f(x_1)) + (-0.1171875 f(x_2)) \quad (3-16)$$

$$f(5) = (0.375 f(x_0)) + (0.75 f(x_1)) + (-0.125 f(x_2)) \quad (3-18)$$

$$f(6) = (0.2578125 f(x_0)) + (0.859375 f(x_1)) + (-0.1171875 f(x_2)) \quad (3-19)$$

$$f(7) = (0.15625 f(x_0)) + (0.9375 f(x_1)) + (-0.09375 f(x_2)) \quad (3-20)$$

$$f(8) = (0.0703125 f(x_0)) + (0.984375 f(x_1)) + (-0.0546875 f(x_2)) \quad (3-21)$$

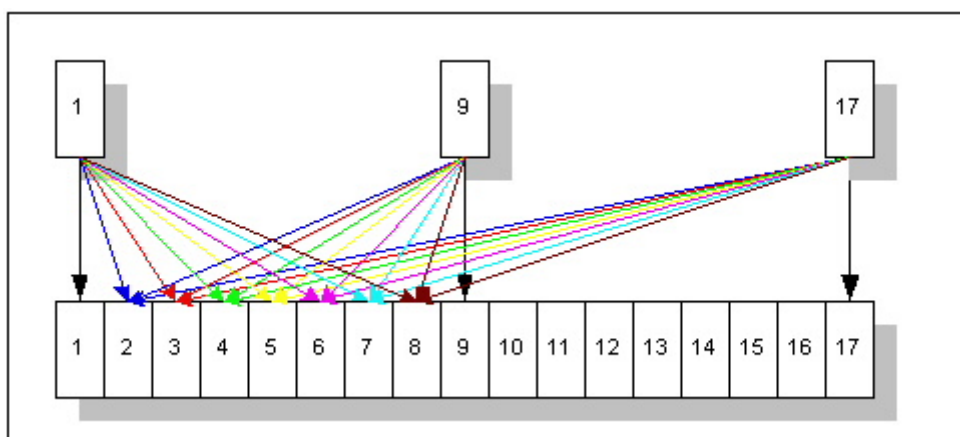
นำสมการที่ (3-14) ถึง (3-21) ไปใช้ในโปรแกรม Matlab ดังแสดงในภาพที่ 3-19

```

%-----LAGRANGE-----
f = [0 0 0];
ll = size(y);
nnn=1;
yy =0;yy1=0;yy2=0;yy4=0;yy5=0;yy6=0;
for n = 1:8:(ll(2)-18);
    f(1)=y(nnn);
    nnn=nnn+1; nnn=nnn+1; nnn=nnn+1; nnn=nnn+1;
    nnn=nnn+1; nnn=nnn+1; nnn=nnn+1; nnn=nnn+1;
    f(2)=y(nnn);
    nnn=nnn+1; nnn=nnn+1; nnn=nnn+1; nnn=nnn+1;
    nnn=nnn+1; nnn=nnn+1; nnn=nnn+1; nnn=nnn+1;
    f(3)=y(nnn);
    yy = ((0.8203125*f(1))+(0.234375*f(2))+(-0.0546875*f(3)));
    yy1 = ((0.65625*f(1))+(0.4375*f(2))+(-0.09375*f(3)));
    yy2 = ((0.5078125*f(1))+(0.609375*f(2))+(-0.1171875*f(3)));
    yy3 = ((0.375*f(1))+(0.75*f(2))+(-0.125*f(3)));
    yy4 = ((0.2578125*f(1))+(0.859375*f(2))+(-0.1171875*f(3)));
    yy5 = ((0.15625*f(1))+(0.9375*f(2))+(-0.09375*f(3)));
    yy6 = ((0.0703125*f(1))+(0.984375*f(2))+(-0.0546875*f(3)));
    nnn=nnn-1; nnn=nnn-1; nnn=nnn-1; nnn=nnn-1;
    nnn=nnn-1; nnn=nnn-1; nnn=nnn-1; nnn=nnn-1;
    nnn=nnn-1; nnn=nnn-1; nnn=nnn-1; nnn=nnn-1;
    nnn=nnn-1; nnn=nnn-1; nnn=nnn-1;
    y(nnn)=yy; nnn=nnn+1;
    y(nnn)=yy1; nnn=nnn+1;
    y(nnn)=yy2; nnn=nnn+1;
    y(nnn)=yy3; nnn=nnn+1;
    y(nnn)=yy4; nnn=nnn+1;
    y(nnn)=yy5; nnn=nnn+1;
    y(nnn)=yy6; nnn=nnn+1;
end
%-----

```

ภาพที่ 3-19 โปรแกรม Matlab ในส่วน Lagrange ของการเพิ่มข้อมูล 8 เท่า



ภาพที่ 3-20 การใช้ข้อมูลของการคำนวณหาค่าที่แทรกข้อมูลเข้าไป 8 เท่า

3.2.5 การหาค่า (Percent Root mean square Different: PRD) บนโปรแกรม Matlab

เมื่อได้สัญญาณ คลื่นไฟฟ้าหัวใจ ที่ผ่านการกระบวนการคืนค่ามาแล้ว จะต้องนำสัญญาณที่ได้ มาคำนวณเพื่อค่าผิดพลาดจากค่า คลื่นไฟฟ้าหัวใจ ต้นฉบับ โดยอาศัยสมการที่ (2-29) มาช่วยในการหาค่า โดยนำมาเขียนในโปรแกรม Matlab ได้ดังแสดงในภาพที่ 3-21

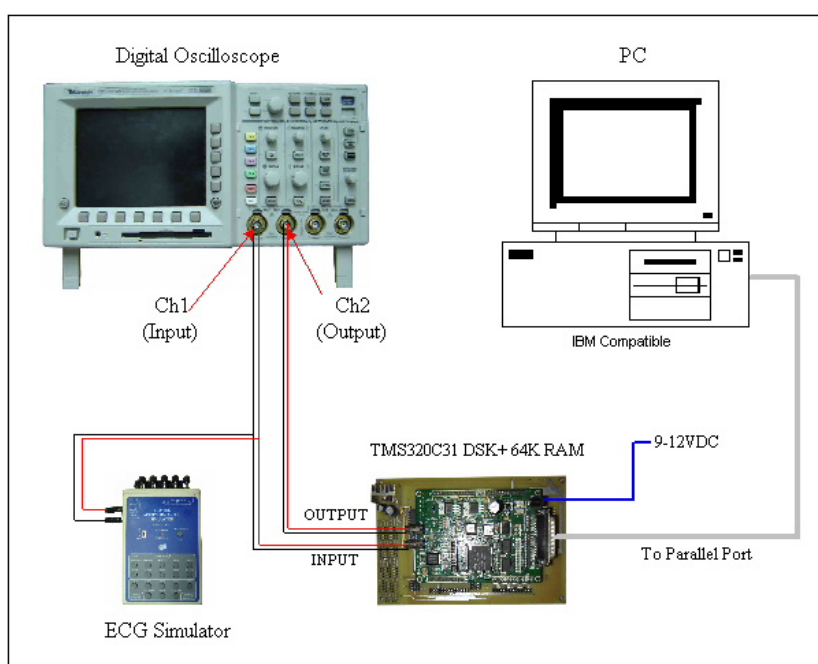
```

%-----PRD-----
- Y1=0;
- YY=0;
- for n=1:1:2995
-     YY = (we(n)-y(n))^2;
-     Y1 = Y1+YY;
- end
- YY=0;
- Y2=0;
- for n=1:1:2998
-     YY = we(n)^2;
-     Y2 = Y2+YY;
- end
- Y3 = sqrt(Y1/Y2);
- PRD = (Y3*100)
%-----

```

ภาพที่ 3-21 การหาค่า PRD ของสัญญาณ คลื่นไฟฟ้าหัวใจ บนโปรแกรม Matlab

3.3 การสร้างจริงบนบอร์ดประมวลผลสัญญาณดิจิทัล TMS320C31



ภาพที่ 3-22 ลักษณะการต่อการทดลองจริงบนบอร์ด TMS320C31 DSK

จากภาพที่ 3-22 สัญญาณคลื่นไฟฟ้าหัวใจจากเครื่อง จำลองคลื่นไฟฟ้าหัวใจ จะถูกป้อนเข้าทางช่องสัญญาณ อินพุต ของบอร์ดประมวลผลสัญญาณดิจิทัล TMS320C31 DSK และจะแสดงผลของสัญญาณโดยต่อเข้ากับ Digital Oscilloscope ทางช่องรับสัญญาณที่ 1 เมื่อบอร์ด TMS320C31 DSK รับสัญญาณคลื่นไฟฟ้าเข้ามาแล้ว จะนำสัญญาณเข้ามาประมวลผลโดยคำสั่งในการประมวลผลจะรับมาจากเครื่องคอมพิวเตอร์ ผ่านพอร์ตขนาน (Parallel Port) สัญญาณคลื่นไฟฟ้าหัวใจที่ผ่านการประมวลผลในการลดขนาดสัญญาณแล้วจะถูกนำไปเก็บที่หน่วยความจำภายนอก ในชุดที่ 1 หลังจากนั้นจะนำสัญญาณที่ถูกเก็บในหน่วยความจำชุดที่ 1 มาทำการประมวลผลอีกครั้งในการคืนค่าสัญญาณให้กับคลื่นไฟฟ้าหัวใจ จากนั้นจะนำผลของการประมวลผลที่ได้ไปเก็บในหน่วยความจำชุดที่ 2 และจะส่งผลของสัญญาณที่ได้ออกทางช่องสัญญาณ เอาท์พุต ของบอร์ด TMS320C31 และนำผลที่ได้ไปแสดงโดยจะต่อกับ Digital Oscilloscope ทางช่องรับสัญญาณที่ 2

3.4 การประเมินระบบ

ในการประเมินระบบของการทดลองในวิทยานิพนธ์นี้ จะดูที่ผลของค่าความผิดพลาดของคลื่นไฟฟ้าหัวใจ ที่ผ่านขั้นตอนการบีบอัดและขยายสัญญาณกลับคืนมา นำเอามาเปรียบเทียบกับสัญญาณก่อนที่ผ่านระบบ โดยจะดูว่าค่าความผิดพลาดของระบบ ค่า (PRD) เกิน 5% หรือไม่ ถ้าค่าความผิดพลาดของรูปคลื่นไฟฟ้าหัวใจผิดพลาดไม่เกิน 5% แสดงว่าระบบที่ออกแบบมาสามารถใช้งานได้ โดยที่ค่า (PRD) เป็นค่าที่ใช้ในการหาความผิดพลาดของการประมวลผลคลื่นไฟฟ้าหัวใจ ซึ่งค่าความผิดพลาดที่แพทย์ยอมรับได้นั้นจะอยู่ที่ค่า (PRD) ไม่เกิน 5%

3.5 การเปรียบเทียบผลการทดลอง

การเปรียบเทียบผลการทดลองจะเป็นการเปรียบเทียบกัน ของค่าความผิดพลาดระหว่างการจำลองการทำงานบนโปรแกรม Matlab กับ ผลความผิดพลาดของการทดลองสร้างจริงบนบอร์ดประมวลผลสัญญาณดิจิทัล TMS320C31 ที่ใช้ความถี่ในการสุ่มสัญญาณที่ 600 Hz และ 1200 Hz ดูว่าผลของการจำลองการทำงานกับผลของการสร้างจริงมีความแตกต่างกันอย่างไร

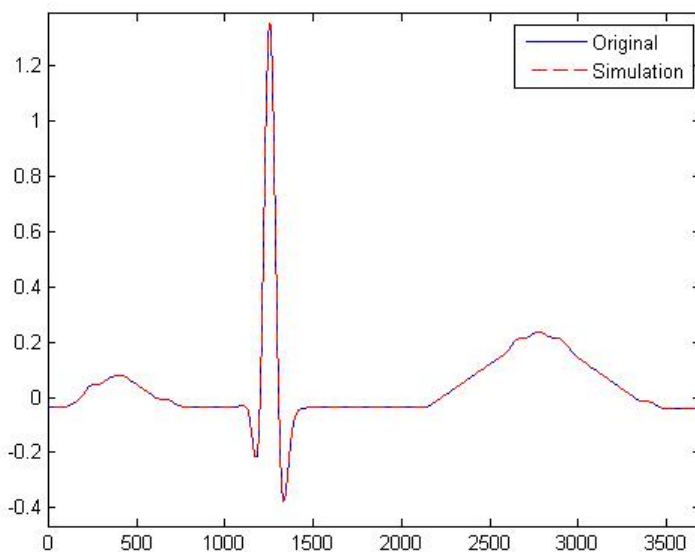
บทที่ 4

การทดลองและผลการทดลอง

การทดลองจะแบ่งออกเป็น 2 ส่วน คือในส่วนแรกคือส่วนของการจำลองการทำงานของระบบบนโปรแกรม Matlab ในส่วนนี้จะนำสัญญาณคลื่นไฟฟ้าที่เก็บจากเครื่องจำลองคลื่นไฟฟ้าหัวใจที่อัตราการเต้น 30, 60, และ 120 ครั้งต่อนาที มาทำการประมวลผลโดยจะนำสัญญาณคลื่นไฟฟ้าหัวใจ 1 ลูกคลื่น มาทำการประมวลผลระบบบีบอัดและขยายคลื่นไฟฟ้าหัวใจที่ได้ทำการออกแบบไว้โดย จะสั่งให้โปรแกรมแสดงผลออกมาเป็นกราฟคลื่นไฟฟ้าหัวใจและกราฟแสดงค่าผิดพลาด เพื่อแสดงความผิดพลาดของการสัญญาณกลับ และให้โปรแกรมทำการคำนวณค่าเปอร์เซ็นต์ความผิดพลาด (PRD) ออกมาเป็นค่าตัวเลข ในส่วนที่สองคือส่วนของการนำระบบไปทำการสร้างจริงบนบอร์ดประมวลผลสัญญาณดิจิทัล TMS320C31 DSK โดยการทดลองในส่วนนี้จะทำการตั้งอัตราการสุ่มของบอร์ดประมวลผลสัญญาณดิจิทัลที่ 600 Hz และ 1200 Hz และใช้อัตราการเต้นของหัวใจของเครื่องจำลองคลื่นไฟฟ้าหัวใจ เท่ากับที่ใช้ในการจำลองการทำงานบนโปรแกรม Matlab คือ 30, 60 และ 120 ครั้งต่อนาที เช่นกัน แล้วจะนำสัญญาณคลื่นไฟฟ้าหัวใจที่ผ่านการประมวลผลแล้ว และสัญญาณคลื่นไฟฟ้าหัวใจต้นฉบับมาทำการคำนวณเพื่อหาค่าเปอร์เซ็นต์ความผิดพลาด เพื่อนำมาเปรียบเทียบผลกับการจำลองการทำงานของระบบบนโปรแกรม Matlab

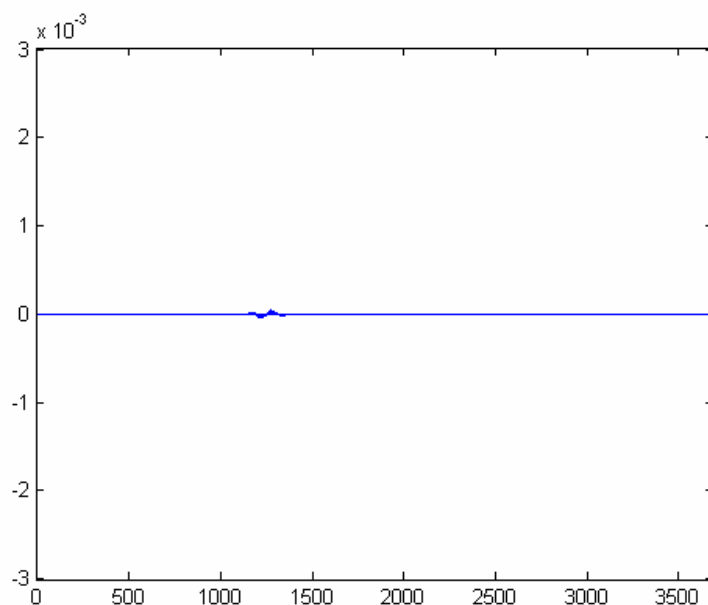
4.1 ผลการจำลองการประมวลผลด้วยโปรแกรม Matlab

4.1.1 อัตราการเต้นของหัวใจที่ 30 ครั้งต่อนาที



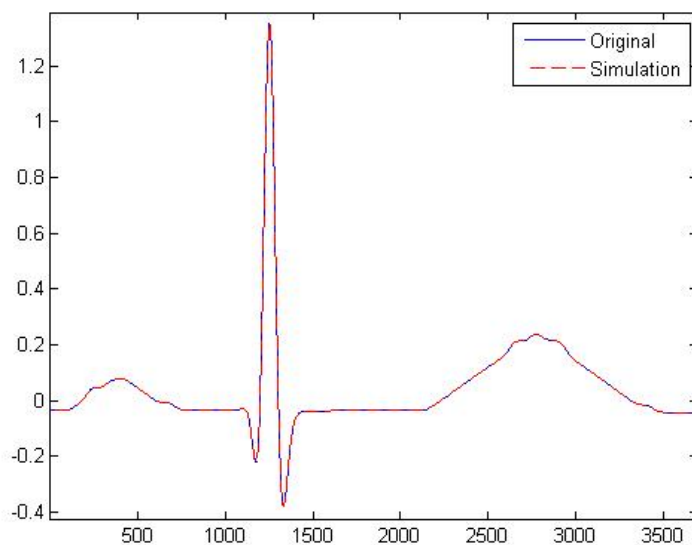
ภาพที่ 4-1 คลื่นไฟฟ้าหัวใจอัตราการเต้น 30 ครั้งต่อนาที ลดขนาดข้อมูล 2 เท่า

ภาพที่ 4-1 แสดงรูปสัญญาณคลื่นไฟฟ้าหัวใจที่อัตรา 30 ครั้งต่อนาที โดยลดขนาดข้อมูลที่ 2 เท่า สัญญาณต้นแบบแสดงเป็นเส้นตรง ส่วนสัญญาณที่ผ่านการลดขนาดข้อมูลแสดงเป็นเส้นปะ



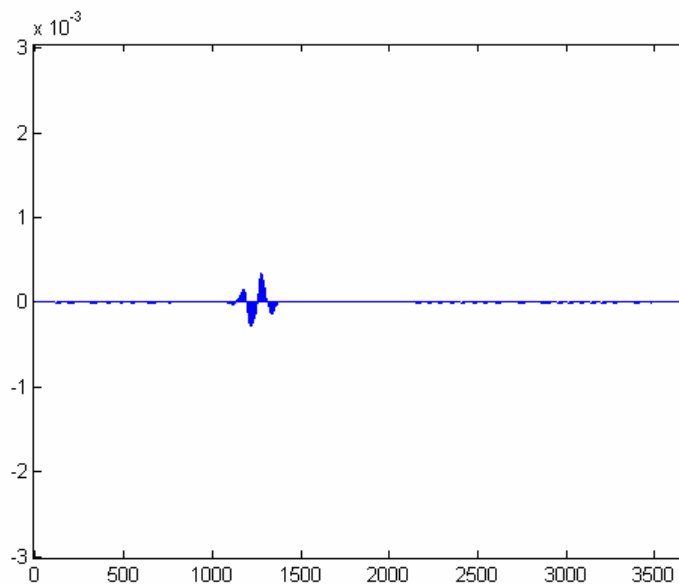
ภาพที่ 4-2 กราฟแสดงความผิดพลาดที่อัตราการเต้น 30 ครั้งต่อนาที ลดขนาดข้อมูล 2 เท่า

ภาพที่ 4-2 แสดงเส้นกราฟความผิดพลาดของคลื่นไฟฟ้าหัวใจก่อนการลดขนาดข้อมูลเทียบกับคลื่นไฟฟ้าหัวใจที่ผ่านการลดขนาดข้อมูล 2 เท่า อัตราการเต้น 30 ครั้งต่อนาที ค่าความผิดพลาดเท่ากับ 0.0021 %



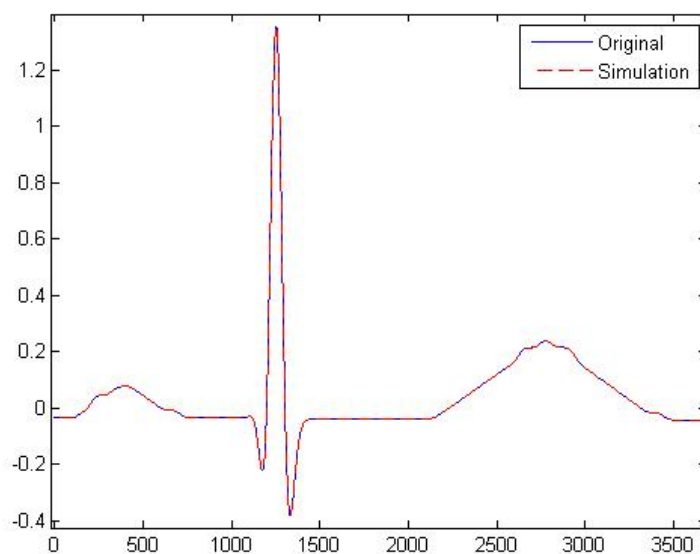
ภาพที่ 4-3 คลื่นไฟฟ้าหัวใจอัตราการเต้น 30 ครั้งต่อนาที ลดขนาดข้อมูล 4 เท่า

ภาพที่ 4-3 แสดงรูปสัญญาณคลื่นไฟฟ้าหัวใจที่อัตรา 30 ครั้งต่อนาที โดยลดขนาดข้อมูลที่ 4 เท่า สัญญาณต้นแบบแสดงเป็นเส้นตรง ส่วนสัญญาณที่ผ่านการลดขนาดข้อมูลแสดงเป็นเส้นปะ



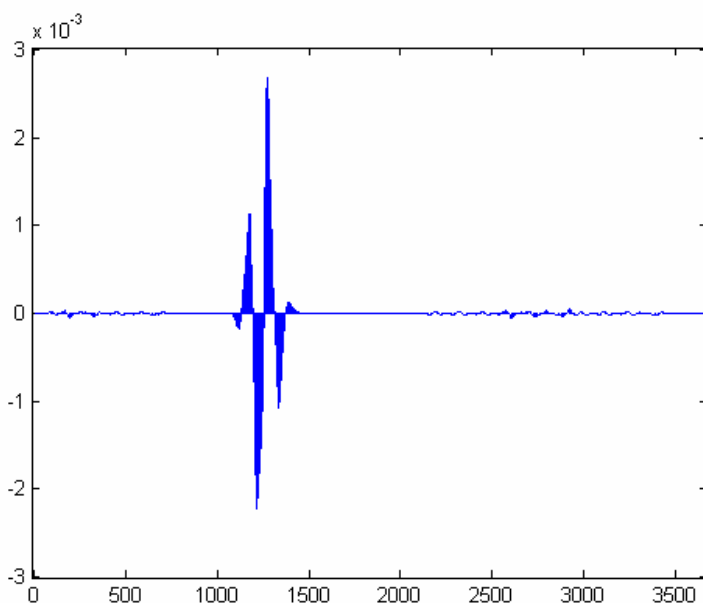
ภาพที่ 4-4 กราฟแสดงความผิดพลาดที่อัตราการเต้น 30 ครั้งต่อนาที ลดขนาดข้อมูล 4 เท่า

ภาพที่ 4-4 แสดงเส้นกราฟความผิดพลาดของคลื่นไฟฟ้าหัวใจก่อนการลดขนาดข้อมูล เทียบกับคลื่นไฟฟ้าหัวใจที่ผ่านการลดขนาดข้อมูล 4 เท่า อัตราการเต้น 30 ครั้งต่อนาที ค่าความผิดพลาดเท่ากับ 0.0170 %



ภาพที่ 4-5 คลื่นไฟฟ้าหัวใจอัตราการเต้น 30 ครั้งต่อนาที ลดขนาดข้อมูล 8 เท่า

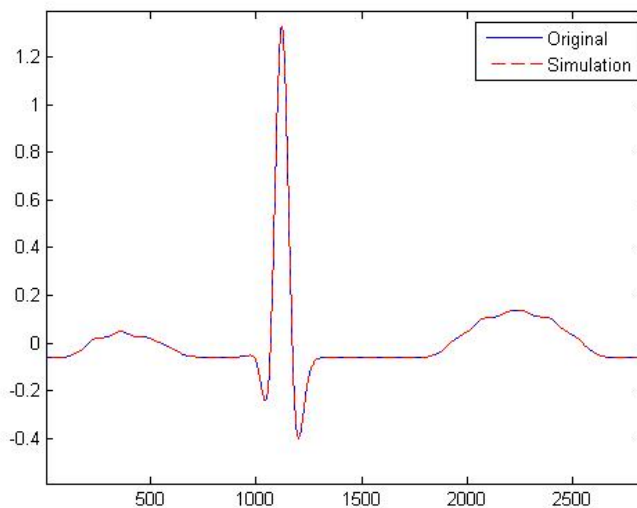
ภาพที่ 4-5 แสดงรูปสัญญาณคลื่นไฟฟ้าหัวใจที่อัตรา 30 ครั้งต่อนาที โดยลดขนาดข้อมูลที่ 8 เท่า สัญญาณต้นแบบแสดงเป็นเส้นตรง ส่วนสัญญาณที่ผ่านการลดขนาดข้อมูลแสดงเป็นเส้นปะ



ภาพที่ 4-6 กราฟแสดงความผิดพลาดที่อัตราการเต้น 30 ครั้งต่อนาที ลดขนาดข้อมูล 8 เท่า

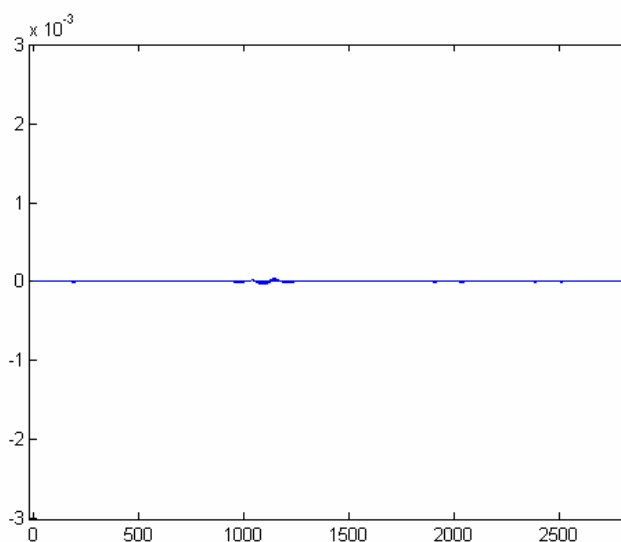
ภาพที่ 4-6 แสดงเส้นกราฟความผิดพลาดของคลื่นไฟฟ้าหัวใจก่อนการลดขนาดข้อมูล เทียบกับคลื่นไฟฟ้าหัวใจที่ผ่านการลดขนาดข้อมูล 8 เท่า อัตราการเต้น 30 ครั้งต่อนาที ค่าความผิดพลาดเท่ากับ 0.1352 %

4.1.2 อัตราการเต้นของหัวใจที่ 60 ครั้งต่อนาที



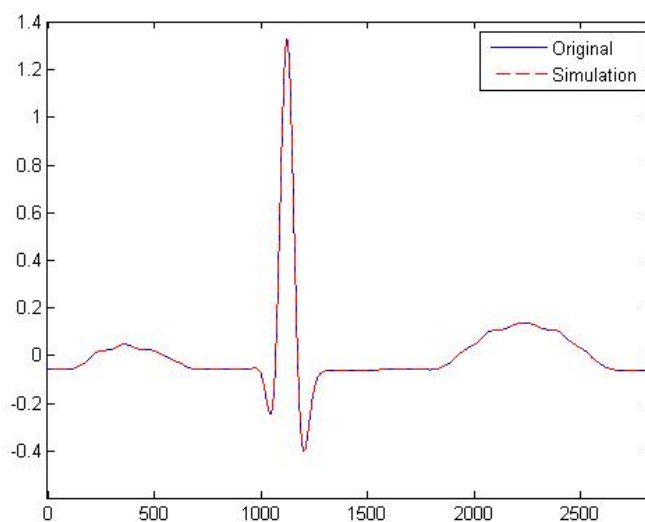
ภาพที่ 4-7 คลื่นไฟฟ้าหัวใจอัตราการเต้น 60 ครั้งต่อนาที ลดขนาดข้อมูล 2 เท่า

ภาพที่ 4-7 แสดงรูปสัญญาณคลื่นไฟฟ้าหัวใจที่อัตรา 60 ครั้งต่อนาที โดยลดขนาดข้อมูล 2 เท่า สัญญาณต้นแบบแสดงเป็นเส้นตรง ส่วนสัญญาณที่ผ่านการลดขนาดข้อมูลแสดงเป็นเส้นปะ



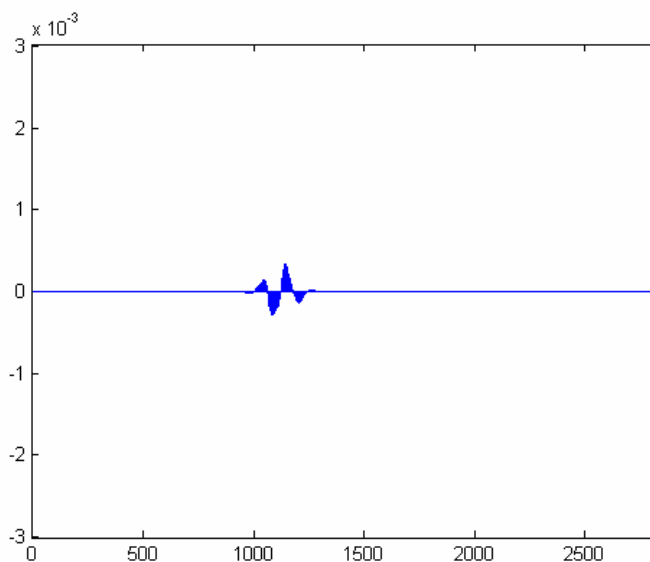
ภาพที่ 4-8 กราฟแสดงความผิดพลาดที่อัตราการเต้น 60 ครั้งต่อนาที ลดขนาดข้อมูล 2 เท่า

ภาพที่ 4-8 แสดงเส้นกราฟความผิดพลาดของคลื่นไฟฟ้าหัวใจก่อนการลดขนาดข้อมูล เทียบกับคลื่นไฟฟ้าหัวใจที่ผ่านการลดขนาดข้อมูล 2 เท่า อัตราการเต้น 60 ครั้งต่อนาที ค่าความผิดพลาดเท่ากับ 0.0022 %



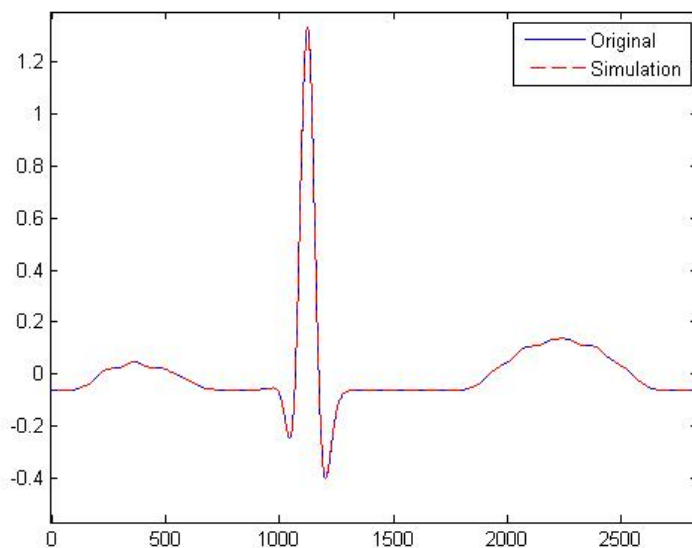
ภาพที่ 4-9 คลื่นไฟฟ้าหัวใจอัตราการเต้น 60 ครั้งต่อนาที ลดขนาดข้อมูล 4 เท่า

ภาพที่ 4-9 แสดงรูปสัญญาณคลื่นไฟฟ้าหัวใจที่อัตรา 60 ครั้งต่อนาที โดยลดขนาดข้อมูล 4 เท่า สัญญาณต้นแบบแสดงเป็นเส้นตรง ส่วนสัญญาณที่ผ่านการลดขนาดข้อมูลแสดงเป็นเส้นปะ



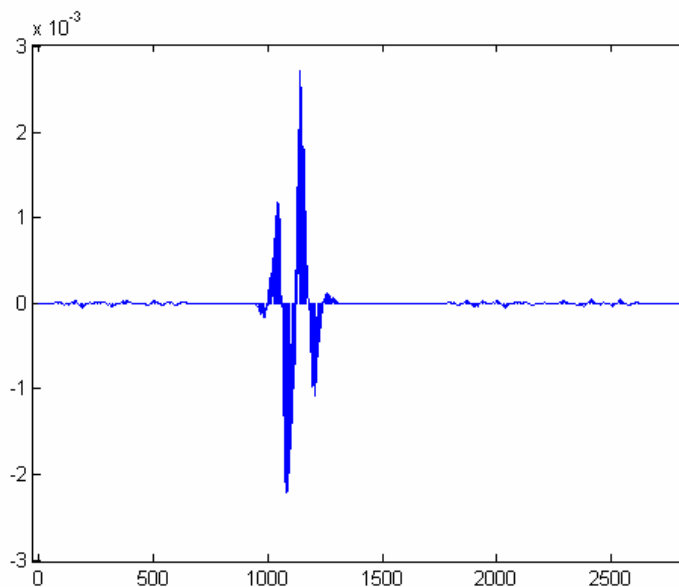
ภาพที่ 4-10 กราฟแสดงความผิดพลาดที่อัตราการเต้น 60 ครั้งต่อนาที ลดขนาด 4 เท่า

ภาพที่ 4-10 แสดงเส้นกราฟความผิดพลาดของคลื่นไฟฟ้าหัวใจก่อนการลดขนาดข้อมูล เทียบกับคลื่นไฟฟ้าหัวใจที่ผ่านการลดขนาดข้อมูล 4 เท่า อัตราการเต้น 60 ครั้งต่อนาที ค่าความผิดพลาดเท่ากับ 0.0185 %



ภาพที่ 4-11 คลื่นไฟฟ้าหัวใจอัตราการเต้น 60 ครั้งต่อนาที ลดขนาด 8 เท่า

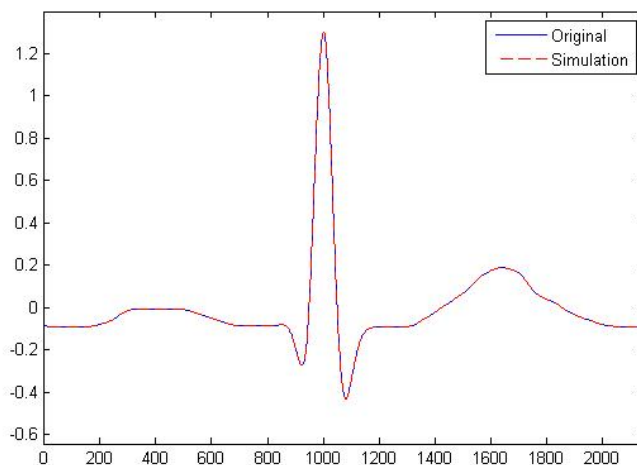
ภาพที่ 4-11 แสดงรูปสัญญาณคลื่นไฟฟ้าหัวใจที่อัตรา 60 ครั้งต่อนาที โดยลดขนาดข้อมูล 8 เท่า สัญญาณต้นแบบแสดงเป็นเส้นตรง ส่วนสัญญาณที่ผ่านการลดขนาดข้อมูลแสดงเป็นเส้นปะ



ภาพที่ 4-12 กราฟแสดงความผิดพลาดที่อัตราการเต้น 60 ครั้งต่อนาที ลดขนาด 8 เท่า

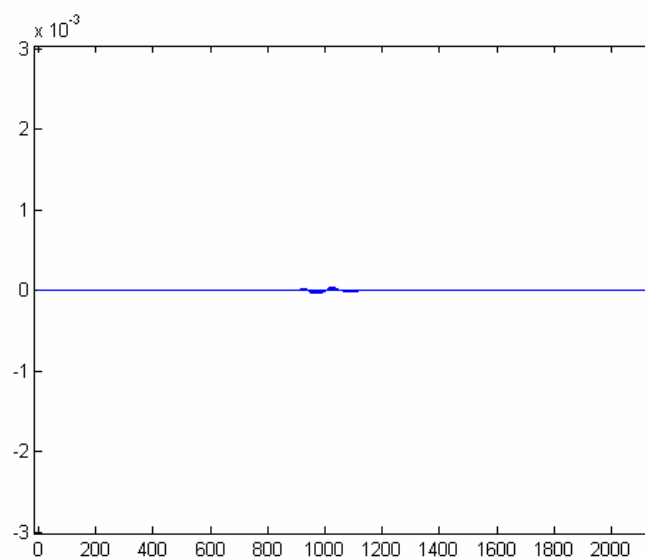
ภาพที่ 4-12 แสดงเส้นกราฟความผิดพลาดของคลื่นไฟฟ้าหัวใจก่อนการลดขนาดข้อมูล เทียบกับคลื่นไฟฟ้าหัวใจที่ผ่านการลดขนาดข้อมูล 8 เท่า อัตราการเต้น 60 ครั้งต่อนาที ค่าความผิดพลาดเท่ากับ 0.1467 %

4.1.3 อัตราการเต้นของหัวใจที่ 120 ครั้งต่อนาที



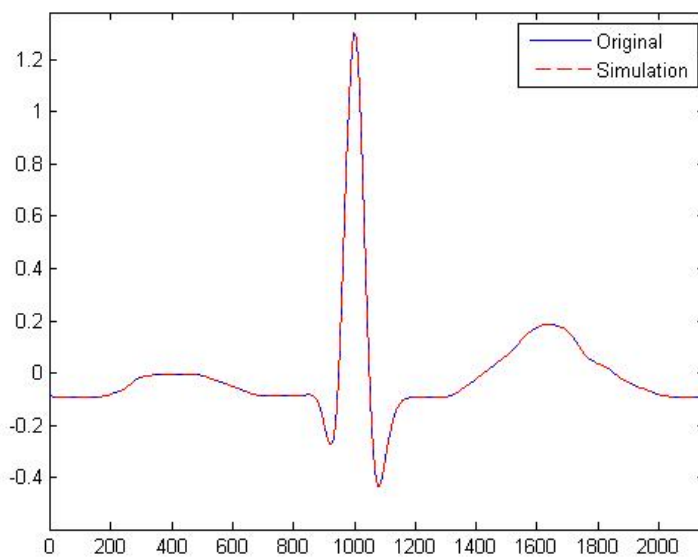
ภาพที่ 4-13 คลื่นไฟฟ้าหัวใจอัตราการเต้น 120 ครั้งต่อนาที ลดขนาดข้อมูล 2 เท่า

ภาพที่ 4-13 แสดงรูปสัญญาณคลื่นไฟฟ้าหัวใจที่อัตรา 120 ครั้งต่อนาที โดยลดและเพิ่มขนาดที่ 2 เท่า สัญญาณต้นแบบแสดงเป็นเส้นตรง ส่วนสัญญาณที่ผ่านการลดขนาดข้อมูลแสดงเป็นเส้นปะ



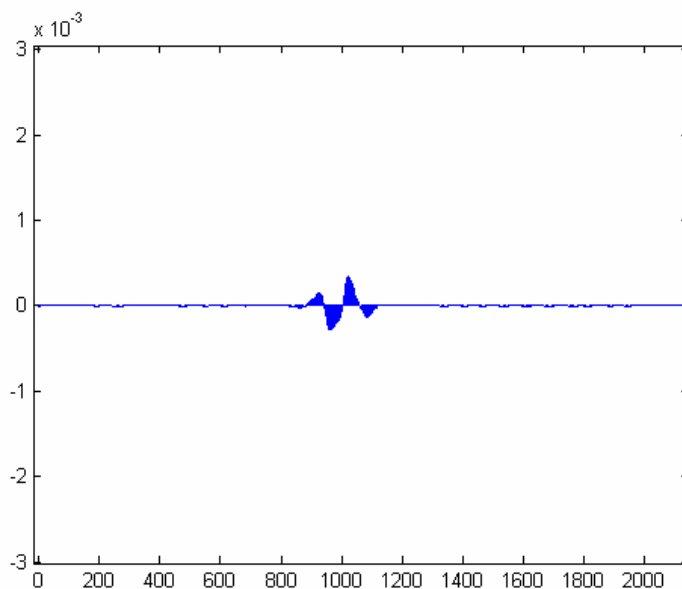
ภาพที่ 4-14 กราฟแสดงความผิดพลาดที่อัตราการเต้น 120 ครั้งต่อนาที ลดขนาดข้อมูล 2 เท่า

ภาพที่ 4-14 แสดงเส้นกราฟความผิดพลาดของคลื่นไฟฟ้าหัวใจก่อนการลดขนาดข้อมูล เทียบกับคลื่นไฟฟ้าหัวใจที่ผ่านการลดขนาดข้อมูล 2 เท่า อัตราการเต้น 120 ครั้งต่อนาที ค่าความผิดพลาดเท่ากับ 0.0022 %



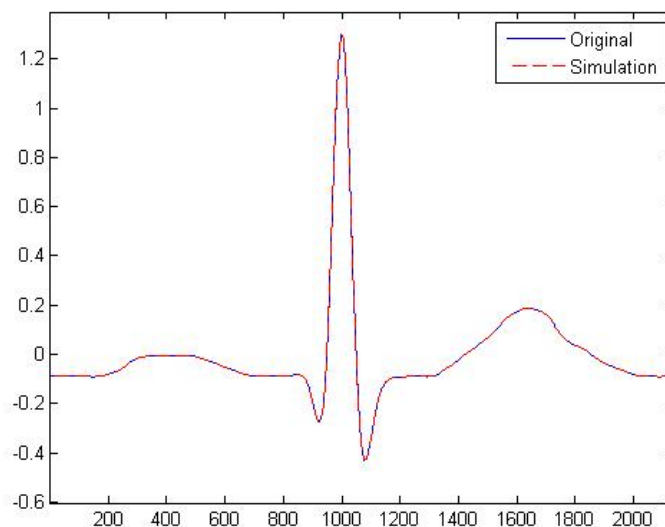
ภาพที่ 4-15 คลื่นไฟฟ้าหัวใจอัตราการเต้น 120 ครั้งต่อนาที ลดขนาดข้อมูล 4 เท่า

ภาพที่ 4-15 แสดงรูปสัญญาณคลื่นไฟฟ้าหัวใจที่อัตรา 120 ครั้งต่อนาที โดยลดขนาดข้อมูล 4 เท่า สัญญาณต้นแบบแสดงเป็นเส้นตรง ส่วนสัญญาณที่ผ่านการลดขนาดข้อมูลแสดงเป็นเส้นปะ



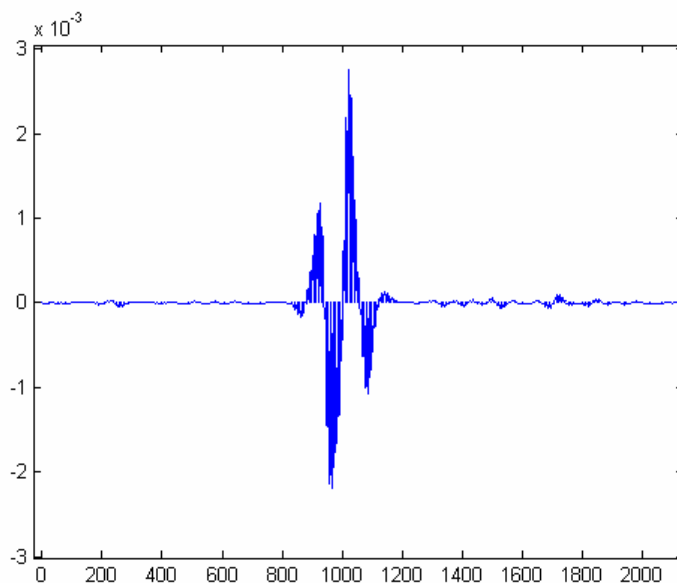
ภาพที่ 4-16 กราฟแสดงความผิดพลาดที่อัตราการเต้น 120 ครั้งต่อนาที ลดขนาดข้อมูล 4 เท่า

ภาพที่ 4-16 แสดงเส้นกราฟความผิดพลาดของคลื่นไฟฟ้าหัวใจก่อนการลดขนาดข้อมูล เทียบกับคลื่นไฟฟ้าหัวใจที่ผ่านการลดขนาดข้อมูล 4 เท่า อัตราการเต้น 120 ครั้งต่อนาที ค่าความผิดพลาดเท่ากับ 0.0185 %



ภาพที่ 4-17 คลื่นไฟฟ้าหัวใจอัตราการเต้น 120 ครั้งต่อนาที ลดขนาดข้อมูล 8 เท่า

ภาพที่ 4-17 แสดงรูปสัญญาณคลื่นไฟฟ้าหัวใจที่อัตรา 120 ครั้งต่อนาที โดยลดขนาดข้อมูล 8 เท่า สัญญาณต้นแบบแสดงเป็นเส้นตรง ส่วนสัญญาณที่ผ่านการลดขนาดข้อมูลแสดงเป็นเส้นปะ

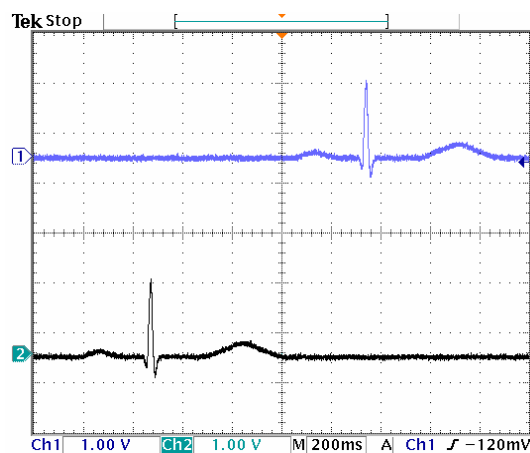


ภาพที่ 4-18 กราฟแสดงความผิดพลาดที่อัตราการเต้น 120 ครั้งต่อนาที ลดขนาดข้อมูล 8 เท่า

ภาพที่ 4-18 แสดงเส้นกราฟความผิดพลาดของคลื่นไฟฟ้าหัวใจก่อนการลดขนาดข้อมูล เทียบกับคลื่นไฟฟ้าหัวใจที่ผ่านการลดขนาดข้อมูล 8 เท่า อัตราการเต้น 120 ครั้งต่อนาที ค่าความผิดพลาดเท่ากับ 0.1466 %

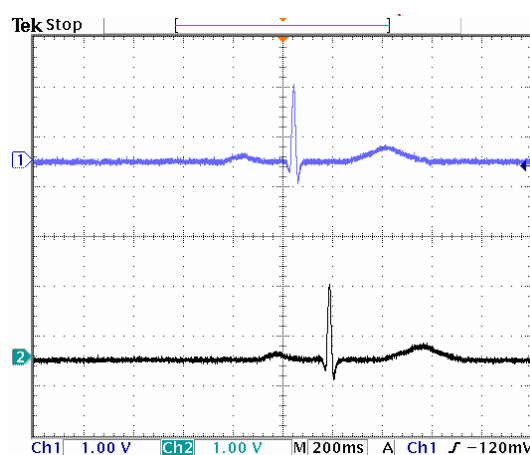
4.2 ผลการทดลองจริงบนบอร์ดประมวลผล TMS320C31 DSK

4.2.1 อัตราการเต้นของหัวใจที่ 30 ครั้งต่อนาที โดยอัตราการสุ่มสัญญาณที่ 600 Hz



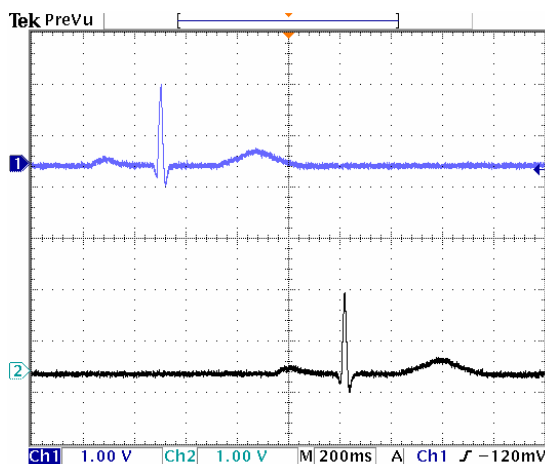
ภาพที่ 4-19 สัญญาณคลื่นไฟฟ้าหัวใจที่อัตราการเต้น 30 ครั้งต่อนาที ลดขนาดข้อมูล 2 เท่า $f_s = 600\text{Hz}$

ภาพที่ 4-19 แสดงหน้าจอภาพของออสซิลโลสโคปที่วัดคลื่นไฟฟ้าหัวใจที่อัตราการเต้น 30 ครั้งต่อนาที อัตราการสุ่ม 600 Hz โดยที่ สัญญาณช่อง 1 เป็นสัญญาณก่อนการลดขนาดข้อมูล สัญญาณช่อง 2 เป็นสัญญาณที่ผ่านการลดและเพิ่มขนาดข้อมูล 2 เท่า



ภาพที่ 4-20 สัญญาณคลื่นไฟฟ้าหัวใจที่อัตราการเต้น 30 ครั้งต่อนาที ลดขนาดข้อมูล 4 เท่า $f_s = 600\text{Hz}$

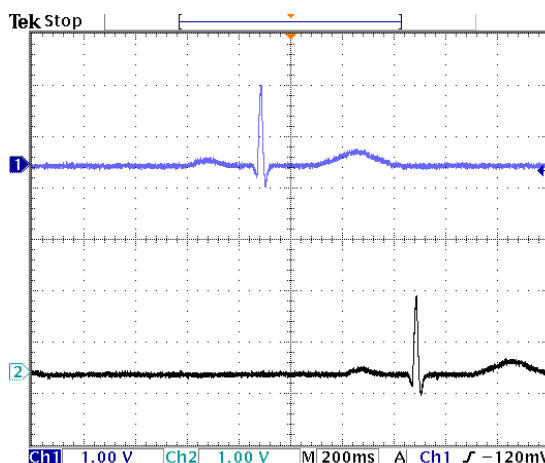
ภาพที่ 4-20 แสดงหน้าจอภาพของออสซิลโลสโคปที่วัดคลื่นไฟฟ้าหัวใจที่อัตราการเต้น 30 ครั้งต่อนาที อัตราการสุ่ม 600 Hz โดยที่ สัญญาณช่อง 1 เป็นสัญญาณก่อนการลดขนาดข้อมูล สัญญาณช่อง 2 เป็นสัญญาณที่ผ่านการลดและเพิ่มขนาดข้อมูล 4 เท่า



ภาพที่ 4-21 สัญญาณคลื่นไฟฟ้าหัวใจที่อัตราการเต้น 30 ครั้งต่อนาที ลดขนาดข้อมูล 8 เท่า $f_s = 600\text{Hz}$

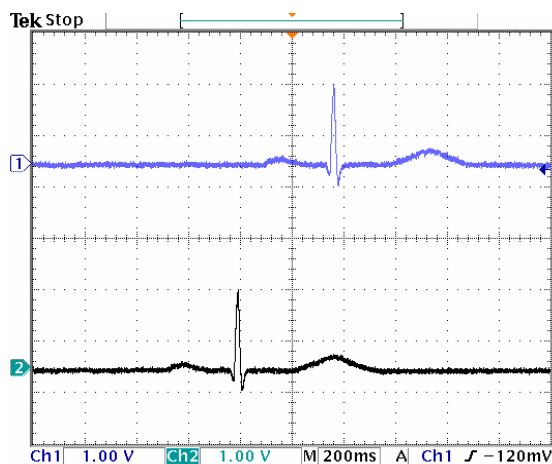
ภาพที่ 4-21 แสดงหน้าจอภาพของออสซิลโลสโคปที่วัดคลื่นไฟฟ้าหัวใจที่อัตราการเต้น 30 ครั้งต่อนาที อัตราการสุ่ม 600 Hz โดยที่ สัญญาณช่อง 1 เป็นสัญญาณก่อนการลดขนาดข้อมูล สัญญาณช่อง 2 เป็นสัญญาณที่ผ่านการลดและเพิ่มขนาด 8 เท่า

4.2.2 อัตราการเต้นของหัวใจที่ 30 ครั้งต่อนาที โดยอัตราการสุ่มสัญญาณที่ 1200 Hz



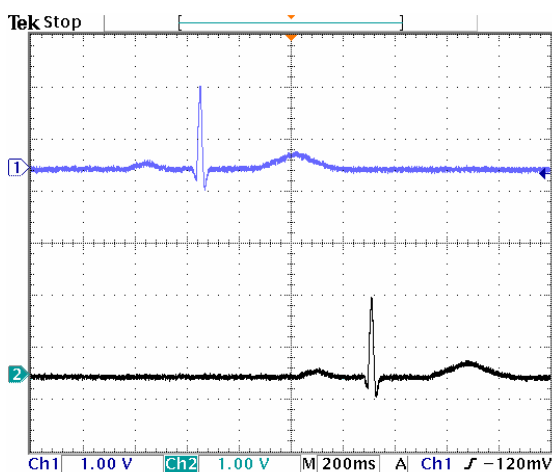
ภาพที่ 4-22 สัญญาณคลื่นไฟฟ้าหัวใจที่อัตราการเต้น 30 ครั้งต่อนาที ลดขนาดข้อมูล 2 เท่า $f_s = 1200\text{Hz}$

ภาพที่ 4-22 แสดงหน้าจอภาพของออสซิลโลสโคปที่วัดคลื่นไฟฟ้าหัวใจที่อัตราการเต้น 30 ครั้งต่อนาที อัตราการสุ่ม 1200 Hz โดยที่ สัญญาณช่อง 1 เป็นสัญญาณก่อนการลดขนาดข้อมูล สัญญาณช่อง 2 เป็นสัญญาณที่ผ่านการลดและเพิ่มขนาดข้อมูล 2 เท่า



ภาพที่ 4-23 สัญญาณคลื่นไฟฟ้าหัวใจที่อัตราการเดิน 30 ครั้งต่อนาที ลดขนาดข้อมูล 4 เท่า $f_s = 1200\text{Hz}$

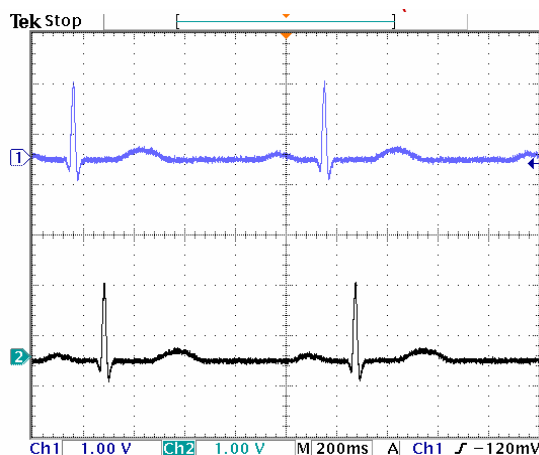
ภาพที่ 4-23 แสดงหน้าจอภาพของออสซิลโลสโคปที่วัดคลื่นไฟฟ้าหัวใจที่อัตราการเดิน 30 ครั้งต่อนาที อัตราการสุ่ม 1200 Hz โดยที่ สัญญาณช่อง 1 เป็นสัญญาณก่อนการลดขนาดข้อมูล สัญญาณช่อง 2 เป็นสัญญาณที่ผ่านการลดและเพิ่มขนาดข้อมูล 4 เท่า



ภาพที่ 4-24 สัญญาณคลื่นไฟฟ้าหัวใจที่อัตราการเดิน 30 ครั้งต่อนาที ลดขนาดข้อมูล 8 เท่า $f_s = 1200\text{Hz}$

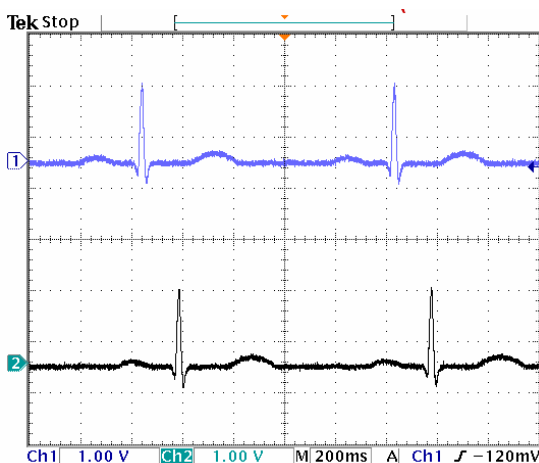
ภาพที่ 4-24 แสดงหน้าจอภาพของออสซิลโลสโคปที่วัดคลื่นไฟฟ้าหัวใจที่อัตราการเดิน 30 ครั้งต่อนาที อัตราการสุ่ม 1200 Hz โดยที่ สัญญาณช่อง 1 เป็นสัญญาณก่อนการลดขนาดข้อมูล สัญญาณช่อง 2 เป็นสัญญาณที่ผ่านการลดและเพิ่มขนาดข้อมูล 8 เท่า

4.2.3 อัตราการเต้นของหัวใจที่ 60 ครั้งต่อนาที โดยอัตราการสุ่มสัญญาณที่ 600 Hz



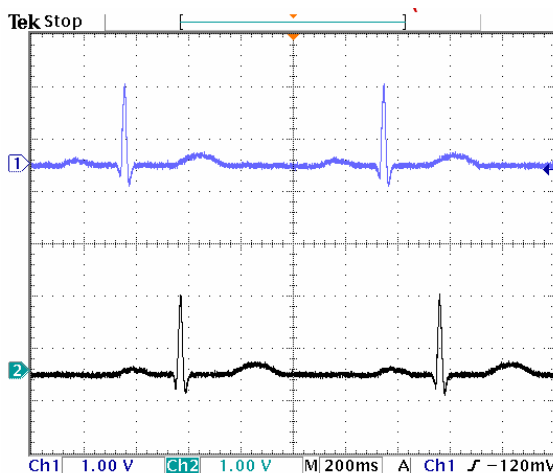
ภาพที่ 4-25 สัญญาณคลื่นไฟฟ้าหัวใจที่อัตราการเต้น 60 ครั้งต่อนาที ลดขนาดข้อมูล 2 เท่า $f_s = 600\text{Hz}$

ภาพที่ 4-25 แสดงหน้าจอภาพของออสซิลโลสโคปที่วัดคลื่นไฟฟ้าหัวใจที่อัตราการเต้น 60 ครั้งต่อนาที อัตราการสุ่ม 600 Hz โดยที่ สัญญาณช่อง 1 เป็นสัญญาณก่อนการลดขนาดข้อมูล สัญญาณช่อง 2 เป็นสัญญาณที่ผ่านการลดและเพิ่มขนาดข้อมูล 2 เท่า



ภาพที่ 4-26 สัญญาณคลื่นไฟฟ้าหัวใจที่อัตราการเต้น 60 ครั้งต่อนาที ลดขนาดข้อมูล 4 เท่า $f_s = 600\text{Hz}$

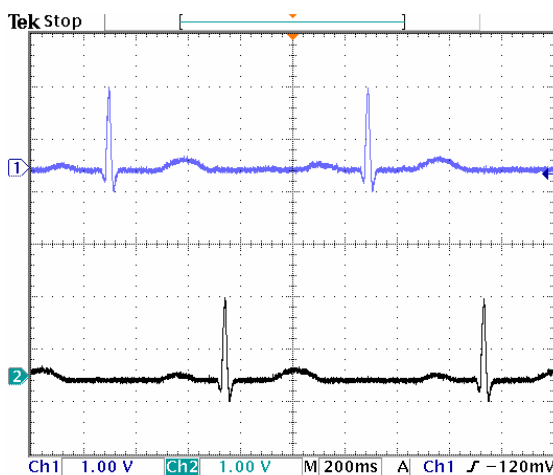
ภาพที่ 4-26 แสดงหน้าจอภาพของออสซิลโลสโคปที่วัดคลื่นไฟฟ้าหัวใจที่อัตราการเต้น 60 ครั้งต่อนาที อัตราการสุ่ม 600 Hz โดยที่ สัญญาณช่อง 1 เป็นสัญญาณก่อนการลดขนาดข้อมูล สัญญาณช่อง 2 เป็นสัญญาณที่ผ่านการลดและเพิ่มขนาดข้อมูล 4 เท่า



ภาพที่ 4-27 สัญญาณคลื่นไฟฟ้าหัวใจที่อัตราการเต้น 60 ครั้งต่อนาที ลดขนาดข้อมูล 8 เท่า $f_s = 600\text{Hz}$

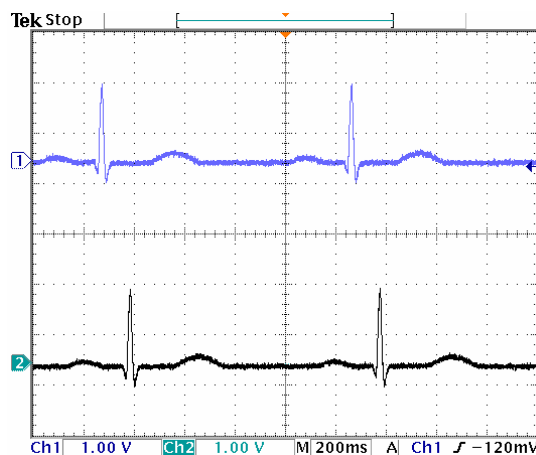
ภาพที่ 4-27 แสดงหน้าจอภาพของออสซิลโลสโคปที่วัดคลื่นไฟฟ้าหัวใจที่อัตราการเต้น 60 ครั้งต่อนาที อัตราการสุ่ม 600 Hz โดยที่ สัญญาณช่อง 1 เป็นสัญญาณก่อนการลดขนาดข้อมูล สัญญาณช่อง 2 เป็นสัญญาณที่ผ่านการลดและเพิ่มขนาดข้อมูล 8 เท่า

4.2.4 อัตราการเต้นของหัวใจที่ 60 ครั้งต่อนาที โดยอัตราการสุ่มสัญญาณที่ 1200 Hz



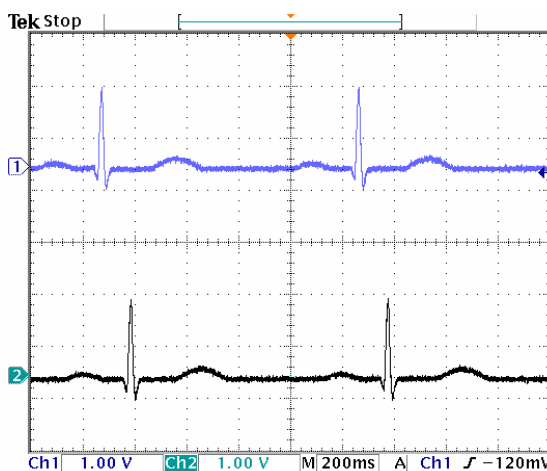
ภาพที่ 4-28 สัญญาณคลื่นไฟฟ้าหัวใจที่อัตราการเต้น 60 ครั้งต่อนาที ลดขนาดข้อมูล 2 เท่า $f_s = 1200\text{Hz}$

ภาพที่ 4-28 แสดงหน้าจอภาพของออสซิลโลสโคปที่วัดคลื่นไฟฟ้าหัวใจที่อัตราการเต้น 60 ครั้งต่อนาที อัตราการสุ่ม 1200 Hz โดยที่ สัญญาณช่อง 1 เป็นสัญญาณก่อนการลดขนาดข้อมูล สัญญาณช่อง 2 เป็นสัญญาณที่ผ่านการลดและเพิ่มขนาดข้อมูล 2 เท่า



ภาพที่ 4-29 สัญญาณคลื่นไฟฟ้าหัวใจที่อัตราการเดิน 60 ครั้งต่อนาที ลดขนาดข้อมูล 4 เท่า $f_s = 1200\text{Hz}$

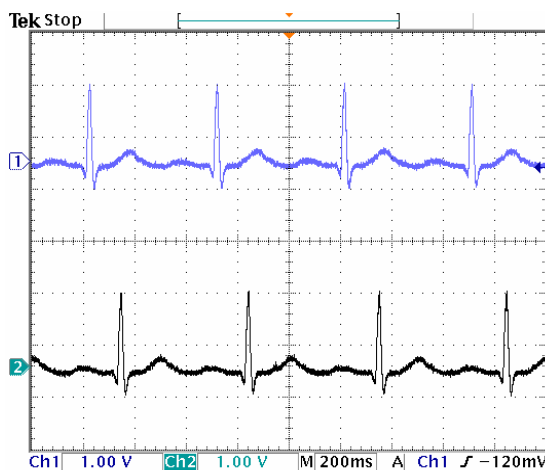
ภาพที่ 4-29 แสดงหน้าจอภาพของออสซิลโลสโคปที่วัดคลื่นไฟฟ้าหัวใจที่อัตราการเดิน 60 ครั้งต่อนาที อัตราการสุ่ม 1200 Hz โดยที่ สัญญาณช่อง 1 เป็นสัญญาณก่อนการลดขนาดข้อมูล สัญญาณช่อง 2 เป็นสัญญาณที่ผ่านการลดและเพิ่มขนาดข้อมูล 4 เท่า



ภาพที่ 4-30 สัญญาณคลื่นไฟฟ้าหัวใจที่อัตราการเดิน 60 ครั้งต่อนาที ลดขนาดข้อมูล 8 เท่า $f_s = 1200\text{Hz}$

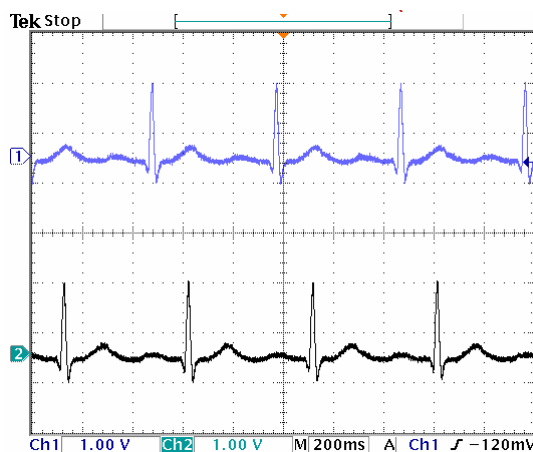
ภาพที่ 4-30 แสดงหน้าจอภาพของออสซิลโลสโคปที่วัดคลื่นไฟฟ้าหัวใจที่อัตราการเดิน 60 ครั้งต่อนาที อัตราการสุ่ม 1200 Hz โดยที่ สัญญาณช่อง 1 เป็นสัญญาณก่อนการลดขนาดข้อมูล สัญญาณช่อง 2 เป็นสัญญาณที่ผ่านการลดและเพิ่มขนาด 8 เท่า

4.2.5 อัตราการเต้นของหัวใจที่ 120 ครั้งต่อนาที โดยอัตราการสุ่มสัญญาณที่ 600 Hz



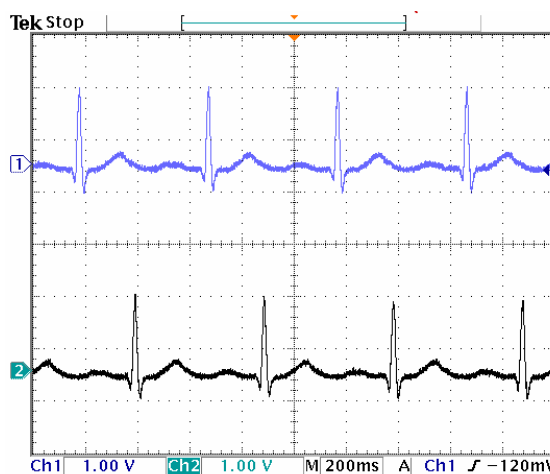
ภาพที่ 4-31 สัญญาณคลื่นไฟฟ้าหัวใจที่อัตราการเต้น 120 ครั้งต่อนาที ลดขนาดข้อมูล 2 เท่า $f_s = 600\text{Hz}$

ภาพที่ 4-31 แสดงหน้าจอภาพของออสซิลโลสโคปที่วัดคลื่นไฟฟ้าหัวใจที่อัตราการเต้น 120 ครั้งต่อนาที อัตราการสุ่ม 600 Hz โดยที่ สัญญาณช่อง 1 เป็นสัญญาณก่อนการลดขนาดข้อมูล สัญญาณช่อง 2 เป็นสัญญาณที่ผ่านการลดและเพิ่มขนาดข้อมูล 2 เท่า



ภาพที่ 4-32 สัญญาณคลื่นไฟฟ้าหัวใจที่อัตราการเต้น 120 ครั้งต่อนาที ลดขนาดข้อมูล 4 เท่า $f_s = 600\text{Hz}$

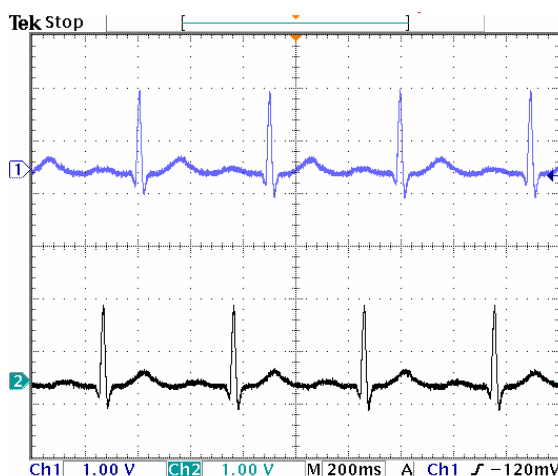
ภาพที่ 4-32 แสดงหน้าจอภาพของออสซิลโลสโคปที่วัดคลื่นไฟฟ้าหัวใจที่อัตราการเต้น 120 ครั้งต่อนาที อัตราการสุ่ม 600 Hz โดยที่ สัญญาณช่อง 1 เป็นสัญญาณก่อนการลดขนาดข้อมูล สัญญาณช่อง 2 เป็นสัญญาณที่ผ่านการลดและเพิ่มขนาดข้อมูล 4 เท่า



ภาพที่ 4-33 สัญญาณคลื่นไฟฟ้าหัวใจที่อัตราการเดิน 120 ครั้งต่อนาที ลดขนาดข้อมูล 8 เท่า $f_s = 600\text{Hz}$

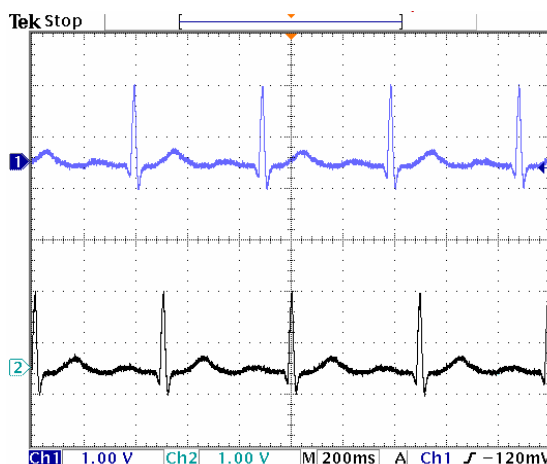
ภาพที่ 4-33 แสดงหน้าจอภาพของออสซิลโลสโคปที่วัดคลื่นไฟฟ้าหัวใจที่อัตราการเดิน 120 ครั้งต่อนาที อัตราการสุ่ม 600 Hz โดยที่ สัญญาณช่อง 1 เป็นสัญญาณก่อนการลดขนาดข้อมูล สัญญาณช่อง 2 เป็นสัญญาณที่ผ่านการลดและเพิ่มขนาดข้อมูล 8 เท่า

4.2.6 อัตราการเดินของหัวใจที่ 120 ครั้งต่อนาที โดยอัตราการสุ่มสัญญาณที่ 1200 Hz



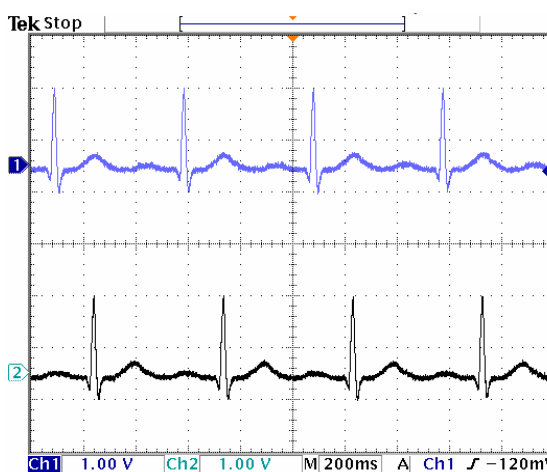
ภาพที่ 4-34 สัญญาณคลื่นไฟฟ้าหัวใจที่อัตราการเดิน 120 ครั้งต่อนาที ลดขนาดข้อมูล 2 เท่า $f_s = 1200\text{Hz}$

ภาพที่ 4-34 แสดงหน้าจอภาพของออสซิลโลสโคปที่วัดคลื่นไฟฟ้าหัวใจที่อัตราการเดิน 120 ครั้งต่อนาที อัตราการสุ่ม 1200 Hz โดยที่ สัญญาณช่อง 1 เป็นสัญญาณก่อนการลดขนาดข้อมูล สัญญาณช่อง 2 เป็นสัญญาณที่ผ่านการลดและเพิ่มขนาดข้อมูล 2 เท่า



ภาพที่ 4-35 สัญญาณคลื่นไฟฟ้าหัวใจที่อัตราการเต้น 120 ครั้งต่อนาที ลดขนาดข้อมูล 4 เท่า $f_s = 1200\text{Hz}$

ภาพที่ 4-35 แสดงหน้าจอภาพของออสซิลโลสโคปที่วัดคลื่นไฟฟ้าหัวใจที่อัตราการเต้น 120 ครั้งต่อนาที อัตราการสุ่ม 1200 Hz โดยที่ สัญญาณช่อง 1 เป็นสัญญาณก่อนการลดขนาดข้อมูล สัญญาณช่อง 2 เป็นสัญญาณที่ผ่านการลดและเพิ่มขนาดข้อมูล 4 เท่า



ภาพที่ 4-36 สัญญาณคลื่นไฟฟ้าหัวใจที่อัตราการเต้น 120 ครั้งต่อนาที ลดขนาดข้อมูล 8 เท่า $f_s = 1200\text{Hz}$

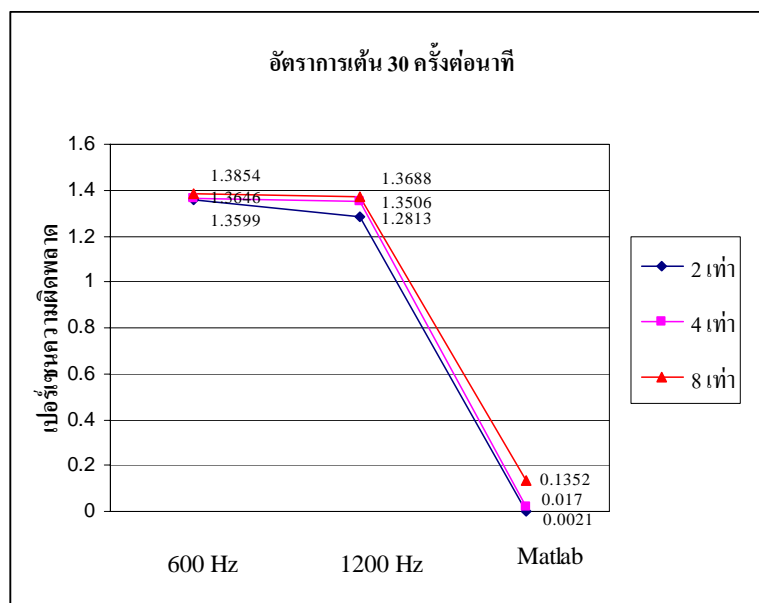
ภาพที่ 4-36 แสดงหน้าจอภาพของออสซิลโลสโคปที่วัดคลื่นไฟฟ้าหัวใจที่อัตราการเต้น 120 ครั้งต่อนาที อัตราการสุ่ม 1200 Hz โดยที่ สัญญาณช่อง 1 เป็นสัญญาณก่อนการลดขนาดข้อมูล สัญญาณช่อง 2 เป็นสัญญาณที่ผ่านการลดและเพิ่มขนาดข้อมูล 8 เท่า

4.3 ผลการหาค่าเปอร์เซ็นต์ความผิดพลาด

ตารางที่ 4-1 ค่าเปอร์เซ็นต์ความผิดพลาดของการทดลอง

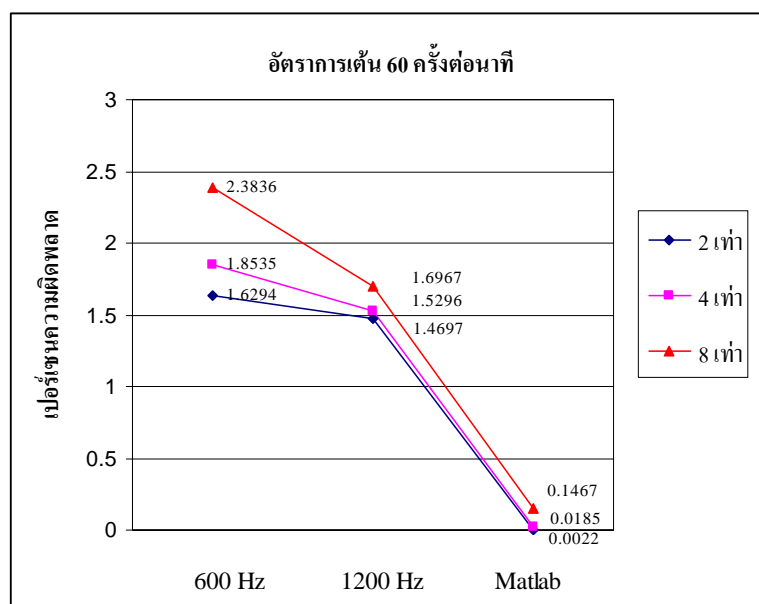
อัตราการเดินของหัวใจ (ครั้ง/นาที)	อัตราการลดขนาด (เท่า)	ค่าเปอร์เซ็นต์ความผิดพลาด (PRD) (%)		
		การสร้างจริง อัตราการสุม (600 Hz)	การสร้างจริง อัตราการสุม (1200 Hz)	การจำลองการ ทำงานบน (MATLAB)
30	2	1.3599	1.2813	0.0021
	4	1.3646	1.3506	0.0170
	8	1.3854	1.3688	0.1352
60	2	1.6294	1.4697	0.0022
	4	1.8535	1.5296	0.0185
	8	2.3836	1.6967	0.1467
120	2	1.7086	1.3353	0.0022
	4	3.3572	3.0550	0.0185
	8	4.2484	3.2714	0.1466

ตารางที่ 4-1 แสดงค่าเปอร์เซ็นต์ความผิดพลาดที่ได้จากการทดลองโดยจะมีผลที่ได้จากการจำลองการทำงานบนโปรแกรม Matlab และผลจากการสร้างจริง โดยกำหนดค่าอัตราการสุมที่ใช้ในการทดลองที่ 600Hz และ 1200Hz



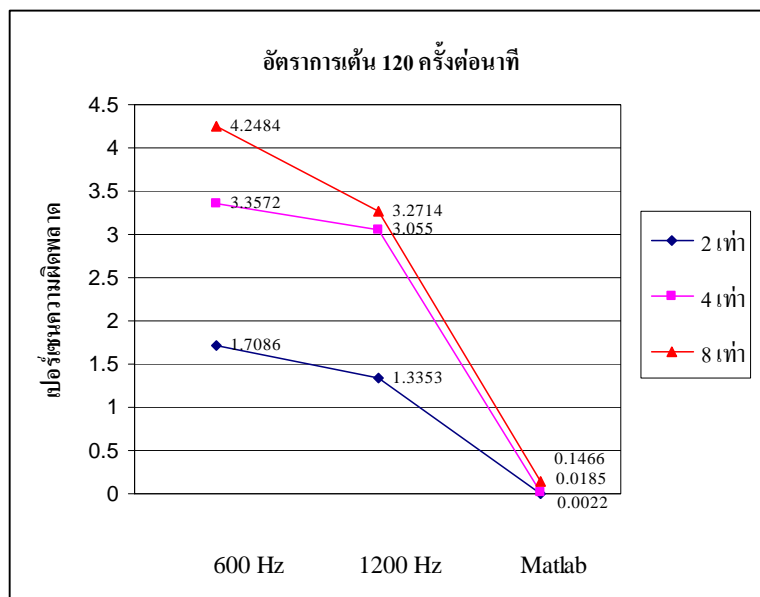
ภาพที่ 4-37 กราฟแสดงค่าความผิดพลาด ที่อัตราการเต้นของหัวใจ 30 ครั้งต่อนาที

ภาพที่ 4-37 แสดงเส้นกราฟค่าความผิดพลาดของการลดขนาดข้อมูลที่อัตราการเต้นของหัวใจที่ 30 ครั้งต่อนาที



ภาพที่ 4-38 กราฟแสดงค่าความผิดพลาด ที่อัตราการเต้นของหัวใจ 60 ครั้งต่อนาที

ภาพที่ 4-38 แสดงเส้นกราฟค่าความผิดพลาดของการลดขนาดข้อมูลที่อัตราการเต้นของหัวใจที่ 60 ครั้งต่อนาที



ภาพที่ 4-39 กราฟแสดงค่าความผิดพลาด ที่อัตราการเต้นของหัวใจ 120 ครั้งต่อนาที

ภาพที่ 4-39 แสดงเส้นกราฟค่าความผิดพลาดของการลดขนาดข้อมูลที่อัตราการเต้นของหัวใจที่ 120 ครั้งต่อนาที

บทที่ 5

สรุปผลและข้อเสนอแนะ

5.1 สรุปผล

จากผลการทดลองในบทที่ 4 จะเห็นได้ว่าค่าเปอร์เซ็นต์ความผิดพลาดที่เกิดจากการจำลองการทำงานการลดขนาดสัญญาณและขยายสัญญาณคลื่นไฟฟ้าหัวใจที่อัตราการลดขนาดต่างๆ มีค่าความผิดพลาดที่น้อยมาก เมื่อเทียบกับการนำระบบที่ออกแบบได้ไปทำการทดลองสร้างจริงบนบอร์ดประมวลผลสัญญาณดิจิทัล TMS320C31 DSK ค่าเปอร์เซ็นต์ความผิดพลาดของการสร้างจริงจะมีความผิดพลาดที่มากกว่า แต่ยังเป็นค่าที่สามารถยอมรับได้ สาเหตุที่ค่าความผิดพลาดของการทดลองสร้างจริงมีค่ามากกว่าการจำลองการทำงานบนโปรแกรม Matlab เนื่องมาจากการที่ต้องต่อสายสัญญาณหลายตำแหน่งในการทดลองทำให้เกิดสัญญาณรบกวนเกิดขึ้นกับสัญญาณคลื่นไฟฟ้าหัวใจทั้งในส่วนสัญญาณอินพุตและสัญญาณเอาต์พุต ทำให้ค่าความผิดพลาดเกิดขึ้นมาก และจากผลการทดลองจะเห็นได้ว่าอัตราการสุ่มของสัญญาณที่ใช้ในการทดลองมีผลกับค่าความผิดพลาดของสัญญาณที่อัตราการสุ่มที่ 600 Hz ค่าความผิดพลาดจะมากกว่าการใช้อัตราการสุ่มที่ 1200 Hz เพราะว่าจำนวนข้อมูลของอัตราการสุ่มที่ 600 Hz จะมีข้อมูลที่น้อยกว่า การใช้อัตราการสุ่มที่ 1200 Hz แต่การใช้อัตราการสุ่มที่ 600 Hz จะใช้หน่วยความจำน้อยกว่าการใช้อัตราการสุ่มที่ 1200 Hz ทำให้ใช้หน่วยความจำน้อยกว่าในการบันทึก และอัตราการลดขนาดก็มีผลกับค่าความผิดพลาดโดยที่อัตราการลดขนาดที่ 2 เท่า จะให้ค่าความผิดพลาดที่น้อยกว่าอัตราการลดขนาดที่ 4 เท่า และ 8 เท่า สาเหตุที่ค่าความผิดพลาดของการลดขนาด 2 เท่า น้อยกว่า 4 เท่า และ 8 เท่า นั้นเพราะว่าข้อมูลที่ใช้ในการคืนค่าสัญญาณที่ผ่านการลดขนาดสัญญาณมีมากกว่าการลดขนาด ที่ 4 เท่า และ 8 เท่า แต่ขนาดของสัญญาณที่ผ่านการลดขนาดที่น้อยที่สุดคือการใช้อัตราการลดขนาดที่ 8 เท่า ดังนั้นที่หน่วยความจำเท่ากัน การใช้อัตราการลดขนาดที่ 8 เท่า จะสามารถเก็บข้อมูลได้มากกว่า จากกราฟแสดงความผิดพลาด จะเห็นว่าช่วงที่มีความผิดพลาดจะเกิดบริเวณช่วงของยอดคลื่นไฟฟ้าหัวใจ เพราะว่าบริเวณช่วงยอดคลื่นนั้นมีการเปลี่ยนแปลงของข้อมูลที่ต่างกันมากทำให้เป็นบริเวณที่เกิดความผิดพลาดขึ้นมา

จากผลการทดลองสามารถสรุปได้ว่า ค่าความผิดพลาดทั้งการจำลองการทำงานและการสร้างจริงบนบอร์ดประมวลผลสัญญาณดิจิทัล TMS320C31 DSK ของการสร้างระบบบีบอัดและขยายคลื่นไฟฟ้าหัวใจโดยการใช้การประมวลผลเชิงเลขหลายอัตรา มีค่าต่ำ ไม่เกิน 5% ซึ่งเป็นค่าที่แพทย์

ยอมรับได้ที่ไม่ทำให้เกิดความผิดเพี้ยนในการอ่านค่าคลื่นไฟฟ้าหัวใจ ทำให้สามารถนำระบบที่ออกแบบไปใช้ในเครื่องบันทึกคลื่นไฟฟ้าหัวใจเพื่อช่วยลดพื้นที่หน่วยความจำได้ และจากการทดลองจะทำในลักษณะ Real time ทำให้สามารถนำไปประยุกต์ใช้ในการ รับ/ส่ง สัญญาณคลื่นไฟฟ้าหัวใจระยะไกลได้

5.2 ข้อเสนอแนะ

จากการทดลอง จะเห็นได้ว่าผลของการลดขนาดคลื่นไฟฟ้าหัวใจเป็นที่น่าพอใจและยอมรับได้ในความผิดพลาด แต่ในการนำระบบไปใช้งานจริงควรจะมีการออกแบบของบอร์ดประมวลผลสัญญาณดิจิทัลและบอร์ดหน่วยความจำภายนอกให้มีขนาดเล็กลง หรือออกแบบให้สามารถใช้หน่วยความจำภายนอกชนิดที่มีขายทั่วไป เพื่อความสะดวกในการนำมาใช้งาน ในการนำไปใช้งานจริงควรเพิ่มอัตราการสุ่มที่สูงขึ้นเพื่อลดค่าความผิดพลาดให้ลดลงอีก เพื่อเพิ่มความแม่นยำของผู้ที่อ่านค่าสัญญาณคลื่นไฟฟ้าหัวใจ เพราะว่าการใช้งานจริงจะมีปัญหาของเรื่องสัญญาณรบกวนในสายสัญญาณเพิ่มขึ้นมา และควรมีการพัฒนาต่อให้ระบบที่สร้างสามารถตรวจจับเฉพาะบริเวณค่ายอดของคลื่นไฟฟ้าหัวใจ แล้วให้ความสำคัญคือทำการลดขนาดในปริมาณที่น้อยในการบีบอัดเฉพาะบริเวณที่เป็นค่าของยอดคลื่น ส่วนบริเวณอื่นที่มีค่าใกล้เคียงกันให้ลดขนาดในปริมาณหลายเท่าเพื่อที่จะสามารถลดปริมาณข้อมูลลงได้อีก

เอกสารอ้างอิง

1. Akay, Metin. **Biomedical Signal Processing**. Academic Press, 1994.
2. Willis J. Tompking, **Biomedical Digital Signal Processing**, Prentice-Hall, 1993.
3. Alfred Mertins. **Signal Analysis Wavelets, Filter Bank, Time-Frequency Transforms and Applications**. John Wiley&Sons, Inc. 1996.
4. R.E. Crochiere and L. R. Rabiner. **Multirate Digital Signal Processing**. Prentice-Hall, 1993.
5. M. Vetterli. “**A Theory of Multirate Filter Banks.**” IEEE Trans. Signal Processing, vol. ASSP-35, No 3,pp. 356-372, Mar. 1987.
6. Xiang-Gen Xia and Bruce W. Suter, “ **Multirate Filter Banks with Block ampling,** ” IEEE Trans. Signal Processing, vol. 44 No. 3, pp. 484-496, Mar. 1996.
7. VX Afonso, WJ Tompkins, TQ Nguyen, s Luo, “ **Multirate Processing of the ECG using Filter Banks,** ” IEEE Computers in Cardiology, pp. 245-248,1996.
8. พรชัย ภววงษ์ศักดิ์. การประมวลผลสัญญาณดิจิทัลเบื้องต้น. [ออนไลน์] 2542.
[สืบค้นวันที่ 14 กรกฎาคม 2544] จาก <http://www.ee.mut.ac.th/home/pornchai>
9. Sanjit. K.Mitra, **Digital Signal Processing** : Computer-Based Approach, McGRAW-HILL. 1996.
10. ปราโมทย์ เดชะอำไพ. ระเบียบวิธีเชิงตัวเลขในงานวิศวกรรม. กรุงเทพฯ : สำนักพิมพ์แห่งจุฬาลงกรณ์มหาวิทยาลัย, 2544.
11. วรมนต์ ตรีพรหม. **สัญญาณชีพ**. โครงการตำรา ภาควิชาการพยาบาลพื้นฐาน. คณะพยาบาลศาสตร์ มหาวิทยาลัยเชียงใหม่ โอเคชั่นสโตร์, 2537.
12. **TMS320C3x User’s Guide**. : Texas Instruments Inc, 1997.
13. **TMS320C3x DSP Starter kit**. : Texas Instruments Inc, 1996.
14. Rulph Chassing. **Digital Signal Processing Laboratory Experiments Using C and the TMS320C31 DSK**. : John Wiley & Sons, Inc., 1999.

ภาคผนวก ก

การใช้งานบอร์ด TMS320C31 DSP STARTER KIT

ก.1 การใช้งานบอร์ด TMS320C31 DSP STARTER KIT

การใช้งานบอร์ด TMS320C31 DSP STARTER KIT มีขั้นตอนการใช้งานดังนี้

1. ต่อบอร์ด TMS320C31 DSK เข้ากับ Port Printer ของเครื่องไมโครคอมพิวเตอร์
2. จ่ายไฟ 10 – 12 Vdc เข้ากับบอร์ด TMS320C31 DSK
3. สร้าง Sub-Directory ด้วยคำสั่ง md c:\c3xtools
4. Copy โปรแกรมของ TMS320C31 DSK ด้วยคำสั่ง copy d:*.* c:\c3xtools
5. Run คำสั่ง c:\c3xtools\dsk3d ถ้าไม่มีข้อผิดพลาดบนจอภาพของเครื่องไมโครคอมพิวเตอร์จะแสดงดังในภาพที่ ก-1

The screenshot shows the DSK3D debugger window. The main area displays disassembly code for the instruction 'ABSF R0, R0' at memory addresses 809800 through 80980e. The 'CPU REGISTERS' section on the right shows values for PC, F0-F7, AR0-AR7, IR0-IR1, ST, RS, DP, IE, and IOF. The 'COMMAND' window at the bottom shows the prompt 'CMD> TMS320C3x DSK Ready_'. The status bar at the bottom lists function keys: F1Help, F2REG40, F3FLOAT, F4Snce, F5Run, F6DispBP, F7ClrA11, F8SSStep, F9GRow, F10FStep.

ภาพที่ ก-1 การรันโปรแกรม DSK3D

6. เมื่อต้องการจะใช้งานหน้าต่าง Debugger หลังจากใช้คำสั่ง dsk3d จะปรากฏจอภาพดังในภาพที่ ก-2

This screenshot is a close-up of the disassembly window from the DSK3D debugger. It shows the same 'ABSF R0, R0' instructions as in the previous image, with addresses 809800 to 809805 visible. The 'Default_' label is present next to the instruction at 809802. The CPU registers section is partially visible on the right.

ภาพที่ ก-2 หน้าจอโปรแกรม dsk3d พร้อมใช้งาน

7. พิมพ์คำสั่ง reset ที่หน้าต่าง Command เพื่อที่จะพร้อมในการโหลดโปรแกรม

The screenshot shows the DSK3D interface. The Command window contains the text:


```
>reset
reset
```

 The Memory window shows the following data:

809800	00000000	00000000	00000000	00000000
809804	00000000	00000000	00000000	00000000
809808	00000000	00000000	00000000	00000000
80980c	00000000	00000000	00000000	00000000
809810	00000000	00000000	00000000	00000000
809814	00000000	00000000	00000000	00000000

ภาพที่ ก-3 พิมพ์คำสั่ง reset ที่หน้าต่าง Command

8. เมื่อต้องการที่จะทดสอบโปรแกรม ให้ใช้คำสั่ง load ตามด้วยชื่อ ไฟล์ที่ต้องการทดสอบ

The screenshot shows the DSK3D interface. The Command window contains the text:


```
reset
>load tesis
load tesis
```

 The Memory window shows the following data:

809800	00000000	00000000	00000000	00000000
809804	00000000	00000000	00000000	00000000
809808	00000000	00000000	00000000	00000000
80980c	00000000	00000000	00000000	00000000
809810	00000000	00000000	00000000	00000000
809814	00000000	00000000	00000000	00000000

ภาพที่ ก-4 พิมพ์คำสั่ง load ตามด้วยชื่อไฟล์ที่ต้องการทดสอบ

9. หลังการใช้คำสั่ง load ตามด้วยชื่อไฟล์ที่ต้องการทดสอบแล้วกดปุ่ม Enter โปรแกรมจะถูกนำไปเก็บไว้ใน Memory ภายในบอร์ด TMS320C31 แสดงในภาพที่ ก-5
10. เมื่อต้องการที่จะรัน(RUN) โปรแกรมที่ต้องการทดสอบหลังจากโหลดโปรแกรมเข้ามาไว้ในบอร์ดแล้ว ให้กดปุ่ม F5 เพื่อรัน(RUN)โปรแกรม แสดงในภาพที่ ก-6

The screenshot shows the DSK3D debugger window. The main area is divided into three sections: DISASSEMBLY, CPU REGISTERS, and MEMORY. The DISASSEMBLY section shows instructions from address 809847 to 809855. The CPU REGISTERS section shows the current values of registers PC, F0-F7, AR0-AR7, IR0-IR7, ST, RS, DP, IE, and IOF. The MEMORY section shows a list of memory addresses and their contents. The COMMAND window at the bottom contains the following text:

```

load ecg2.c
reset
load tesis
>

```

At the bottom of the window, there is a status bar with the text: F1Help F2Addr expr F3Data expr F9Grow

ภาพที่ ก-5 หน้าจอหลังจากโหลดโปรแกรมที่ต้องการทดสอบ

The screenshot shows the DSK3D debugger window. The main area is divided into three sections: DISASSEMBLY, CPU REGISTERS, and MEMORY. The DISASSEMBLY section shows instructions from address 809917 to 809925. The CPU REGISTERS section shows the current values of registers PC, F0-F7, AR0-AR7, IR0-IR7, ST, RS, DP, IE, and IOF. The MEMORY section shows a list of memory addresses and their contents. The COMMAND window at the bottom contains the following text:

```

reset
load tesis
>

```

At the bottom of the window, there is a status bar with the text: F1Help F2REG40 F3FLOAT F4Srcce F5Run F6DispBP F7ClrAll F8SSStep F9Grow F10FStep

ภาพที่ ก-6 หน้าจอหลังจากรันโปรแกรมโดยกดปุ่ม F5

11. เมื่อต้องการหยุดการรันโปรแกรมทำได้โดยกดปุ่ม Esc
12. ถ้าต้องการออกจากโปรแกรม dsk3d ให้พิมพ์คำสั่ง Exit หรือ Quit

หมายเหตุ สามารถอ่านการใช้งานอย่างละเอียดได้จาก TMS320C3x DSP Starter Kit User's Guide

ก.2 การเรียกใช้หน้าต่าง Debugger

คำสั่งที่เรียกใช้หน้าต่าง Debugger

Dsk3d [option]

dsk3d เป็นคำสั่งที่เรียกใช้ หน้าต่าง Debugger

option เป็นการเพิ่มรายละเอียดของ Debugger

ตารางที่ ก-1 แสดงรายการ option ของ Debugger โดยในตารางจะอธิบาย option บาง option ที่ถูกเรียกใช้บ่อย

ตารางที่ ก-1 รายการ option ของ Debugger บางคำสั่ง ที่ถูกเรียกใช้บ่อย

Option	อธิบายสรุป
? หรือ Help	การแสดงรายการของ Option
AUTO	ค้นหาอัตโนมัติถ้า พอร์ตขนานสนับสนุน โหมด 8 บิต หรือ 4 บิต
BW = 4, Nibble	การสื่อสารใช้พอร์ตนานแบบมาตรฐาน 4 บิต mode unidirectional
BW = 5, Byte	การสื่อสารที่ใช้พอร์ตนานแบบมาตรฐาน 8 บิต mode bidirectional
LPTx, LPT = x	เลือกพอร์ตพริ้นเตอร์ขนาน (LPT1 เป็น default)
PORT = 0x378	เลือก address ของ พอร์ตต่างๆ
RESET	รีเซต DSK (cold boot)
TEST	ค้นหาอัตโนมัติทั้ง LPT1, LPT2, และ LPT3 เพื่อติดต่อกับ DSK
T = xx	เพิ่มบัส xx I/O ไช้พิเศษในการส่งแต่ละครั้งสำหรับสายที่ยาวหรือมี noise
WIN = 1	การจัดการหน้าต่าง Time Slice ให้ทำงาน
WIN = 0	การจัดการหน้าต่าง Time Slice ให้หยุดการทำงาน และ เคลียร์อินเตอร์รัฟท์

ก.2.1 การแสดงรายการของ Option (? หรือ Help Option)

สามารถที่จะดู Option ที่แสดงในตารางที่ ก-1 โดยใช้ ? หรือ Help

ก.2.2 การเลือกพอร์ตพริ้นเตอร์ขนาน (LPT = 3 หรือ LPT # Option)

LPT Option จะเลือกพอร์ตพริ้นเตอร์ขนานจากการติดต่อของ DSK กับ Host

ตารางที่ ก-2 พอร์ตพริ้นเตอร์ขนานและหน้าที่

พอร์ตพริ้นเตอร์ขนาน	หน้าที่
LPT1 หรือ LPT = 1	คัดเลือกพอร์ตพริ้นเตอร์ที่ I/O address 0x378
LPT 2 หรือ LPT = 2	คัดเลือกพอร์ตพริ้นเตอร์ที่ I/O address 0x278
LPT 3 หรือ LPT = 3	คัดเลือกพอร์ตพริ้นเตอร์ที่ I/O address 0x3BC

หมายเหตุ สำหรับเครื่อง ESSA และ IBM PS/2s ใช้ LPTx ที่แตกต่างกัน

AT Conversion	EISA และ PS/2	I/O Address
LPT1	LPT2	0x378
LPT2	LPT3	0x278
LPT3	LPT1	0x3BC

ก.2.3 การเลือกพอร์ตพริ้นเตอร์ที่จะใช้ (พอร์ต option)

พอร์ต option เลือกพอร์ตพริ้นเตอร์ขนานใน Address ที่มีให้ดังตัวอย่าง

port =0x378

หมายความว่า เลือกพอร์ตพริ้นเตอร์ขนานของ host ใน Address 0x378

ก.2.4 การค้นหาพอร์ตพริ้นเตอร์อัตโนมัติ (TEST option)

ใช้ test option ไปค้นหาในระบบเพื่อหาพริ้นเตอร์ขนานที่จะติดต่อกับ DSK

หมายเหตุ ถ้ามีพอร์ตพริ้นเตอร์หรือการติดต่่อื่นๆ ไปยัง PC จะต้องหยุดการทำงานก่อนการใช้ test option

ก.3 การใช้หน้าต่าง Debugger

ก.3.1 หน้าต่าง DISASSEMBLY

หน้าต่าง DISASSEMBLY แสดงการจ้องพื้นที่หน่วยความจำของ assembly ดังแสดงในภาพที่ ก-7 ในหน้าต่างนี้จะแสดงบรรทัดของ code ซึ่งแต่ละบรรทัดจะแสดงให้เห็นถึงโครงสร้างของตำแหน่ง โครงสร้าง opcode, ชื่อ และโครงสร้างของ mnemonic บรรทัดที่แสดงแถบสว่างจะเป็นโครงสร้างต่อไปที่ถูกดำเนินการ

```

DISASSEMBLY
809847 LDIU @.bss,AR0
809848 LDIU 00002h,R0
809849 TSTB **AR0(64),R0
80984a BEQ $-3
80984b LDIU *-AR3(2),R0
80984c ASH 2,R0
80984d STI R0,**AR0(72)
80984e LDIU @.bss,AR0
80984f LDIU **AR0(76),R0
809850 ASH 16,R0
809851 ASH -18,R0
809852 STI R0,**AR3(1)
809853 LDIU *-AR3(1),AR0
809854 BUD AR0
809855 NOP

```

ภาพที่ ก-7 หน้าต่าง DISASSEMBLY

ในการเลือกหน้าต่าง DISASSEMBLY โดยกด ALT + D ขณะที่อยู่ในหน้าต่างนี้สามารถใช้เคอร์เซอร์เลือกบรรทัดและเลือกใช้ function key เพื่อตั้งเคลียร์ Break Point จากตารางที่มีรายละเอียดของ Function key

ก.3.2 หน้าต่าง CPU รีจิสเตอร์

หน้าต่าง CPU รีจิสเตอร์แสดงให้เห็นรีจิสเตอร์ที่มีอยู่ใน CPU ดังแสดงในภาพที่ ก-8 ตามปกติค่าที่บรรจุในรีจิสเตอร์จะเป็นเลขฐาน 16 สามารถกด F3 ค่าในรีจิสเตอร์จะเป็นแบบ Floating-Point-Decimal ถ้ากด F2 ค่าภายในรีจิสเตอร์จะเป็นแบบ 40 บิต (Hexadecimal)

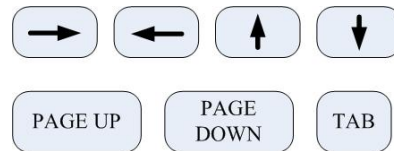
```

CPU REGISTERS
PC 00809847 SP 00809c2d
F0 800000002 F1 0000004934
F2 fd00000000 F3 8000000000
F4 0000000000 F5 fc4cccd00
F6 fc4cccd00 F7 fe15f6fd00
AR0 00808000 AR1 0080997b
AR2 00809f01 AR3 00809c2c
AR4 0080a000 AR5 0ae7f553
AR6 00000001 AR7 00000002
IR0 00809874 IR1 00000041
ST 00000024 RC ffffffff
RS 00000001 RE 00809924
DP 00000080 BK 00000449
IE 000000c4 IF 00000334
IOF 00000066 _dT 000096ab

```

ภาพที่ ก-8 หน้าต่าง CPU รีจิสเตอร์

การเปลี่ยนแปลงค่ารีจิสเตอร์ทำได้โดยกด ALT+C สามารถเขียนค่าที่แถบข้อมูลที่เป็นแถบสีและกด ENTER เพื่อยอมรับการเปลี่ยนแปลง เมื่อแน่ใจและใช้ key ดังนี้เพื่อเลือก data ที่ต้องการแก้ไข



ก.3.3 หน้าต่าง MEMORY

หน้าต่าง MEMORY แสดงให้เห็นช่วงของ MEMORY ดังแสดงในภาพที่ ก-9 ในหน้าต่างจะมี 2 ส่วน คือ

- Address ในคอลัมน์แรกจะเป็นเลขของตำแหน่งแรกในหน้าต่างของคอลัมน์ข้อมูล ตำแหน่งที่คอลัมน์ข้อมูลในหน้าจอจะมีตำแหน่งเดียวกับตำแหน่งของคอลัมน์ แต่ละตำแหน่งในคอลัมน์จะแสดงลักษณะของข้อมูลที่ถูกต้อง

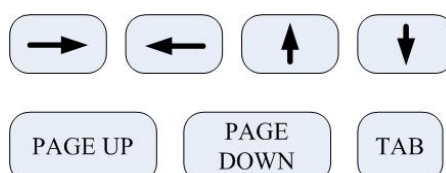
- Data ค่าที่มีอยู่ในคอลัมน์จะแสดงค่าให้เห็นในตำแหน่งนั้น

ตัวอย่างหน้าต่าง MEMORY มีข้อมูล 4 คอลัมน์ ดังนั้นในแต่ละตำแหน่งเริ่มต้นค่าจะเพิ่มขึ้นทีละ 4 ถึงหน้าต่างจะแสดงข้อมูลเพียง 4 คอลัมน์แต่ยังคงเป็นเพียงตำแหน่งของคอลัมน์เดียว เช่นที่ตำแหน่ง 0x00809804 มีค่าเท่ากับ 0x50600008, ที่ตำแหน่ง 0x00809805 มีค่าเท่ากับ 0x15400028 ที่ตำแหน่ง 0x00809808(ค่าแรกในแถวที่ 2) มีค่าเท่ากับ 0x500b0014, ที่ตำแหน่ง 0x00809809 มีค่าเท่ากับ 0x15400020 เป็นต้น

MEMORY				
809804	50600008	15400028	506003c1	5028997a
809808	500b0014	15400020	02740001	08780062
80980c	50600000	15400301	50400301	04e0005a
809810	6a0a0006	50600001	02400301	15400301
809814	50400301	04e0005a	6a07ffa	5028997a
809818	50600131	15400042	5028997a	15400043

ภาพที่ ก-9 หน้าต่าง MEMORY

การเปลี่ยนแปลงค่าของหน้าต่าง MEMORY สามารถทำได้โดยกด ALT+M จึงสามารถเขียนข้อมูลทับได้ การเลือก cell สามารถใช้ key ดังนี้



ก.3.4 หน้าต่าง COMMAND

หน้าต่าง COMMAND จะมีพื้นที่สำหรับส่งผ่านคำสั่ง ตอบรับคำสั่ง แสดงคำสั่งที่ผิดพลาด และข้อความผิดพลาด หน้าต่าง COMMAND มี 2 ส่วนคือ

- Command line ส่วนนี้มีไว้ป้อนคำสั่ง เมื่อต้องการส่งผ่านคำสั่ง
- ส่วนแสดงผล เป็นส่วนตอบรับคำสั่งที่ป้อนเข้ามาหรือแสดงเอาท์พุต อื่นๆ จากคำสั่งและแสดงข้อความผิดพลาด



ภาพที่ ก-10 หน้าต่าง COMMAND

สามารถใช้   เลือกคำสั่งที่ป้อนเข้ามาก่อนจาก Buffer (เครื่องหมาย > คือตัวที่ใช้แสดง Buffer) การแก้ไขคำสั่งแสดงในตารางที่ ก-3

ตารางที่ ก-3 การแก้ไขคำสั่ง

สิ่งที่ได้	ใช้ Command ต่อไปนี้
เลื่อนไปตลอดคำสั่ง	← →
แทรกและเขียนทับ	INS
ลบตัวอักษรที่ตำแหน่งเคอร์เซอร์	DEL
เลื่อนไปยังบรรทัดเริ่มต้น	HOME
เลื่อนไปยังบรรทัดสุดท้าย	END
เคลียร์คำสั่ง	ESC
เลือกคำสั่งจาก Buffer	↑ ↓

ก.3.5 การใช้เมนูช่วยเหลือ

สามารถกด F1 หรือปุ่ม H เพื่อให้หน้าต่างช่วยเหลือเปิดขึ้นมาแสดงในภาพที่ ก-11 เลือกจากรายการเมนูข้างล่างในการหารายละเอียดเพิ่มเติม

```

COMMANDS
-----
KEYBOARD COMMANDS
-----
F1      Help screen
F2      40 bit hex display
F3      FLOAT display
F4      Source/DASM debug toggle
F5      Run
F6      Display breakpoints
F7      Clear all breakpoints
F8      Single step
F9      Toggle DASM window size
F10     Step over function
shift+F8 Force Single step
shift+F10 Force Function step
ALT+D   Select Disassembly Window
ALT+M   Select Memory Window

EDITING A COMMAND
-----
Move Up/Dn/Pup/Pdn  H-Xtra help  S-save help to file

```

ภาพที่ ก-11 รายละเอียดของหน้าต่าง Help Menu

การเลื่อนไปยังหน้าต่าง Help สามารถใช้

- PGUP เลื่อนไปยังรายการด้านบน
- PGDN เลื่อนกลับไปยังรายการเดิม
- HOME กลับไปยังรายการแรกของ Help Menu
- END ไปยังรายการสุดท้ายของ Help Menu
- S เซฟ Help Text เป็นไฟล์
- ESC ออกจาก Help Menu และกลับไปยัง Debugger
- H เพื่อผ่านไปยัง Help อันดับที่ 2 ส่วนใหญ่จะเกี่ยวกับฮาร์ดแวร์และการใช้คำสั่งเฉพาะของ Debugger

ก.4 คำสั่ง Debugger

ส่วนนี้จะแสดงตารางสรุปปุ่ม Function และคำสั่ง Debugger

ตารางที่ ก-4 คำสั่งแก้ไขในบรรทัด

สิ่งที่ได้	ใช้คำสั่ง
เลื่อนเคอร์เซอร์ไปยังจุดเริ่มต้นของ Command line	HOME
เลื่อนเคอร์เซอร์ไปยังจุดสุดท้ายของ Command line	END
ลบตัวอักษรด้านซ้ายของเคอร์เซอร์	DEL
ลบตัวอักษรด้านขวาของเคอร์เซอร์	SHIFT+END
เลื่อนเคอร์เซอร์ไปทางด้านซ้าย	←
เลื่อนเคอร์เซอร์ไปทางด้านขวา	→

ตารางที่ ก-5 Command-Line Buffer Manipulation

สิ่งที่ได้	ใช้คำสั่ง
เรียกคำสั่งสุดท้าย	PAGE UP หรือ ▲
เรียกคำสั่งแรกใน Command line Buffer อีกครั้ง	PAGE DOWN หรือ ▼
ปฏิบัติในคำสั่งสุดท้ายอีกครั้ง	TAB

ตารางที่ ก-6 การสั่งงานโปรแกรม

สิ่งที่ได้	ใช้คำสั่ง
ปฏิบัติทีละโครงสร้างใน Single-step	SS
ปฏิบัติทีละ n โครงสร้าง	XN n
ปฏิบัติจนถึงโครงสร้างที่ถูกกำหนดใน addr ใน Single-step	XG addr
ปฏิบัติโปรแกรมจนถึง breakpoint	RUN
ปฏิบัติโปรแกรมและละเลย breakpoint run-free	RUNF

ตารางที่ ก-7 การแสดงผลและการเปลี่ยนแปลงข้อมูล

สิ่งที่ได้	ใช้คำสั่ง
การแสดงผลที่อยู่ในหน่วยความจำที่ addr ในหน้าต่าง memory	MEM addr
การเปลี่ยนแปลงค่าในหน่วยความจำที่ addr	MM addr
ใส่ค่า lang ไปในหน่วยความจำโดยเริ่มต้นที่ addr ด้วย val เป็นค่า floating-point เฉพาะจะถูกเปลี่ยนแปลงไปเป็น ค่า floating-point ของ TMS320	MM addr leng val
แสดงภาษา Assembly ที่ addr ในหน้าต่าง DISASSEMBLY	DASM addr
แสดงรีจิสเตอร์ extended-precision แบบ 40 บิต ในหน้าต่าง Register	REG40
แสดงรีจิสเตอร์ extended-precision แบบ floating-point ในหน้าต่าง Register	FLOAT
การเปลี่ยนแปลง reg ในหน้าต่าง CPU REGISTER กับค่าจาก expression ดังตัวอย่าง PC = 0x809800 R0 = 1.34	reg = expression

ตารางที่ ก-8 การจัดการ Breakpoint

สิ่งที่ได้	ใช้คำสั่ง
เซต Breakpoint ที่ addr	SB addr
เคลียร์ Breakpoint ที่ addr	CB addr
เคลียร์ทุก Breakpoint	CB
แสดงรายการ Breakpoint ทั้งหมดที่ถูกเซต	DB

ตารางที่ ก-9 การโหลดโปรแกรม

สิ่งที่ได้	ใช้คำสั่ง
โหลดไฟล์	LOAD filename
โหลดสัญลักษณ์	SLOAD filename
โหลดไบนารี	BLOAD filename
เคลียร์สัญลักษณ์	SCLEAR

ตารางที่ ก-10 Performing System Tasks

สิ่งที่ได้	ใช้คำสั่ง
รีเซต DSK	RESET
ออกจาก Debugger	QUIT, EXIT
ออกไปยัง DOS และปฏิบัติตามคำสั่ง, และพิมพ์ EXIT เพื่อกลับไปที่ Debugger	DOS (Expression to Run)
ออกไปยัง DOS และทำการแก้ไขไฟล์(ถ้าไม่มีไฟล์ให้แก้ไขจะโหลดไฟล์ปัจจุบันมาใช้)	EDIT filename
ออกไปยัง DOS และแปลง DSK แอสเซมเบอไปเป็นไฟล์แอสเซมเบอ	dsk3a filename.asm

ก.5 Quick Reference Guide

ตารางที่ ก-11 ปุ่ม Shortcuts ฟังก์ชันสำหรับหน้าต่าง DISASSEMBLY

ปุ่มฟังก์ชัน	คำอธิบาย
F1	หน้าจอ Help
F2	เซต Breakpoint ที่เคอร์เซอร์
F3	เคลียร์ Breakpoint ที่เคอร์เซอร์
F4	Run ที่เคอร์เซอร์
F5	Run
F6	หน้าจอ Breakpoint
F7	เคลียร์ Breakpoint ทั้งหมด
F8	Run โปรแกรมทีละขั้น
F9	Grow windows
F10	Step over
SHIFT+F9	เลือกหน้าต่าง DISASSEMBLY
ESC หรือ ENTER	Ecsape

ตารางที่ ก-12 ปุ่ม Shortcuts ฟังก์ชันสำหรับหน้าต่าง CPU

ปุ่มฟังก์ชัน	คำอธิบาย
F1	หน้าจอ Help
ESC	ออกจากหน้าต่าง CPU
HOME	เลื่อนขึ้นด้านบน
END	เลื่อนลงด้านล่าง
↑, ↓	เลื่อน cell ในแนวตั้ง
TAB	เลื่อน cell ในแนวนอน

ตารางที่ ก-13 ปุ่ม Shortcuts ฟังก์ชันสำหรับหน้าต่าง MEMORY

ปุ่มฟังก์ชัน	คำอธิบาย
F1	หน้าจอ Help
F9	Toggle windows size
ESC	ออกจากหน้าต่าง MEMORY
HOME	เลื่อนขึ้นด้านบน
END	เลื่อนลงด้านล่าง
PAGE UP, PAGE DOWN	เลื่อนหน้าขึ้นหรือลง
↑, ↓	เลื่อน cell ในแนวตั้ง
TAB	เลื่อน cell ในแนวนอน

ตารางที่ ก-14 ปุ่ม Shortcuts ฟังก์ชันสำหรับหน้าต่าง COMMAND

ปุ่มฟังก์ชัน	คำอธิบาย
F1	แสดงรายการคำสั่ง
F2	รีจิสเตอร์ extended-precision ฐาน 16 แบบ 40 บิต
F3	รีจิสเตอร์ extended-precision ฐาน 10 แบบ floating-point
F4	Toggle ระหว่างการแสดงผลไฟล์ source และ หน่วยความจำ DISASSEMBLY
F5	Run โปรแกรมจนถึง Breakpoint ต่อไป
F6	แสดง Breakpoint ทั้งหมด

ตารางที่ ก-14 (ต่อ)

ปุ่มฟังก์ชัน	คำอธิบาย
F7	เคลียร์ Breakpoint ทั้งหมด
F8	Run โปรแกรมทีละขั้น
F9	Toggle the DISASSEMBLY eindows size
F10	Run โปรแกรมทีละขั้นและกลับไปขั้นตอนที่ผ่าน มาด้วย
ALT+D	เลือกหน้าต่าง DISASSEMBLY
ALT+M	เลือกหน้าต่าง MEMORY
ALT+C	เลือกหน้าต่าง COMMAND
ESC	ออกจากหน้าต่างที่ทำงาน

ภาคผนวก ข

โปรแกรมที่ใช้บนบอร์ด TMS320C31 DSP STARTER KIT

ข.1 โปรแกรมลดขนาดสัญญาณคลื่นไฟฟ้าหัวใจ 2 เท่า

```

#include "c:\C3xTOOL\aiccomc.c"
#include "c:\C3xTOOL\math.h"

int AICSEC[4] = {0x162c,0x1,0x72e6,0x63};
volatile int *mem1 = (volatile int*) 0x100000;
volatile int *mem2 = (volatile int*) 0x700000;
main()
{
int result = 1,x0,i;
float fx[8];

float y2 = 0.1, y1 = 0.1,y0;
float x2,x1;
float a0 = 1.0000, a1 = 0 , a2 = 0.1716;
float b0 = 1.0000, b1= 0 , b2 = 0.2929;
int u;
int j;
int x[8];
float yy;
//*****save 2 *****
AICSET();
i = 32766;
    mem1 = (volatile int*)0x100000;
    u=1;
    while(i != 1)
    {
x0 = UPDATE_SAMPLE(result);
j = u%2; // time 2
        if (j == 0)
        {
            *mem1=x0;
            mem1++;
            i--;
        }
u = u +1;
    }
}

```

```

//*****
mem1 = (volatile int*)0x100000;
mem2 = (volatile int*)0x700000;
i = 32764;
while(i > 0)
{
    *mem2=*mem1;

    mem1++;

    mem2++;

    mem2++;

i--;
    i--;
}

mem2 = (volatile int*)0x700000;
i =32764;
while(i > 0)
{
    fx[1]=*mem2;

    mem2++;

    mem2++;

fx[2]=*mem2;

    mem2++;

    mem2++;

    fx[3]=*mem2;

    //----- lagpol-----

yy = ((0.375*fx[1])+(0.75*fx[2])+(-0.125*fx[3]));

//-----

Mem2--;

Mem2--;

Mem2--;

*mem2= (int)(yy);

Mem2++;

```

```

        i--;
        i--;
    }

    //***** loader output *****

while(1)
{
    mem2 = (volatile int*)0x700000;
    i =32764;
while(i != 0)
    {
        result = *mem2;
        x0 = UPDATE_SAMPLE(result);

        mem2++;
        i--;
    }
}
while(1);
}

```

ข.2 โปรแกรมลดขนาดสัญญาณคลื่นไฟฟ้าหัวใจ 4 เท่า

```

#include "c:\C3xTOOL\aiccomc.c"
#include "c:\C3xTOOL\math.h"

int AICSEC[4] = {0x162c,0x1,0x72e6,0x63};
volatile int *mem1 = (volatile int*) 0x100000;
volatile int *mem2 = (volatile int*) 0x700000;
main()
{
    int result = 1,x0,i;
    float fx[8];
    float y2 = 0.1, y1 = 0.1,y0;
    float x2,x1;
    float a0 = 1.0000, a1 = 0 , a2 = 0.1716;
    float b0 = 1.0000, b1=0 , b2 = 0.2929;
    int u;
    int j;
    int x[8];
    float yy[5];
    //*****save 4 *****
    AICSET();
    i = 32766;
    mem1 = (volatile int*)0x100000;

```

```

    u=1;
    while(i != 0)
    {
x0 = UPDATE_SAMPLE(result);
j=u%4; // time 4
    if (j == 0)
    {
        *mem1=x0;
        mem1++;
        i--;
    }
    u=u+1;
}
//*****
    mem1 = (volatile int*)0x100000;
    mem2 = (volatile int*)0x700000;
    i=32764;
    while(i > 0)
    {
        *mem2=*mem1;
        mem1++;
        mem2++;
        mem2++;
        mem2++;
        mem2++;
        i--;
    }
    i--;
    i--;
    i--;
}

mem2 = (volatile int*)0x700000;
i=32764;
while(i > 0)
{
    fx[1]=*mem2;
    mem2++;
    mem2++;
    mem2++;
    mem2++;
fx[2]=*mem2;
    mem2++;
    mem2++;
    mem2++;
    mem2++;
    fx[3]=*mem2;
    //----- lagpol-----

```

```

        yy[0] = ((0.6565*fx[1])+(0.4375*fx[2])+(-0.0938*fx[3]));
yy[1] = ((0.375*fx[1])+(0.750*fx[2])+(-0.1250*fx[3]));
yy[2] = ((0.15625*fx[1])+(0.9375*fx[2])+(-0.0938*fx[3]));
//-----
        mem2--;
        mem2--;
        mem2--;
        mem2--;
        mem2--;
        mem2--;
        mem2--;
        *mem2= (int)(yy[0]);
        mem2++;
*mem2= (int)(yy[1]);
        mem2++;
*mem2= (int)(yy[2]);
        mem2++;

        i--;
        i--;
        i--;
        i--;
    }

//***** loader output *****/
while(1)
{
    mem2 = (volatile int*)0x700000;
    i=32764;
while(i != 0)
    {
        result = *mem2;
        x0 = UPDATE_SAMPLE(result);
        mem2++;
        i--;
    }
}
while(1);
}

```

ข.3 โปรแกรมลดขนาดสัญญาณคลื่นไฟฟ้าหัวใจ 8 เท่า

```

#include "c:\C3xTOOL\aiccommc.c"
#include "c:\C3xTOOL\math.h"

int AICSEC[4] = {0x162c,0x1,0x72e6,0x63};
volatile int *mem1 = (volatile int*) 0x100000;
volatile int *mem2 = (volatile int*) 0x700000;
main()
{
int result = 1,x0,i;
float fx[8];
float y2 = 0.1, y1 = 0.1,y0;
float x2,x1;
float a0 = 1.0000, a1 = 0 , a2 = 0.1716;
float b0 = 1.0000, b1=0 , b2 = 0.2929;
int u;
int j;
int x[8];
float yy[10];
//*****save 8 *****
AICSET();
i = 32766;
    mem1 = (volatile int*)0x100000;
    u=1;
    while(i != 0)
    {
x0 = UPDATE_SAMPLE(result);
j=u%8; // time 8
    if (j == 0)
    {
        *mem1=x0;
        mem1++;
        i--;
    }
    u=u+1;
}
//*****
    mem1 = (volatile int*)0x100000;
    mem2 = (volatile int*)0x700000;
    i=32764;
    while(i > 0)
    {
        *mem2=0x00000000;
        mem2++;
        i--;
    }
    mem2 = (volatile int*)0x700000;

```



```

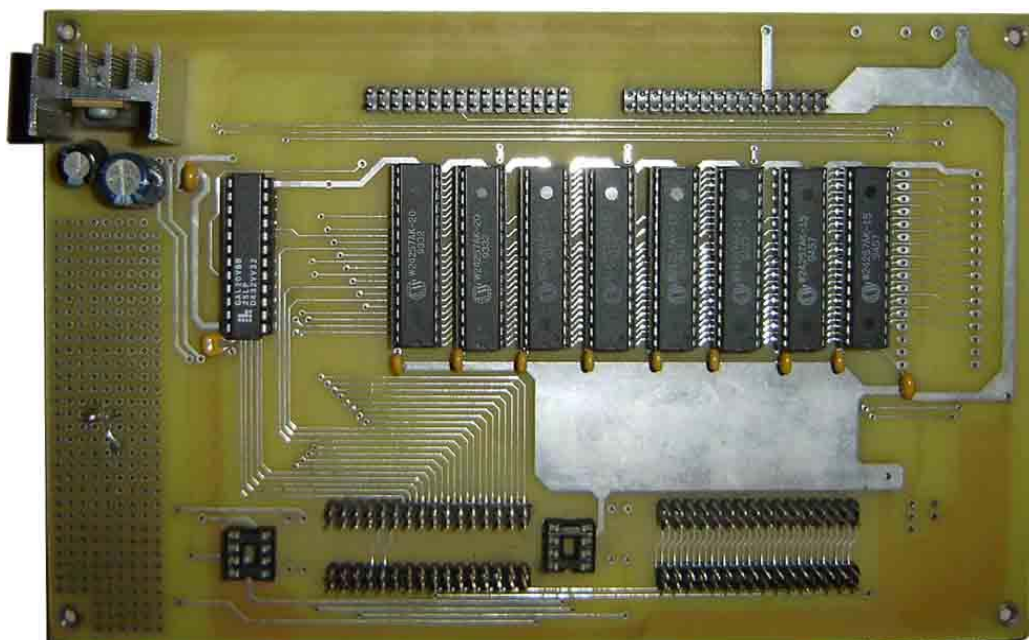
//***** loader output *****
while(1)
{
    mem2 = (volatile int*)0x700000;
    i=32764;
while(i != 0)
    {
        result = *mem2;
        x0 = UPDATE_SAMPLE(result);
        mem2++;
        i--;
    }
}
while(1);
}
```

ภาคผนวก ค

บอร์ดหน่วยความจำภายนอก

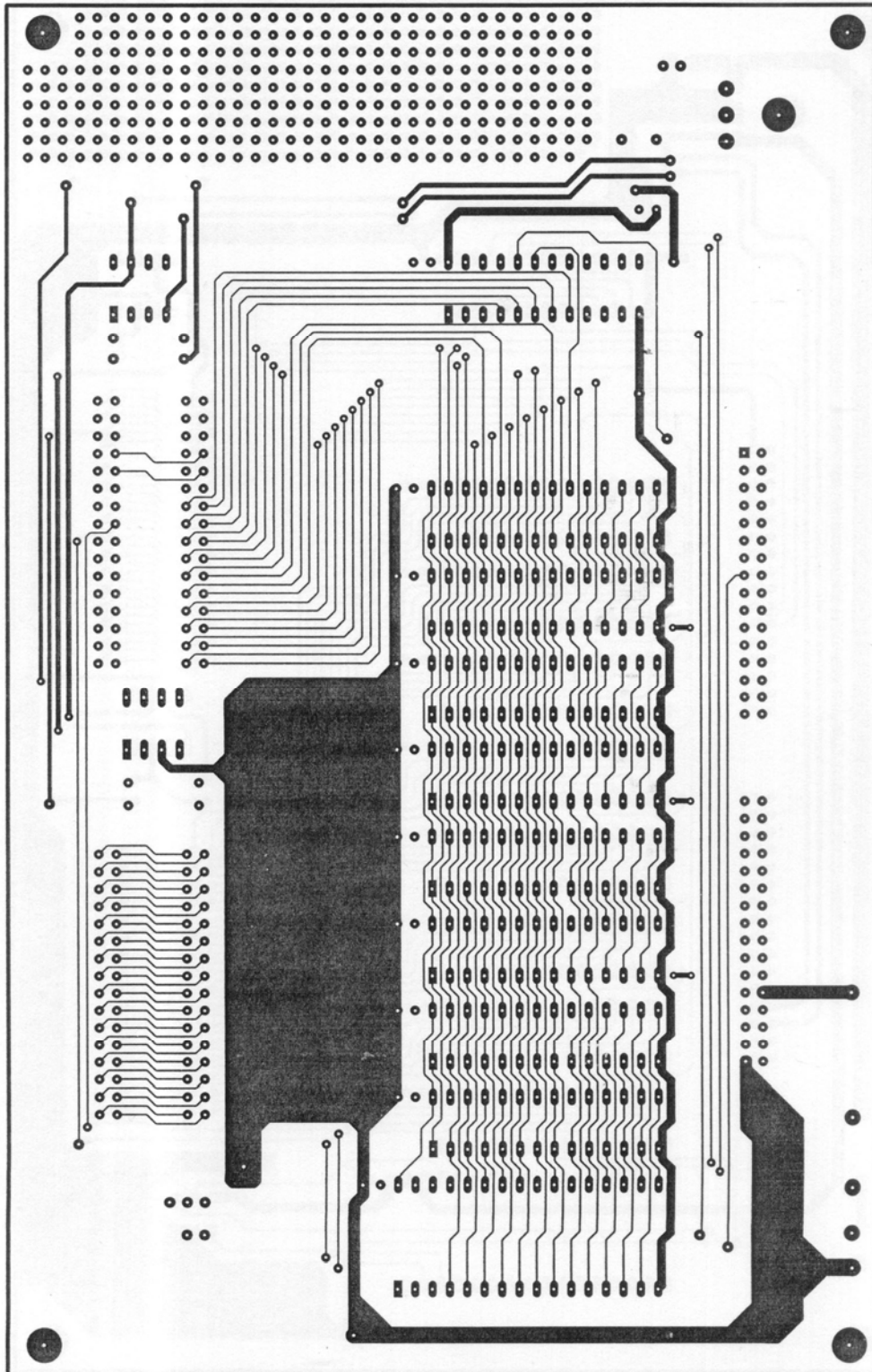
ค.1 การออกแบบบอร์ดหน่วยความจำภายนอก

หน่วยความจำข้อมูลหรือ RAM ที่ใช้ในการออกแบบคือ IC เบอร์ 61256 เป็นหน่วยความจำขนาด 32 K ที่สามารถอ่านและเขียนข้อมูลเข้าไปเก็บไว้ในตัวใน ข้อมูลที่เก็บไว้ใน RAM จะสูญหายไป เมื่อไม่มีการจ่ายไฟเลี้ยง จึงใช้เป็นตัวเก็บโปรแกรมขอมูลชั่วคราว RAM ที่นำมาใช้มีขนาด 8 บิต จึงต้องใช้ RAM 4 ตัวมาต่อ DATA BUSES ขนาด 32 บิต จึงจะได้ RAM ขนาด 32 K เมื่อต้องการ RAM ขนาด 64 K จึงต้องใช้ RAM ทั้งหมด 8 ตัว ส่วนการถอดรหัสสัญญาณ Address จะใช้ GAL เบอร์ PAL22V10 ทำหน้าที่เป็นตัวถอดรหัสสัญญาณ Address ที่ใช้ในการเลือกตำแหน่งของ RAM ซึ่งสามารถถอดรหัสออกมาได้ 2 ช่วงตามสถานะของสัญญาณ A8 ถึง A23 คือช่วง 100000h-107FFFh ซึ่งจะเป็นของ RAM ชุดที่ 1 และช่วง 108000h-10FFFEh จะเป็น RAM ของชุดที่ 2 โดยในงานวิจัยนี้จะออกแบบโดยใช้ RAM ชุดที่ 1 เป็น RAM ในการเก็บสัญญาณ คลื่นไฟฟ้าหัวใจ ดันฉบับจากเครื่อง จำลองคลื่นไฟฟ้าหัวใจ ที่ผ่านการลดขนาดสัญญาณลงแล้ว และจะใช้ หน่วยความจำภายในบอร์ด TMS320C31 DSK เป็นส่วนที่เก็บซอฟต์แวร์ที่ใช้ในการประมวลผล และนำสัญญาณคลื่นไฟฟ้าหัวใจ ที่ผ่านกระบวนการในคืนค่าสัญญาณ มาเก็บไว้ในส่วน RAM ชุดที่ 2 ของ บอร์ดหน่วยความจำภายนอก



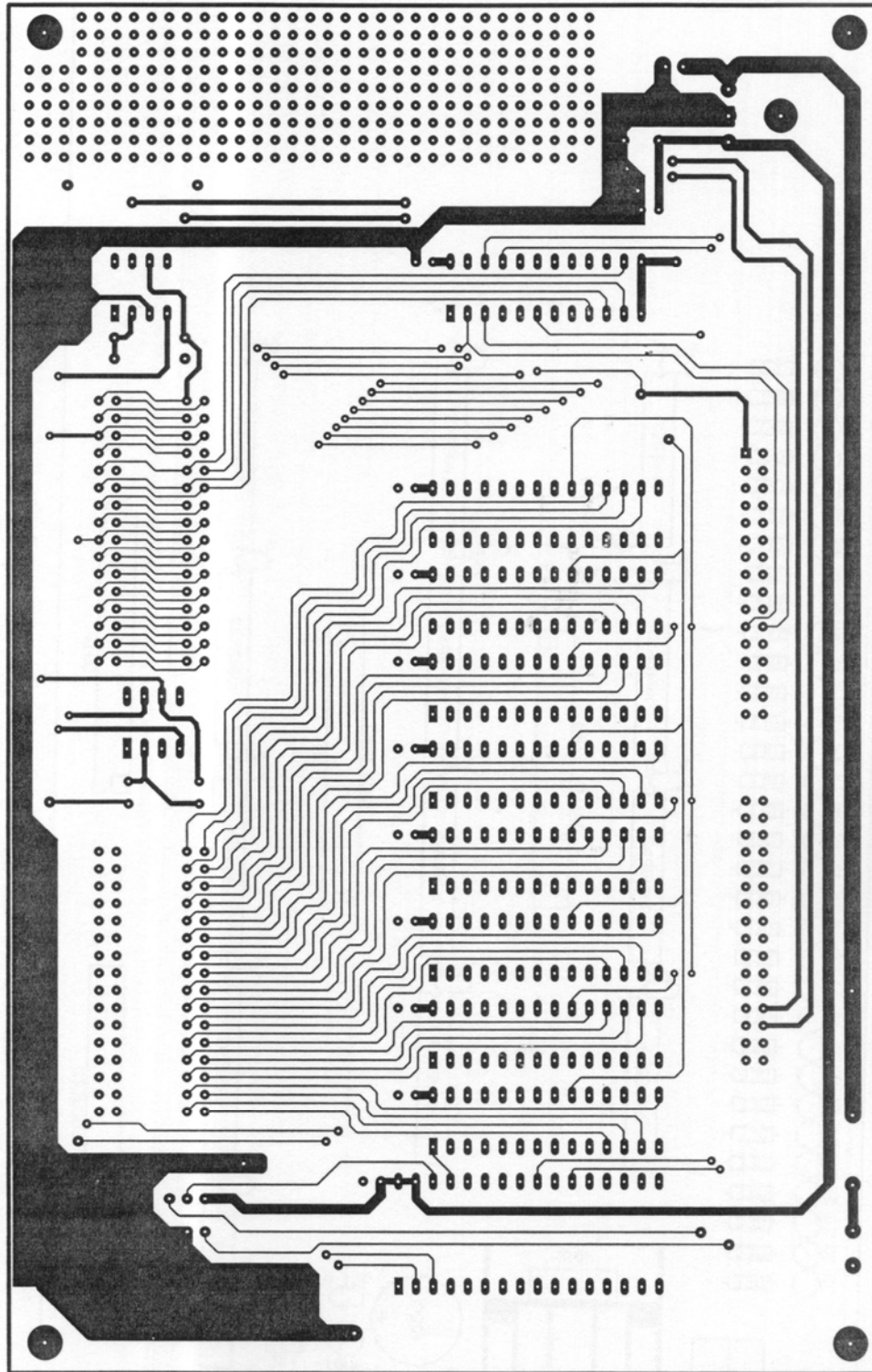
ภาพ ค-1 บอร์ดหน่วยความจำภายนอก

ค.2 ลายวงจรบอร์ดหน่วยความจำภายนอก(ด้านหน้า)



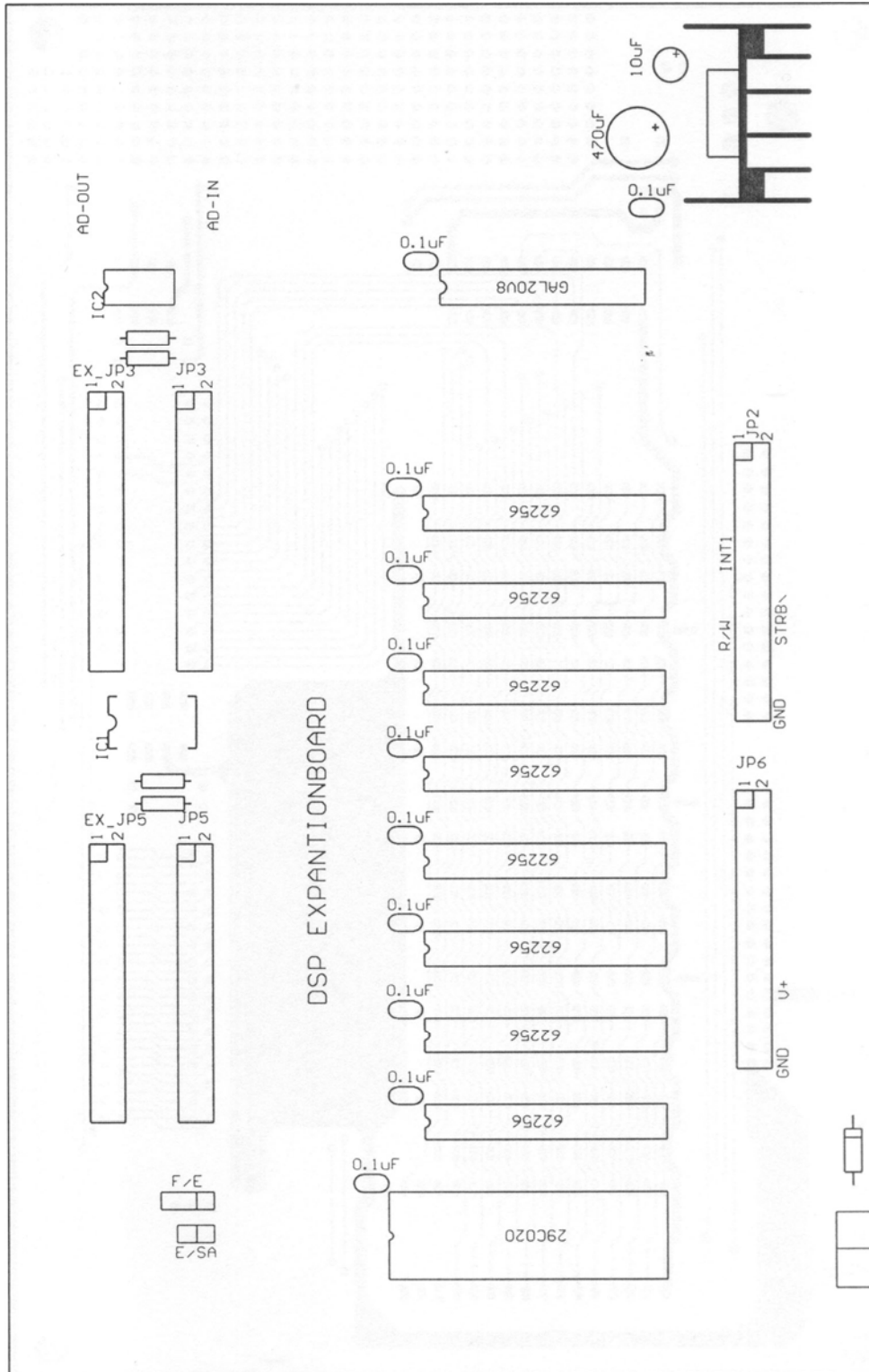
ภาพ ค-2 ลายวงจรบอร์ดหน่วยความจำภายนอก(ด้านหน้า)

ค.3 ลายวงจรบอร์ดหน่วยความจำภายนอก(ด้านหลัง)



ภาพ ค-3 ลายวงจรบอร์ดหน่วยความจำภายนอก(ด้านหลัง)

ค.4 ตำแหน่งการวางอุปกรณ์บนบอร์ดหน่วยความจำภายนอก



ภาพ ค-4 การวางอุปกรณ์บนบอร์ดหน่วยความจำภายนอก

ค.5 โปรแกรม PAL20V8

CHIP C3x GAL20V8 ; 7000000-70ffff

NC RW STRB A15 A16 A17 A18 A19 A20 A21 A22 GND

OE A23 T1 T2 T11 T22 CES2 CES1 OEF CEF NC VCC

EQUATIONS

/CES1 = /STRB*/A23*/A22*/A21*A20*/A19*/A18*/A17*/A16*/A15 ; 0x100000-107fff

/CES2 = /STRB*/A23*A22*A21*A20*/A19*/A18*/A17*/A16*/A15 ; 0x700000-707fff

/CEF = /STRB*/A23*A22*/A21*/A20*/A19*/A18*/A17

OEF = /RW

/T1 = /A23*/A22*A21*A20*/A19*/A18*/A17*/A16*/A15 ; 300000

/T2 = /A23*/A22*/A21*A20*/A19*/A18*/A17*/A16*/A15 ; 900000

/T11 = /STRB*/A23*/A22*A21*A20*/A19*/A18*/A17*/A16*/A15 ; 300000

/T22 = /STRB*A23*/A22*/A21*A20*/A19*/A18*/A17*/A16*/A15 ; 900000

ภาคผนวก ง

สถาปัตยกรรมของบอร์ด TMS320C31 DSP STARTER KIT

ง.1 สถาปัตยกรรมของ TMS320C31

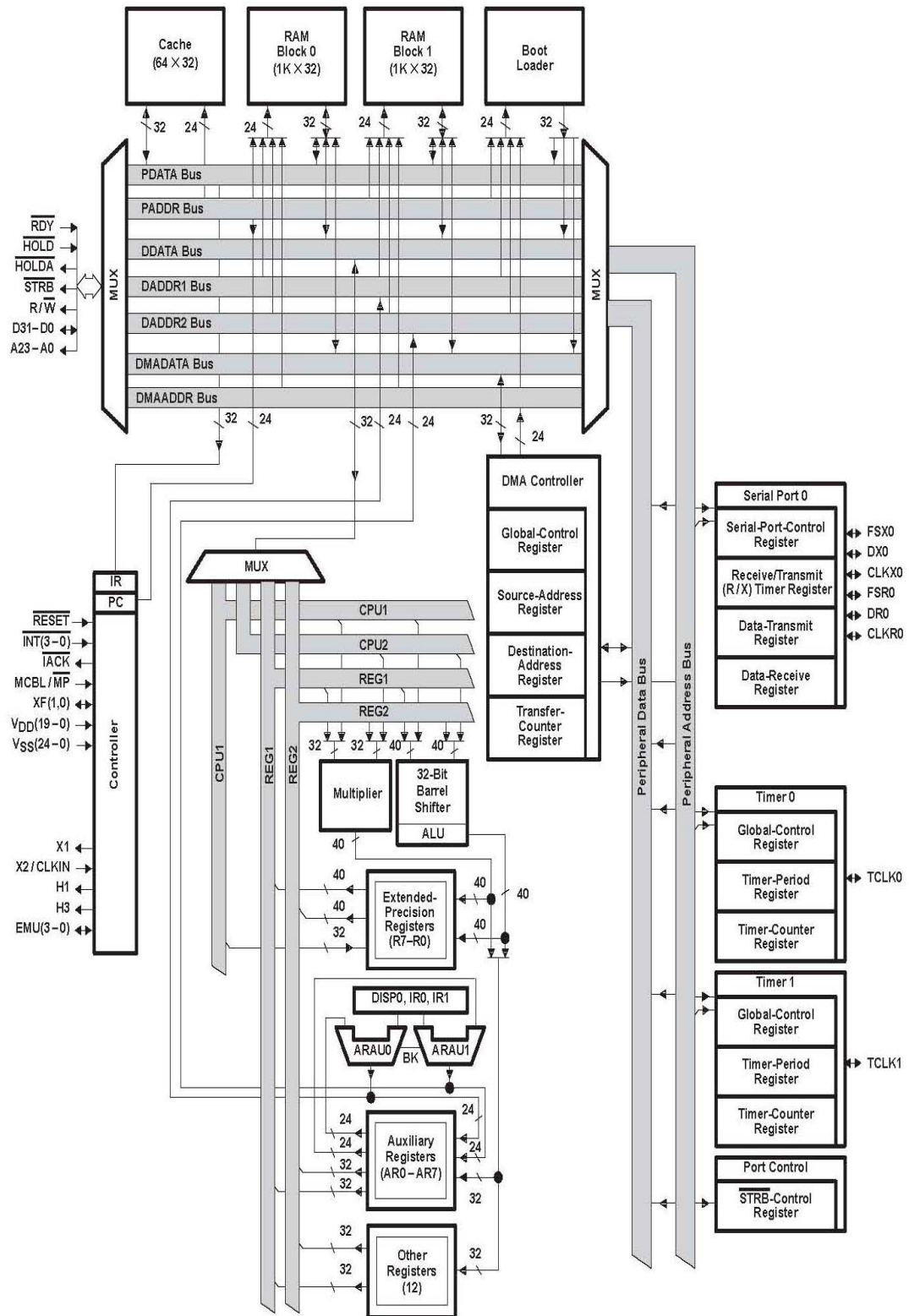
สถาปัตยกรรมของ TMS320C31 ประกอบด้วยส่วนหลักๆดังนี้

- หน่วยประมวลผลกลาง (CPU)
- หน่วยความจำ (Memory Organization)
- ลักษณะบัสภายใน (Internal Bus Operation)
- ลักษณะบัสภายนอก (External Bus Operation)
- อุปกรณ์สนับสนุน (Peripherals)
- ชุดควบคุมการเข้าถึงหน่วยความจำโดยตรง (Direct Memory Access Controller)

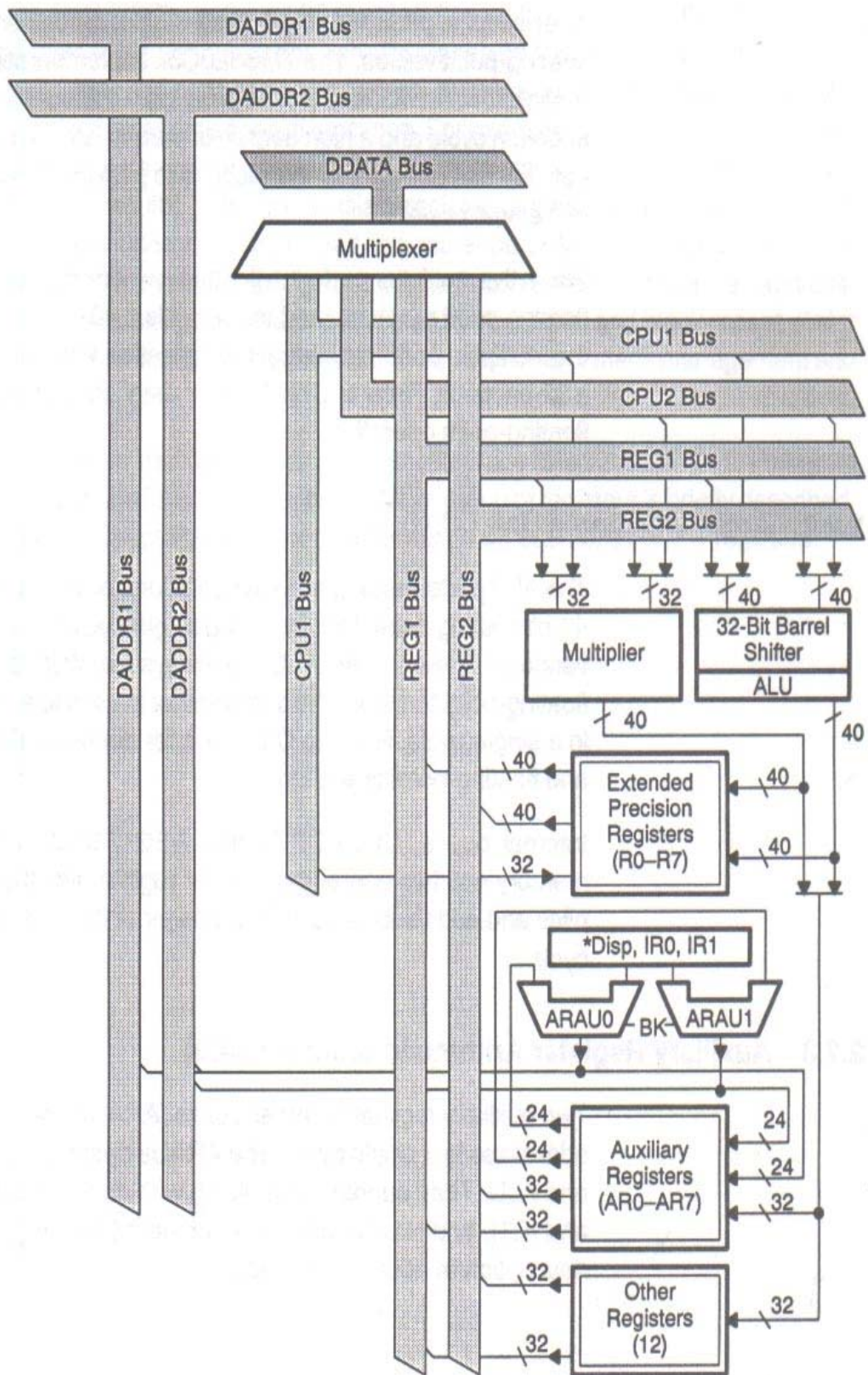
ง.1.1 หน่วยประมวลผลกลาง (CPU)

สถาปัตยกรรมของ TMS320C31 ถูกสร้างแบบ Harvest Architecture ทำให้หน่วยประมวลผลกลางมีประสิทธิภาพเพิ่มขึ้น สามารถทำงานไปพร้อมๆกันได้ สำหรับหน่วยประมวลผลกลางจะประกอบด้วยส่วนย่อยต่างๆ ดังนี้

- ตัวคูณ (Multiplier)
- หน่วยคำนวณ (ALU)
- 32-บิต barrel Shifter
- บัสภายใน (Internal bus)
- รีจิสเตอร์ช่วย (Auxiliary register)
- แฟ้มรีจิสเตอร์ของซีพียู (CPU register file)



ภาพที่ ง-1 บล็อกไดอะแกรมของ TMS320C31



ภาพที่ ง-2 หน่วยประมวลผลกลางของ (CPU) ของ TMS320C31

ง.1.1.1 ตัวคูณ (Multiplier)

ตัวคูณจะทำงานภายใน 1 ไชเคิล ซึ่งจัดการเกี่ยวกับตัวเลขจำนวนเต็ม (Integer) ขนาด 24, 32 บิต และตัวเลขแบบจุดทศนิยม (Floating Point) สามารถทำงานแบบขนานไปพร้อมกับการทำงานของ ALU ซึ่งจะมีคำสั่งการทำงานแบบขนาน

เมื่อตัวคูณทำการคูณข้อมูลขนาด 32 บิต แบบจุดทศนิยม จะถูกนำมาทำการคำนวณจะได้ผลลัพธ์เป็นขนาด 40 บิต (Extend precision) หรือถ้าเป็น 24 บิต จะได้ผลลัพธ์เป็นขนาด 32 บิต

ง.1.1.2 หน่วยคำนวณALU

ALU จะทำงานภายใน 1 ไชเคิล บนเลขจำนวนเต็มขนาด 32 บิต และตัวเลขแบบจุดทศนิยมขนาด 40 บิต สามารถแปลงตัวเลขระหว่างเลขจำนวนเต็มกับตัวเลขแบบจุดทศนิยมผลลัพธ์ของ ALU จะเป็น 32 และ 40 บิต เสมอภายใน ALU มีวงจรถูกเลื่อน (Barrel Shifter) ขนาด 32 บิต ระบบบัสภายใน CPU1/CPU2 และ REG1/REG2 ซึ่งสามารถนำโอเปอร์เรนด์ สองชุดจากหน่วยความจำและโอเปอร์เรนด์สองชุดจากแฟ้มรีจิสเตอร์ ซึ่งการทำเช่นนี้จะเห็นว่าสามารถทำงานแบบขนานระหว่าง ALU ไปพร้อมกับการทำงานของตัวคูณ (Multiplier) ได้ภายใน 1 ไชเคิล

ง.1.1.3 Auxiliary Register Arithmetic Unit (ARAUs)

หน่วยคำนวณสำหรับรีจิสเตอร์ช่วย (ALU) สองตัวสามารถกำเนิดสัญญาณแอดเดรสสองสัญญาณได้พร้อมกัน ARAU สามารถทำงานได้พร้อมทั้งตัวคูณและ ALU การอ้างแอดเดรสเป็นแบบ displacement, index register (IR0, IR1), circular, บิต-reversed

ง.1.1.4 แฟ้มรีจิสเตอร์ (CPU Register File)

TMS320C31 มี 28 รีจิสเตอร์ที่สนับสนุนการทำงานของตัวคูณ และ ALU สามารถใช้รีจิสเตอร์เหล่านี้ในลักษณะงานต่างๆไปตามต้องการ ซึ่งอย่างไรก็ตามรีจิสเตอร์จะถูกแบ่งเพื่อทำงานเฉพาะอย่าง เช่น รีจิสเตอร์ R0 – R7 (Extended Precision Register) จะถูกออกแบบมาเพื่อให้เก็บผลลัพธ์ที่เป็นเลขแบบจุดทศนิยม รีจิสเตอร์ช่วย (Auxiliary AR0 – AR7) ถูกออกแบบมาเพื่อใช้งานต่างๆไป การอ้างแอดเดรสเป็นแบบตรง (Direct Addressing Mode) ใช้เก็บที่เป็นตัวเลขจำนวนเต็มขนาด 32 บิต และการทำงานทางตรรกะ (Logical) รีจิสเตอร์ที่เหลือจะทำหน้าที่เกี่ยวกับระบบ เช่น การอ้างแอดเดรส การจัดการสแตก(Stack) การจัดการสถานะ (Status) การขัดจังหวะ (Interrupt) การทำงานซ้ำๆเป็นกลุ่ม (Block Repeat)

ตารางที่ ง-1 รีจิสเตอร์ต่างๆและความหมาย

ชื่อรีจิสเตอร์	หน้าที่การทำงาน
R0 – R7	Extended – precision register 0 – 7
AR0 – AR7	Auxiliary register 0 – 7
DP	Data – page pointer
IR0	Index register 0
IR1	Index register 1
Bk	Block size
SP	System stack pointer
ST	Status register
IE	CPU/DMA Interrupt enable
IF	CPU Interrupt flags
IOF	I/O flags
RS	Repeat start address
RE	Repeat end address
RC	Repeat counter
PC	Program Counter

รีจิสเตอร์ขนาดพิเศษ (Extended – Precision Register R0 – R7) เป็นรีจิสเตอร์ขนาด 40 บิต สนับสนุนการทำงานของตัวเลขจำนวนเต็มขนาด 32 บิต และ 40 บิต สำหรับเลขจุดทศนิยม คำสั่งใดๆจะถือว่าเป็นเลขจุดทศนิยมบิตที่ 0 – 39 ถ้าคำสั่งเป็นการทำงานของเลขจำนวนเต็ม บิตที่ 0 – 31 จะถูกใช้ ส่วนบิตที่ 32 – 39 จะยังคงเหมือนรูปแบบการเก็บข้อมูลเดิม

รีจิสเตอร์ช่วย (Auxiliary Register AR0 – AR7) สามารถที่จะเข้าถึงโดย CPU และสามารถถูกเปลี่ยนแปลงแก้ไขโดย ARAUs ซึ่งเป็นหน่วยความจำสำหรับรีจิสเตอร์ช่วย (มีสองตัว) ซึ่งมีหน้าที่พื้นฐานของรีจิสเตอร์ช่วย คือ การกำเนิดสัญญาณแอดเดรสขนาด 24 บิต สามารถใช้งานในลักษณะที่เป็นตัวนับจำนวนรอบ (Loop Counter) และยังสามารถเก็บข้อมูลต่างๆไปขนาด 32 บิต ซึ่งสามารถถูกแก้ไขเปลี่ยนแปลงโดยตัวคูณ (Multiplier) และ ALU

Data Page Pointer (DP) เป็นรีจิสเตอร์ขนาด 32 บิต บิต 0 – 7 (8 บิต LSB) ของรีจิสเตอร์ DP ถูกใช้โดยโหมด การอ้างแอดเดรสแบบตรง ทำหน้าที่เสมือนตัวชี้เพจ (Page) ของข้อมูล 1 เพจ มีขนาด 64 กิโลเวิร์ด (64 Kwords) ซึ่งมีทั้งหมด 256 เพจ

Index Register (IR0, IR1) เป็นรีจิสเตอร์ขนาด 32 บิต เป็นตัวเก็บข้อมูลโดย ARAU (Auxiliary Register Arithmetic Unit) เพื่อทำการประมวลแอดเดรสแบบ อินเด็กส์ (Index Addressing)

System Stack Pointer (SP) เป็นรีจิสเตอร์ขนาด 32 บิต เป็นตัวเก็บค่าของแอดเดรสของสแตค ส่วนบนสุดของคำสั่งพุช (Push) จะมีผลทำให้ SP มีค่าเพิ่มขึ้น 1 และ POP มีผลทำให้

SP มีค่าลดลง 1 นอกจากคำสั่ง Push และ POP แล้วคำสั่ง TRAP, CALLS, RETURN ก็จะมีผลต่อรีจิสเตอร์ SP ด้วย

Status Register (ST) เป็นตัวเก็บข้อมูลซึ่งแสดงถึงสถานะต่างๆของ ซีพียู เช่น ผลจากการกระทำคำสั่งต่างๆสถานะของ Status Register จะเปลี่ยนแปลงไป เช่น ผลลัพธ์เป็น 0, เป็นค่าลบ เป็นต้น

CPU/DMA Interrupt Enable Register (IE) เป็นรีจิสเตอร์ขนาด 32 บิต บิตที่ 0 – 10 จะเป็นการอนุญาตให้ทำการ Interrupt ได้หรือไม่ การอนุญาตให้ทำการเข้าถึงหน่วยความจำโดยตรง (DMA) จะอยู่ที่ตำแหน่งบิต 16 – 26

CPU Interrupt Flag Register (IF) เป็นรีจิสเตอร์ขนาด 32 บิต บิตที่ 0 – 10 จะบอกสถานะของการ interrupt และบิตที่ 16 – 26 จะบอกสถานะของการทำดีเอ็มเอ

I/O Flags Register (IOF) ใช้ควบคุมการทำงานของขา XF0 และขา XF1 ซึ่งขาเหล่านี้จะถูกติดตั้งให้เป็น Input และ Output

Program Counter (PC) เป็นรีจิสเตอร์ขนาด 32 บิต ใช้เก็บตำแหน่งแอดเดรสของคำสั่งก่อนหน้าคำสั่งปัจจุบัน

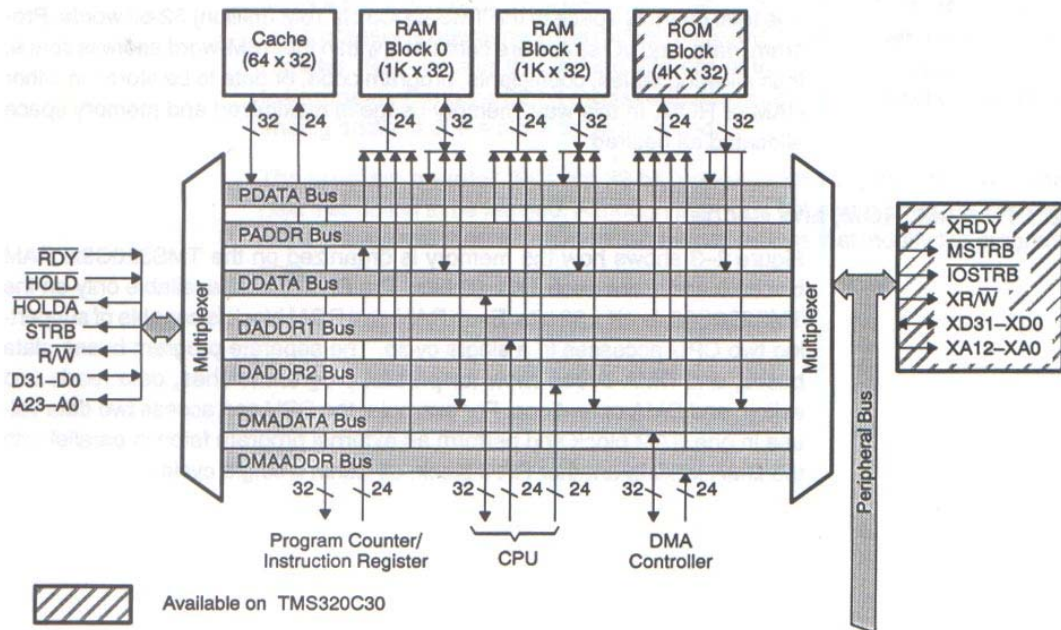
Repeat Counter (RC) เป็นรีจิสเตอร์ขนาด 32 บิต สำหรับเก็บค่าจำนวนครั้งในการกระทำคำสั่งแบบซ้ำๆกันเป็นกลุ่ม (Block Repeat) ถ้าซีพียูทำงานในโหมดกระทำซ้ำ (Repeat Mode) ซีพียูจะกระทำซ้ำตั้งแต่ตำแหน่งที่ถูกเก็บอยู่ในรีจิสเตอร์ Repeat Start Address (RS) จนถึงตำแหน่งที่ถูกเก็บในรีจิสเตอร์ Repeat End Address (RE)

ง.1.2 การจัดหน่วยความจำ (Memory Organization)

ขนาดของหน่วยความจำที่ TMS320C31 RAM บล็อก 0 และ 1 แต่ละบล็อกจะมีขนาด 1K 32 บิต word ในส่วนของโปรแกรม, ข้อมูล, พอร์ต, อินพุตก็อยู่ใน 16 Mbyte นี้

ง.1.2.1 RAM,ROM และ Cache

หน่วยความจำที่อยู่ภายใน TMS320C31 RAM บล็อก 0 และ 1 แต่ละบล็อกจะมีขนาด 1K 32 บิต ROM มีขนาด 4K 32 บิต ระบบบัสถูกแบ่งออกเป็นโปรแกรมบัส (Program buses) บัสข้อมูล (Data Buses) บัสดีเอ็มเอ (DMA Buses) เพื่อให้สามารถทำงานแบบขนานได้ เช่น CPU สามารถเข้าถึงข้อมูลที่อยู่ใน RAM Block และสามารถ Fetch โปรแกรมจากหน่วยความจำภายนอกพร้อมกับการนำข้อมูลจาก RAM บล็อกอื่นเข้ามา (DMA) ซึ่งทำงานภายใน 1 Cycle หน่วยความจำแคชขนาด 64×32 บิต ใช้สำหรับเก็บคำสั่งที่มีการใช้งานบ่อยๆ

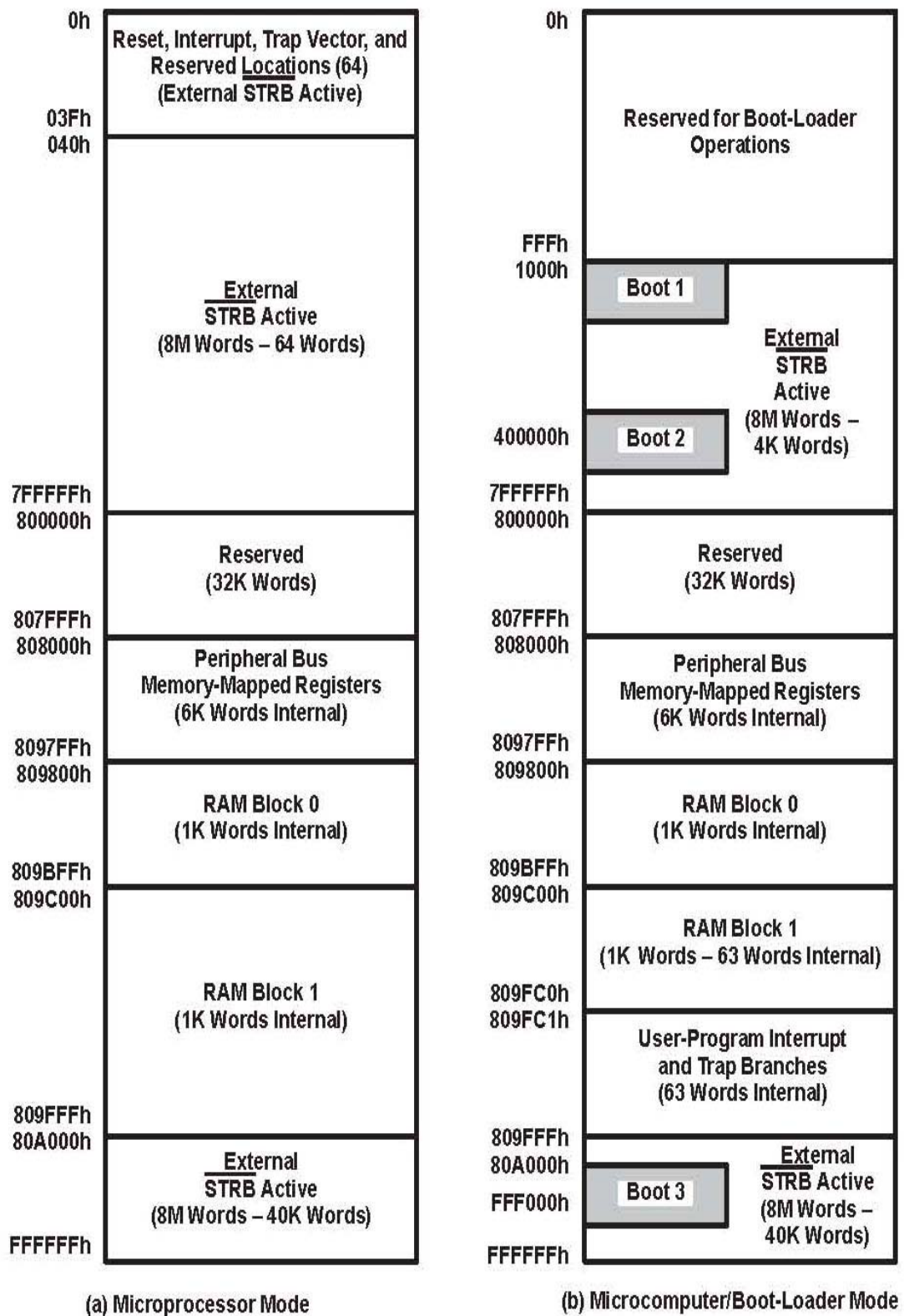


ภาพที่ ง-3 การจัดหน่วยความจำของ TMS320C31

ง.1.2.2 การจัดแบ่งหน่วยความจำ (Memory Maps)

การจัดแบ่งหน่วยความจำจะขึ้นอยู่กับว่าโปรเซสเซอร์ทำงานอยู่ในโหมดใด ไมโครโปรเซสเซอร์ โหมด ($MC / \overline{MP} = 0$) หรือไมโครคอมพิวเตอร์โหมด ($MC / \overline{MP} = 1$) ทั้งสองโหมดจะมีส่วนที่เหมือนกันคือที่ตำแหน่งแอดเดรส 80000h ถึง 801FFh ต้องถูกต่อใช้งานโดย Expansion bus เมื่อมีการอ้างถึงหน่วยความจำในส่วนนี้ ขาสัญญาณ \overline{MSTRB} จะเป็น “0” (\overline{MSTRB} active) ที่ตำแหน่งแอดเดรส 80200h ถึง 803FFFh ถูกสงวนไว้(ห้ามใช้) ตำแหน่งแอดเดรส 80400h ถึง 803FFFh ถูกสงวนไว้ตำแหน่งแอดเดรส 804000h ถึง 805FFFh จะต้องถูกต่อโดย Expansion bus เมื่อมีการอ้างถึงหน่วยความจำส่วนนี้ของสัญญาณ \overline{IOSTRB} จะเป็น “0” ตำแหน่งแอดเดรส 80600h ถึง 807FFFh ถูกสงวนไว้

ในโหมดไมโครคอมพิวเตอร์จะมีหน่วยความจำแบบ ROM ได้ถูกกำหนดไว้ที่ 000000h ถึง 000FFFh ซึ่งตำแหน่ง 00 – 08h (192 ตำแหน่ง) จะใช้เก็บอินเตอร์รัพท์ เวกเตอร์ (Interrupt vector) แทร็ปเวกเตอร์ (Trap vector) และพื้นที่สงวนไว้สำหรับระบบ ในการเข้าถึงหน่วยความจำตำแหน่ง 00100h – 7FFFFh จะต้องมีการเชื่อมต่อหน่วยความจำภายนอกอยู่ด้วย ในโหมดไมโครโปรเซสเซอร์จะไม่มีหน่วยความจำแบบ ROM ดังนั้นจึงต้องมีหน่วยความจำภายนอก (External RAM) ต่อร่วมด้วย



ภาพที่ ง-4 การจัดแบ่งหน่วยความจำของ TMS320C31

00h	RESET	809FC1h	$\overline{\text{INT0}}$
01h	$\overline{\text{INT0}}$	809FC2h	$\overline{\text{INT1}}$
02h	INT1	809FC3h	$\overline{\text{INT2}}$
03h	$\overline{\text{INT2}}$	809FC4h	$\overline{\text{INT3}}$
04h	$\overline{\text{INT3}}$	809FC5h	XINT0
05h	XINT0	809FC6h	RINT0
06h	RINT0	809FC7h	XINT1
07h	XINT1†	809FC8h	RINT1
08h	RINT1†	809FC9h	TINT0
09h	TINT0	809FCAh	TINT1
0Ah	TINT1	809FCBh	DINT
0Bh	DINT	809FCC– 809FDFh	RESERVED
0Ch	RESERVED	809FE0h	$\overline{\text{TRAP0}}$
1Fh		809FE1h	$\overline{\text{TRAP1}}$
20h	$\overline{\text{TRAP 0}}$		•
	•		•
	•		•
3Bh	$\overline{\text{TRAP 27}}$	809FFBh	$\overline{\text{TRAP27}}$
3Ch	$\overline{\text{TRAP 28}}$ (Reserved)	809FFCh	$\overline{\text{TRAP28}}$ (Reserved)
3Dh	$\overline{\text{TRAP 29}}$ (Reserved)	809FFDh	$\overline{\text{TRAP29}}$ (Reserved)
3Eh	$\overline{\text{TRAP 30}}$ (Reserved)	809FFEh	$\overline{\text{TRAP30}}$ (Reserved)
3Fh	$\overline{\text{TRAP 31}}$ (Reserved)	809FFFh	$\overline{\text{TRAP31}}$ (Reserved)

† Reserved on TMS320C31

Microprocessor Mode

Microcomputer Mode

ภาพที่ ง-5 การจัดหน่วยความจำในโหมดไมโครโปรเซสเซอร์ในช่วง 00h – 3Fh และการจัดหน่วยความจำในโหมดไมโครคอมพิวเตอร์ในช่วง 809FC1h – 809FFFh

808000h	DMA Controller Registers (16)
80800Fh 808010h	Reserved (16)
80801Fh 808020h	Timer 0 Registers (16)
80802Fh 808030h	Timer 1 Registers (16)
80803Fh 808040h	Serial-Port 0 Registers (16)
80804Fh 808050h	Serial-Port 1 Registers† (16)
80805Fh 808060h	Primary and Expansion Port Registers (16)
80806Fh 808070h	Reserved
8097FFh	Reserved

† Reserved on TMS320C31

ภาพที่ ง-6 การจัดหน่วยความจำของอุปกรณ์สนับสนุน

ง.1.3 ลักษณะบัสภายใน (Internal Bus Operation)

สิ่งสำคัญมากที่ทำให้ TMS320C31 มีประสิทธิภาพสูงเป็นเพราะบัสภายในมีลักษณะความสัมพันธ์ที่ขนานกัน บัสเหล่านี้ประกอบด้วยบัสโปรแกรม (PADDR และ PDATA) บัสข้อมูล (DADDR1, DADDR2 และ DDATA) และบัสดีเอ็มเอ (DMAADDR และ DMADATA) สำหรับการเข้าถึงข้อมูลและดีเอ็มเอสามารถทำได้ลักษณะโปรแกรมพาราเลล (parallel program)

สำหรับการติดต่อกับ PC นั้นควบคุมโดยโปรแกรมบัสแอดเดรส 24 บิต (PADDR) รีจิสเตอร์คำสั่ง (IR) เป็นตัวควบคุมโปรแกรมบัสข้อมูล 32 บิต (PDATA) บัสเหล่านี้สามารถทำให้เกิดคำสั่งเวิร์ดเดียวในทุกๆรอบการทำงาน

บัสแอดเดรสข้อมูล 24 บิต (DADDR1 และ DADDR2) และบัสข้อมูล 32 บิต สามารถเข้าถึงหน่วยความจำข้อมูล 2 คำ ในทุกๆรอบการทำงานบัส DDATA นำข้อมูลไปที่ CPU บัส CPU1 และ CPU2 สามารถนำหน่วยความจำของข้อมูล 2 คำไปคำนวณที่มัลติพลายเออร์ (ALU) และไปที่รีจิสเตอร์ในทุกๆรอบการทำงาน

ชุดควบคุม ดีเอ็มเอ จะมีบัสแอดเดรส 24 บิต (DMAADDR) และ บัสข้อมูล 32 บิต (DMADATA) บัสเหล่านี้ยินยอมให้ ดีเอ็มเอ เข้าถึงหน่วยความจำในลักษณะพาราเลลพร้อมกับการเข้าถึงหน่วยความจำที่เกิดขึ้นจากบัสข้อมูลและบัสโปรแกรม

ง.1.4 ลักษณะบัสภายนอก (External Bus Operation)

TMS320C31 มีการติดต่อภายนอกโดยใช้บัสไพรมารี (Primary Bus) โดยบัสไพรมารีจะประกอบด้วย บัสแอดเดรส 24 บิต บัสข้อมูล 32 บิต และสัญญาณควบคุม 1 ชุด ($\overline{R/W}$, \overline{STRB} , \overline{RDY})

ง.1.4.1 อินเทอร์รัฟฟ์ภายนอก

TMS320C31 มีการสนับสนุนอินเทอร์รัฟฟ์จากภายนอก 4 ชุด ($\overline{INT3}$ – $\overline{INT0}$) และสามารถใช้นิยาม \overline{RESET} จากภายนอกได้ สิ่งเหล่านี้สามารถใช้อินเทอร์รัฟฟ์อย่างใดอย่างหนึ่งได้ระหว่าง ดีเอ็มเอหรือซีพียู เมื่อซีพียูตอบสนองการอินเทอร์รัฟฟ์ ขา \overline{IACK} จะส่งสัญญาณการตอบสนองการอินเทอร์รัฟฟ์ของซีพียูออกสู่ภายนอก

ง.1.4.2 สัญญาณ Interlocked – Instruction

I/O ภายนอก 2 ตัว XF0 และ XF1 สามารถเป็นอินพุตหรือเอาต์พุตภายใต้การควบคุมด้วยซอฟต์แวร์ ขาเหล่านี้ใช้โดยการทำงานแบบ interlocked ของ TMS320C31 กลุ่มคำสั่งการทำงานแบบ interlocked นั้นสนับสนุนการติดต่อแบบมัลติโปรเซสเซอร์

ง.1.5 อุปกรณ์สนับสนุน

อุปกรณ์สนับสนุนของ TMS320C31 ใช้รีจิสเตอร์พิเศษทำหน้าที่ควบคุมการทำงานของบัส อุปกรณ์สนับสนุน บัสอุปกรณ์สนับสนุนนั้นแบ่งออกเป็น บัสข้อมูล 32 บิต และบัสแอดเดรส 24 บิต บัสของอุปกรณ์สนับสนุนนั้นสามารถติดต่อกับอุปกรณ์สนับสนุนได้โดยตรง

อุปกรณ์สนับสนุนของ TMS320C31 ประกอบด้วย 2 ไทเมอร์ และ 1 ซีเรียลพอร์ท

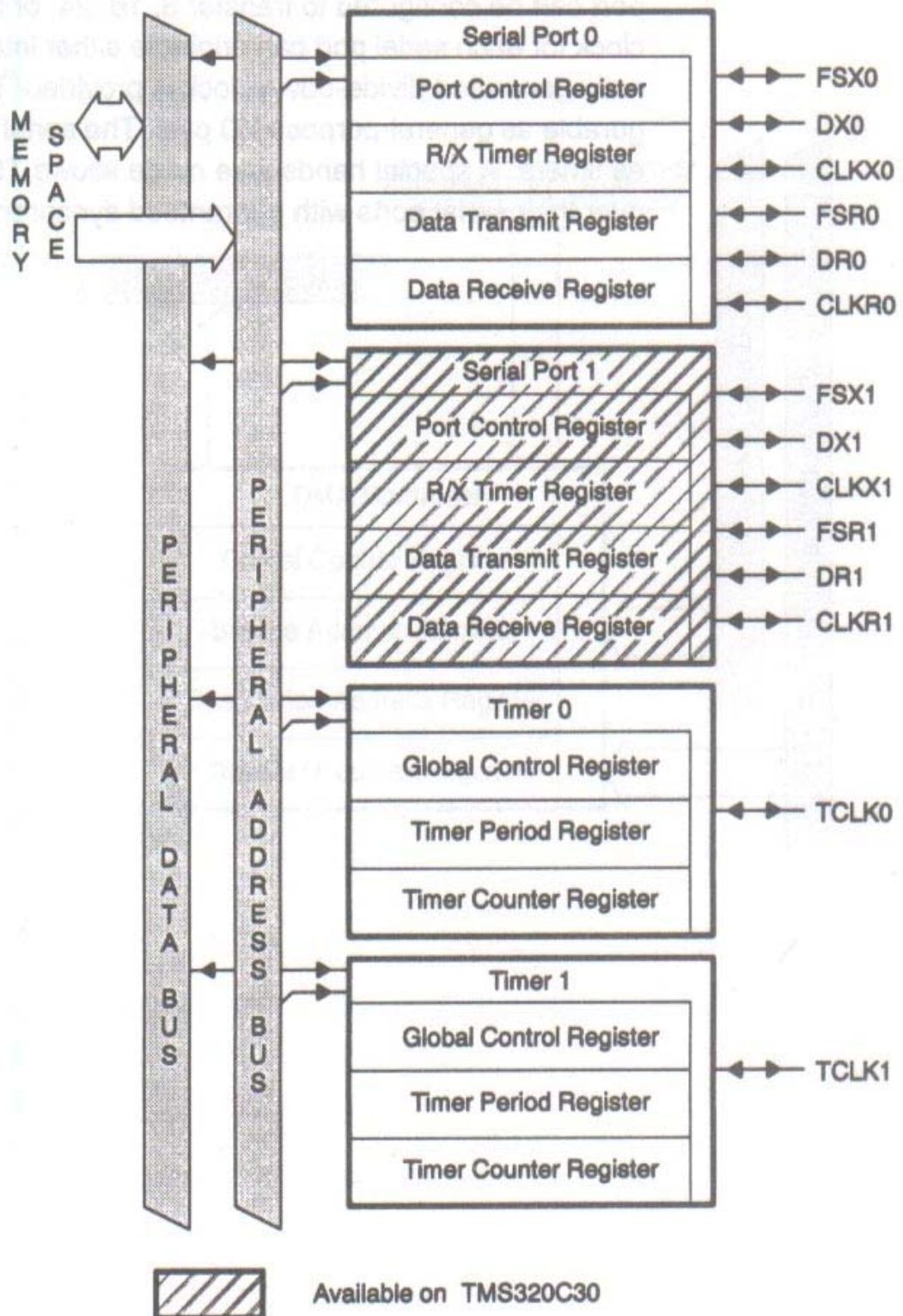
- ไทเมอร์

ลักษณะโดยทั่วไปของไทเมอร์ทั้ง 2 ตัวนั้นเป็นแบบ 32 บิต timer/event นับด้วยสัญญาณโหมด 2 สัญญาณคือ คล็อกกิ้งภายในหรือภายนอกในแต่ละขาของ I/O สามารถใช้เป็นอินพุตคล็อกที่ไทเมอร์หรือเป็นสัญญาณเอาต์พุตของไทเมอร์ ขานี้จะมีรูปร่างภายนอกเป็นขาของ I/O ได้

- ซีเรียลพอร์ท

ซีเรียลพอร์ทมี 1 ตัวทำงานเป็นอิสระไม่ขึ้นการควบคุมกับรีจิสเตอร์ใดๆนอกจากซีพียู ซีเรียลพอร์ทสามารถเปลี่ยนแปลงเป็น 8, 16, 24 หรือ 32 บิต คล็อกของซีเรียลพอร์ทนั้นสามารถใช้ได้ทั้งภายในหรือภายนอกก็ได้ สำหรับภายในนั้นมีการแบ่งส่วนคล็อก

ซีเรียลพอร์ทสามารถเป็นโครงสร้างของไทเมอร์โหมดแฮนด์เช็คพิเศษที่ยินยอมให้ TMS320C31 ติดต่อกับซีเรียลพอร์ทอื่นๆที่อยู่ในช่วงเวลาเดียวกัน

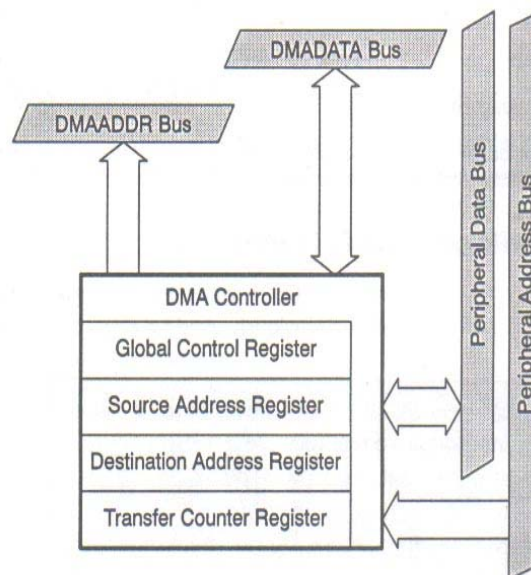


ภาพที่ ง-7 Peripheral Modules ของ TMS320C31

ง.1.6 ชุดควบคุมการเข้าถึงหน่วยความจำโดยตรง (DMA)

ชุดควบคุม ดีเอ็มเอ สามารถที่จะอ่านและเขียนได้ทุกๆที่ในหน่วยความจำรวมทั้งการติดต่อกับภายนอกด้วยการทำงาน(หรือการควบคุม) ของซีพียู เพราะฉะนั้น TMS320C31 สามารถติดต่อกับหน่วยความจำภายนอกและอุปกรณ์เสริมภายนอกได้โดยตรง

ชุดควบคุม ดีเอ็มเอ ประกอบด้วยตัวกำเนิดแอดเดรสของตัวเอง แหล่งกำเนิด และรีจิสเตอร์เป้าหมายและตัวนับโอน การใช้บัสแอดเดรสและบัสข้อมูลของ ดีเอ็มเอ เองจะทำให้การทำงานระหว่าง ซีพียู และชุดควบคุมดีเอ็มเอมีผลกระทบน้อยที่สุด การทำงานของดีเอ็มเอ จะใช้บัสล็อกหรือการโอนเวิร์ดเดียวส่งไปยังหน่วยความจำ

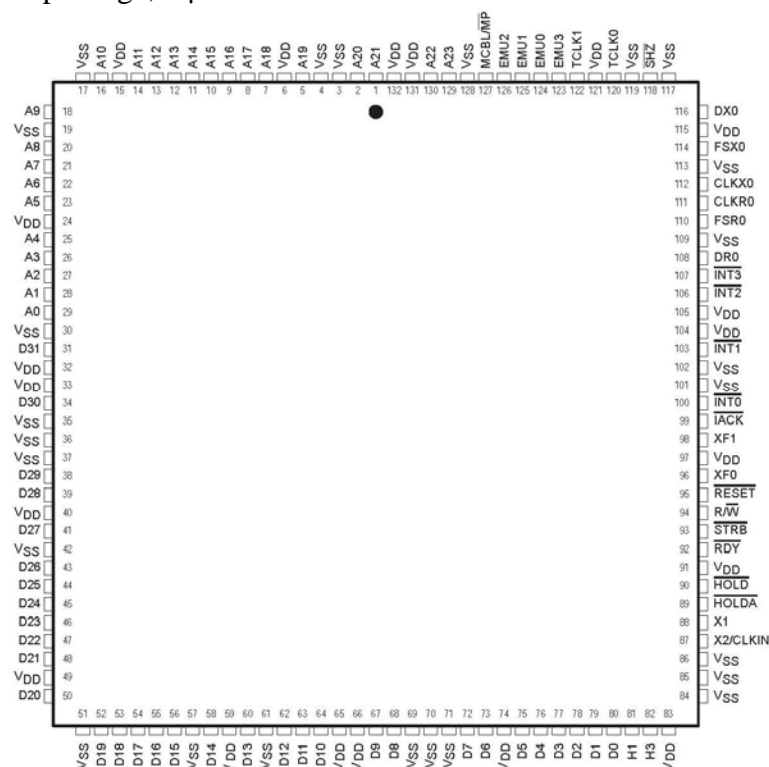


ภาพที่ ง-8 การควบคุม DMA ของ TMS320C31

ง.2 ลักษณะของ TMS320C31

- ประมวลผลภายใน 1 cycle (60ns)
- ประมวลผลเลขจุดทศนิยม 33.3 ล้านส่งค่าต่อ 1 วินาที (33.3 MFLOPS)
- ประมวลผลคำสั่งทั่วไป 16.7 ล้านค่าต่อ 1 วินาที (16.7 MIPS)
- หน่วยความจำแบบ RAM ภายในขนาด $1K \times 32$ บิต 2 ชุด
- หน่วยความจำแคช (Cache) ภายในขนาด 64×32 บิต
- คำสั่งและข้อมูลขนาด 32 บิต, แอดเดรสขนาด 24 บิต
- เลขจุดทศนิยมขนาด 40 บิต, เลขจำนวนเต็มขนาด 32 บิต
- แบเรอร์ชิฟเตอร์ (Barrel Shifter)

- รีจิสเตอร์ขนาด 40 บิต 8 ตัว (Extended – Precision Register) สำหรับประมวลผลเลขจุดทศนิยม และเลขจำนวนเต็ม
- มีตัวควบคุมการเข้าถึงหน่วยความจำโดยตรง (Direct Memory Access) สำหรับการทำงานแบบขนานระหว่างอุปกรณ์ภายนอก และการทำงานของซีพียู
- ระบบตัวเลขแบบจำนวนเต็ม (Integer), จุดทศนิยม (Floating Point) และการทำงานแบบตรรกะ (Logic)
- คำสั่งแบบมีตัวที่ถูกกระทำ 2 และ 3 ตัว (Two and Three Operand)
- คำสั่งที่ทำงานพร้อมกันระหว่าง ALU และ Multiplier ภายใน 1 clock cycle
- ความสามารถในการทำงานแบบซ้ำเป็นกลุ่ม (Block Repeat)
- เงื่อนไขสำหรับการเรียก (CALL) และการกลับ (RETURN)
- คำสั่งที่ประสานงานกันเพื่อสนับสนุนการทำงานแบบหลายงาน (Multiprocessing)
- Flexible boot program loader
- พอร์ตอนุกรมหนึ่งพอร์ต สนับสนุนการส่งแบบ 8, 16, 24, 32 บิต
- ตัวตั้งเวลา (Timer) สองชุด ขนาด 32 บิต
- การขัดจังหวะสี่ช่องจากภายนอก (4 Interrupt)
- 132 pin PQFP package, 8 μ m CMOS



ภาพที่ ง-9 ลักษณะของชิป TMS320C31

TERMINAL NAME	TERMINAL NO.	TERMINAL NAME	TERMINAL NO.	TERMINAL NAME	TERMINAL NO.	TERMINAL NAME	TERMINAL NO.	TERMINAL NAME	TERMINAL NO.
A0	29	D4	76	EMU0	124	VDD	40	VSS	84
A1	28	D5	75	EMU1	125	VDD	49	VSS	85
A2	27	D6	73	EMU2	126	VDD	59	VSS	86
A3	26	D7	72	EMU3	123	VDD	65	VSS	101
A4	25	D8	68	FSR0	110	VDD	66	VSS	102
A5	23	D9	67	FSX0	114	VDD	74	VSS	109
A6	22	D10	64	H1	81	VDD	83	VSS	113
A7	21	D11	63	H3	82	VDD	91	VSS	117
A8	20	D12	62	$\overline{\text{HOLD}}$	90	VDD	97	VSS	119
A9	18	D13	60	$\overline{\text{HOLDA}}$	89	VDD	104	VSS	128
A10	16	D14	58	$\overline{\text{IACK}}$	99	VDD	105	X1	88
A11	14	D15	56	$\overline{\text{INT0}}$	100	VDD	115	X2/CLKIN	87
A12	13	D16	55	$\overline{\text{INT1}}$	103	VDD	121	XF0	96
A13	12	D17	54	$\overline{\text{INT2}}$	106	VDD	131	XF1	98
A14	11	D18	53	$\overline{\text{INT3}}$	107	VDD	132		
A15	10	D19	52	$\overline{\text{MCBL/MP}}$	127	VSS	3		
A16	9	D20	50	$\overline{\text{RDY}}$	92	VSS	4		
A17	8	D21	48	$\overline{\text{RESET}}$	95	VSS	17		
A18	7	D22	47	$\overline{\text{R/W}}$	94	VSS	19		
A19	5	D23	46	$\overline{\text{SHZ}}$	118	VSS	30		
A20	2	D24	45	$\overline{\text{STRB}}$	93	VSS	35		
A21	1	D25	44	TCLK0	120	VSS	36		
A22	130	D26	43	TCLK1	122	VSS	37		
A23	129	D27	41			VSS	42		
CLKR0	111	D28	39			VSS	51		
CLKX0	112	D29	38	VDD	6	VSS	57		
D0	80	D30	34	VDD	15	VSS	61		
D1	79	D31	31	VDD	24	VSS	69		
D2	78	DR0	108	VDD	32	VSS	70		
D3	77	DX0	116	VDD	33	VSS	71		

† VDD and VSS pins are on a common plane internal to the device.

ภาพที่ ง-10 หน้าทีของขาสัญญาณของ TMS320C31 เรียงตามลำดับตัวอักษร

TERMINAL NO.	TERMINAL NAME	TERMINAL NO.	TERMINAL NAME	TERMINAL NO.	TERMINAL NAME	TERMINAL NO.	TERMINAL NAME	TERMINAL NO.	TERMINAL NAME
1	A21	31	D31	61	V _{SS}	91	V _{DD}	121	V _{DD}
2	A20	32	V _{DD}	62	D12	92	$\overline{\text{RDY}}$	122	TCLK1
3	V _{SS}	33	V _{DD}	63	D11	93	$\overline{\text{STRB}}$	123	EMU3
4	V _{SS}	34	D30	64	D10	94	$\overline{\text{R}\overline{\text{W}}}$	124	EMU0
5	A19	35	V _{SS}	65	V _{DD}	95	$\overline{\text{RESET}}$	125	EMU1
6	V _{DD}	36	V _{SS}	66	V _{DD}	96	XF0	126	EMU2
7	A18	37	V _{SS}	67	D9	97	V _{DD}	127	M $\overline{\text{CBL}}$ /MP
8	A17	38	D29	68	D8	98	XF1	128	V _{SS}
9	A16	39	D28	69	V _{SS}	99	$\overline{\text{IACK}}$	129	A23
10	A15	40	V _{DD}	70	V _{SS}	100	$\overline{\text{INT0}}$	130	A22
11	A14	41	D27	71	V _{SS}	101	V _{SS}	131	V _{DD}
12	A13	42	V _{SS}	72	D7	102	V _{SS}	132	V _{DD}
13	A12	43	D26	73	D6	103	$\overline{\text{INT1}}$		
14	A11	44	D25	74	V _{DD}	104	V _{DD}		
15	V _{DD}	45	D24	75	D5	105	V _{DD}		
16	A10	46	D23	76	D4	106	$\overline{\text{INT2}}$		
17	V _{SS}	47	D22	77	D3	107	$\overline{\text{INT3}}$		
18	A9	48	D21	78	D2	108	DR0		
19	V _{SS}	49	V _{DD}	79	D1	109	V _{SS}		
20	A8	50	D20	80	D0	110	FSR0		
21	A7	51	V _{SS}	81	H1	111	CLKR0		
22	A6	52	D19	82	H3	112	CLKX0		
23	A5	53	D18	83	V _{DD}	113	V _{SS}		
24	V _{DD}	54	D17	84	V _{SS}	114	FSX0		
25	A4	55	D16	85	V _{SS}	115	V _{DD}		
26	A3	56	D15	86	V _{SS}	116	DX0		
27	A2	57	V _{SS}	87	X2/CLKIN	117	V _{SS}		
28	A1	58	D14	88	X1	118	$\overline{\text{SHZ}}$		
29	A0	59	V _{DD}	89	$\overline{\text{HOLDA}}$	119	V _{SS}		
30	V _{SS}	60	D13	90	$\overline{\text{HOLD}}$	120	TCLK0		

† V_{DD} and V_{SS} pins are on a common plane internal to the device.

ภาพที่ ง-11 หน้าที่ของขาสัญญาณของ TMS320C31 เรียงตามลำดับขาสัญญาณ

ง.3 ลักษณะสัญญาณของ TMS320C31

ในตารางที่ ง-2 จะอธิบายสัญญาณของ TMS320C31 ที่ใช้ในโหมดไมโครโปรเซสเซอร์

ตารางที่ ง-2 ตำแหน่งขาและหน้าที่การทำงานของแต่ละขา

Primary Bus Interface (61 Pins)		
ชื่อ	จำนวนขา	คำอธิบาย
$D_0 - D_{31}$	32	พอร์ตข้อมูล 32 บิต
$A_0 - A_{23}$	24	พอร์ตแอดเดรส 24 บิต
\overline{HOLD}	1	เมื่อ \overline{HOLD} เป็นลอจิกต่ำจะทำให้สัญญาณ $A_0 - A_{23}$, $D_0 - D_{31}$, \overline{STRB} และ R/\overline{W} จะมีสภาพเป็น High - Impedance และการติดต่อทั้งหมดที่อยู่บน บัสอินเทอร์เฟซ จะถูก Delay ไว้จนกระทั่งมีสัญญาณ \overline{HOLD} อีกครั้งเป็น ลอจิกสูง หรือจนกระทั่งบิต \overline{NOHOLD} ของคอนโทรล บิตรีจิสเตอร์ Primary Bus ถูกเซต
\overline{HOLDA}	1	สัญญาณแสดงการเริ่มต้นหรือสิ้นสุดของสัญญาณ \overline{HOLD} คือสัญญาณ \overline{HOLDA} การตอบสนองการทำงานของลอจิก ต่ำของสัญญาณ \overline{HOLD} เมื่อ \overline{HOLDA} เป็นลอจิกต่ำจะทำให้ สัญญาณ $A_0 - A_{23}$, $D_0 - D_{31}$, \overline{STRB} และ R/\overline{W} มี สภาพเป็น High - Impedance และการติดต่อทั้งหมดที่ อยู่บนบัสจะถูก Delay ไว้จนกระทั่งสัญญาณ \overline{HOLDA} ตอบสนองสถานะสูงจากลอจิกของ \overline{HOLD} หรือ จนกระทั่งบิต \overline{NOHOLD} ของคอนโทรลรีจิสเตอร์ Primary Bus ถูกเซต
R/\overline{W}	1	สัญญาณ Read/Write จะเป็นสถานะสูงเมื่อมีการอ่านและ จะเป็นสถานะต่ำเมื่อมีการเขียนบนอินเทอร์เฟซแบบขนาน
\overline{RDY}	1	สัญญาณ Ready ขานี้จะทำงานก็ต่อเมื่ออุปกรณ์ภายนอก ทำการติดต่อชิป
\overline{STRB}	1	สัญญาณ Strobe จากภายนอก

ตารางที่ ง-2 (ต่อ)

Control – Signal (10 pins)		
$\overline{INT3} - \overline{INT0}$	4	อินเทอร์เฟซภายนอก
\overline{IACK}	1	สัญญาณแสดงการเริ่มต้นหรือ สิ้นสุดของสัญญาณอินเทอร์รัพท์ โดยปกติ \overline{IACK} จะถูกเซตให้เป็น 1 เพราะฉะนั้น \overline{IACK} จึงแสดงการเริ่มต้น หรือจุดสิ้นสุดของการใช้อินเทอร์รัพท์รูทีน
$MCBL/\overline{MP}$	1	สัญญาณกำหนดการทำงานระหว่าง Microcomputer Boot Loader กับ Microprocessor
\overline{RESET}	1	สัญญาณ Reset เมื่อสัญญาณ Reset เป็นลอจิกต่ำจะยกเลิกการทำงานภายใต้เงื่อนไขที่กำหนดให้
$\overline{SH2}$	1	สัญญาณ Shut Down High Z เมื่อมีสถานะต่ำจะยกเลิกการทำงานของ C31 และขาทั้งหมดจะมีสถานะเป็น High – Impedance สัญญาณนี้ใช้ทดสอบ Broad Level นั่นคือจะไม่ปรากฏสถานะอื่น <u>ข้อควรระวัง</u> เมื่อ $\overline{SH2}$ มีสถานะต่ำจะทำให้ข้อมูลที่อยู่ภายในหน่วยความจำและรีจิสเตอร์หายไป การรีเซตด้วย $\overline{SH2} = 1$ เป็นการคืนค่าในสถานะของการทำงาน
XF0, XF1	2	สัญญาณ Flag ภายนอกโดยทั่วไปใช้เป็นขา I/O หรือสนับสนุนการทำงานของ Interlocked Processor Instructions
Serial Port 0 Signals(6 pins)		
CLK R0, CLK X0	2	สัญญาณนาฬิกา ที่ใช้สำหรับควบคุมการรับ – ส่งข้อมูลของ Serial Port 0 Receiver และ Serial Port 0 Transmitter
DR0	1	ใช้สำหรับรับข้อมูลจาก Serial Port 0 Receives
DX0	1	ใช้สำหรับส่งข้อมูลจาก Serial Port 0 Transmits
FSR0	1	FRS 0 จะเริ่มต้นนับเมื่อมีการรับข้อมูลบน DR 0
FSX0	1	FRS 0 จะเริ่มต้นนับเมื่อมีการส่งข้อมูลบน DX 0

ตารางที่ ง-2 (ต่อ)

Timer Signals (2 Pins)		
TCLK0	1	Timer 0 จะใช้ขา TCLK 0 ในการนับ Pulse จากภายนอกหรือกำเนิดสัญญาณ Pulse ออกสู่ภายนอก
TCLK1	1	Timer 1 จะใช้ขา TCLK 0 ในการนับ Pulse จากภายนอกหรือกำเนิดสัญญาณ Pulse ออกสู่ภายนอก
Supply and Oscillator Signals (49 pins)		
H1, H3	2	สัญญาณนาฬิกาภายนอก สัญญาณนาฬิกาจะมีคาบเท่ากับ 2 เท่า ของ CLKIN
V _{DD}	20	จ่ายไฟให้ได้ไม่เกิน +5 Vdc
V _{SS}	25	ใช้สำหรับต่อกราวด์
X ₁	1	เป็นขา Output จากตัวคริสตัลภายในที่จะส่งออกภายนอก ถ้าไม่ใช้คริสตัลขานี้ไม่ต้องต่อ
X ₂ /CLKIN	1	เป็นขา Input สำหรับสัญญาณนาฬิกาหรือคริสตัลจากภายนอกที่จะส่งเข้าไปภายในชิป
Reserved (4 pins)		
EMU0 – EMU2	3	ขอสงวนไว้ : ใช้ตัวต้านทาน 20 K Ω ต่อ Pull – Up กับไฟ +5 Vdc
EMU3	1	ขอสงวนไว้

ง.4 บอร์ด TMS320C31 DSP STARTER KIT

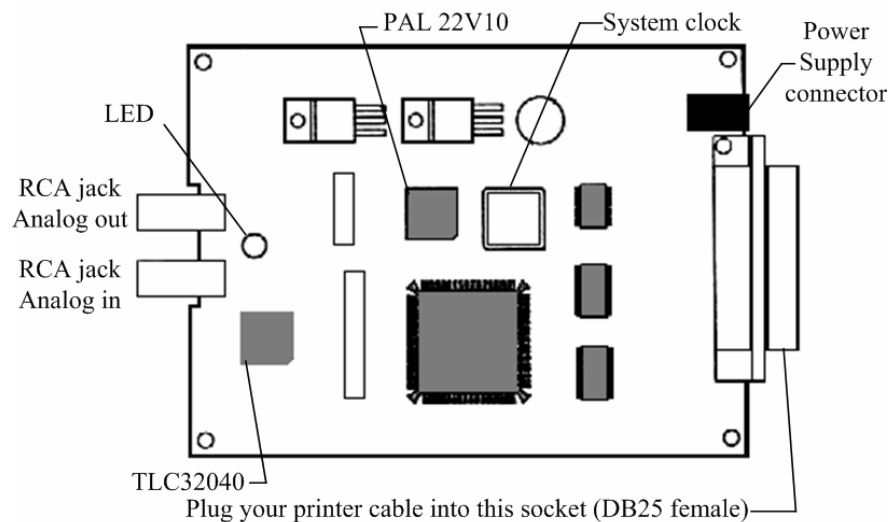
บอร์ด TMS320C31 DSP Starter Kit เป็นบอร์ดพัฒนาโปรแกรมแบบ Stand – Alone สามารถประมวลผลแบบเวลาจริง (Real time) ได้ โดยสามารถที่จะสั่งรันโปรแกรมหรือเคิลียร์โปรแกรมได้โดยผ่านพอร์ตของ PC และสามารถต่อบอร์ดอินเตอร์เฟสแบบต่างๆเข้ากับ บอร์ด DSK ได้

ง.4.1 ลักษณะของบอร์ด TMS320C31 DSP STARTER KIT

ฮาร์ดแวร์ของบอร์ด TMS320C31 DSK มีส่วนประกอบพื้นฐานที่ประกอบด้วย

- ชิป DSP TMS320C31
- ชิป A/D – D/A TLC32040
- พอร์ต I/O

- พอร์ตขนานของ 프린เตอร์
- LED แบบ 3 สี



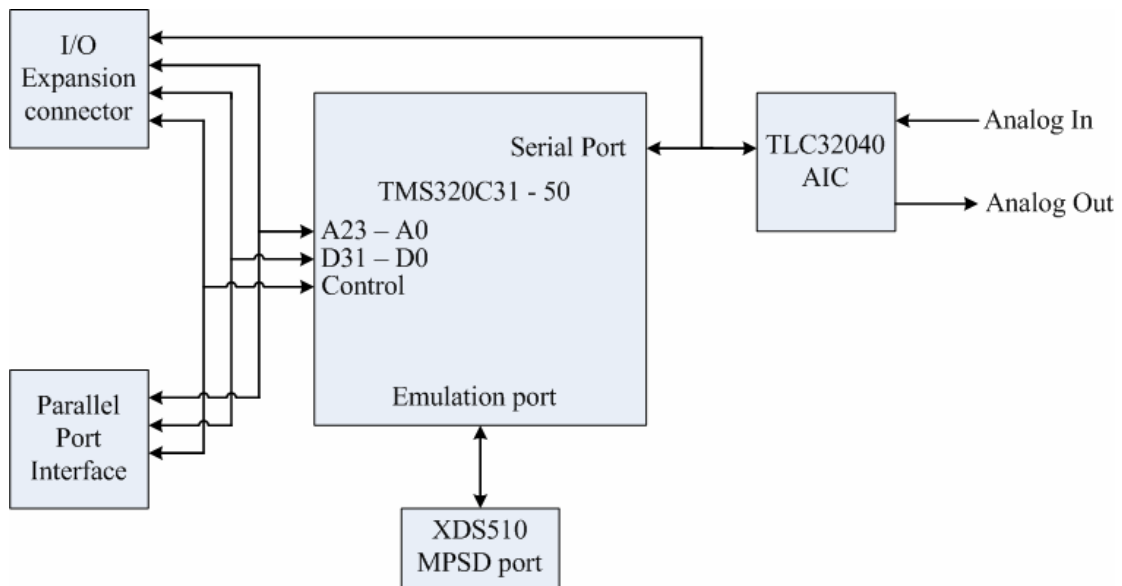
ภาพที่ ง-12 ฮาร์ดแวร์ของบอร์ด TMS320C31 DSP Starter Kit

จากภาพที่ ง-12 แสดงอุปกรณ์บนบอร์ด DSK ประกอบด้วย

- Header ขนาด 32 pin จำนวน 4 แถว สัญญาณทุกเส้นของ C31 ที่จะส่งออกไปภายนอกบอร์ดจะต้องผ่าน Header ชุดนี้ซึ่งประกอบด้วย JP2 JP3 JP5 JP6
- Jumper Block header ขนาด 11 Pin (JP4) จะทำหน้าที่ควบคุมการส่งข้อมูลของพอร์ตอนุกรมของ TLC32040
- Host Interface Logic จะใช้ PLA 22V10Z และ 74ACT245 ควบคุมการสื่อสารระหว่างบอร์ด DSK กับ Host ของ PC
- Oscillator บนบอร์ด DSK จะใช้สัญญาณนาฬิกาขนาด 50 MHz เพื่อป้อนให้กับชิป TMS320C31
- RCA Jack จะทำหน้าที่รับสัญญาณ Analog Input และส่งสัญญาณ Analog Output ของบอร์ด DSK โดยจะต่ออยู่กับขา I/O ของ AIC
- TLC32040 AIC จะทำหน้าที่เป็น A/D และ D/A ของบอร์ด DSK
- TMS320C31 เป็นตัวประมวลผลขนาด 32 บิต แบบ Floating – Point
- Voltage regulators บอร์ด DSK สามารถใช้ไฟ 7 – 12 Vdc หรือ 6 – 9 Vac โดยไฟ DC และ AC จะต้องผ่าน IC Regulator เบอร์ LM7805 และ LM7905 ซึ่งจะได้ไฟ DC +5V และ -5V ตามลำดับ ไฟ DC ที่ได้จะใช้เลี้ยงอุปกรณ์ต่างๆภายในบอร์ดตลอดเวลา ที่บอร์ดยังทำงานอยู่

- XDS Emulator Port เป็น header ขนาด 12 Pin (JP1) ใช้สำหรับการ Upgrade โปรแกรม XDS Debugger ในอนาคต

จากที่กล่าวมาข้างต้นสามารถแสดงเป็นรูปบล็อกไดอะแกรมได้ดังภาพที่ ง-13



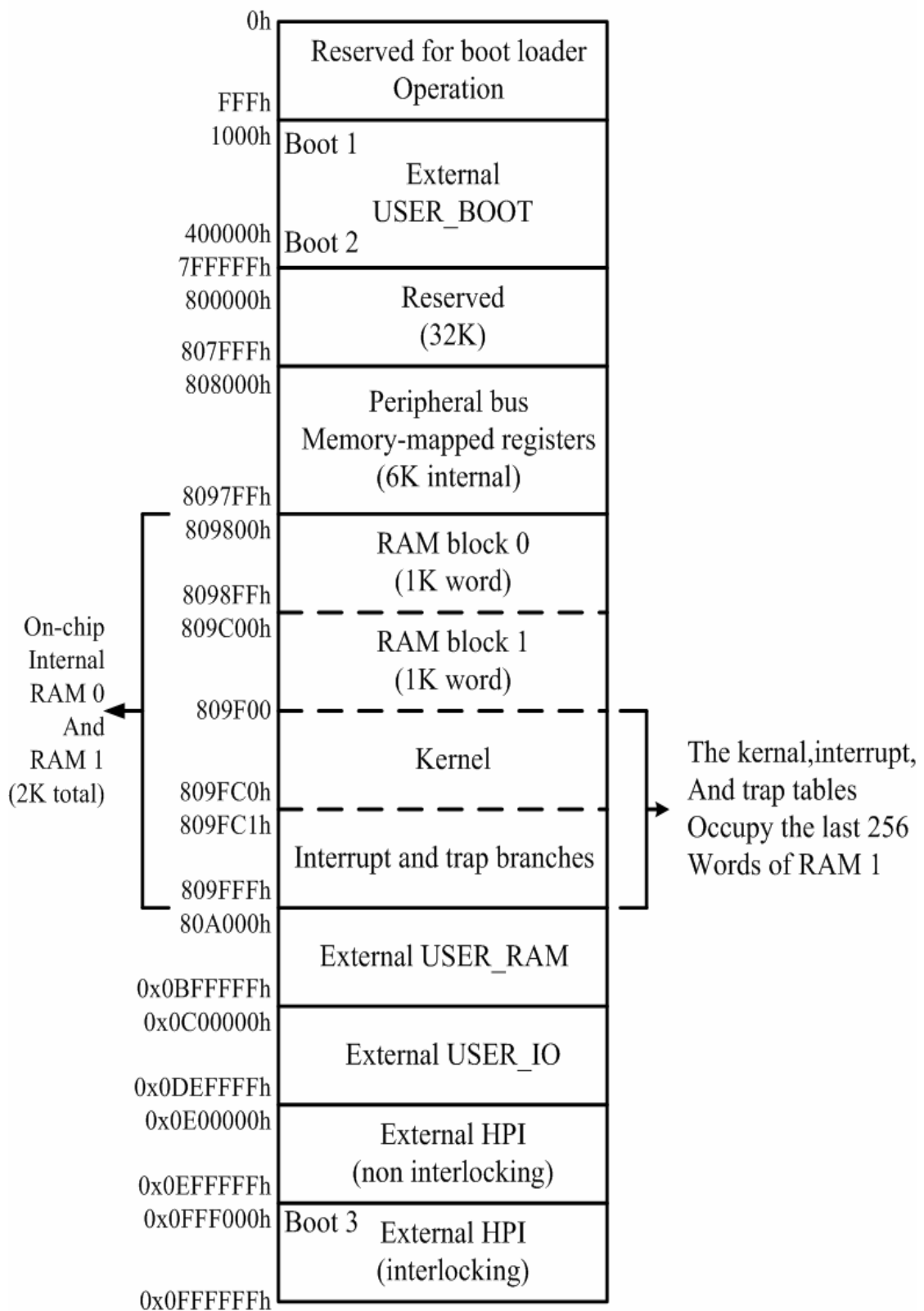
ภาพที่ ง-13 บล็อกไดอะแกรมของบอร์ด TMS320C31 DSP Starter Kit

ง.4.2 คุณลักษณะของบอร์ด TMS320C31 DSP Starter Kit

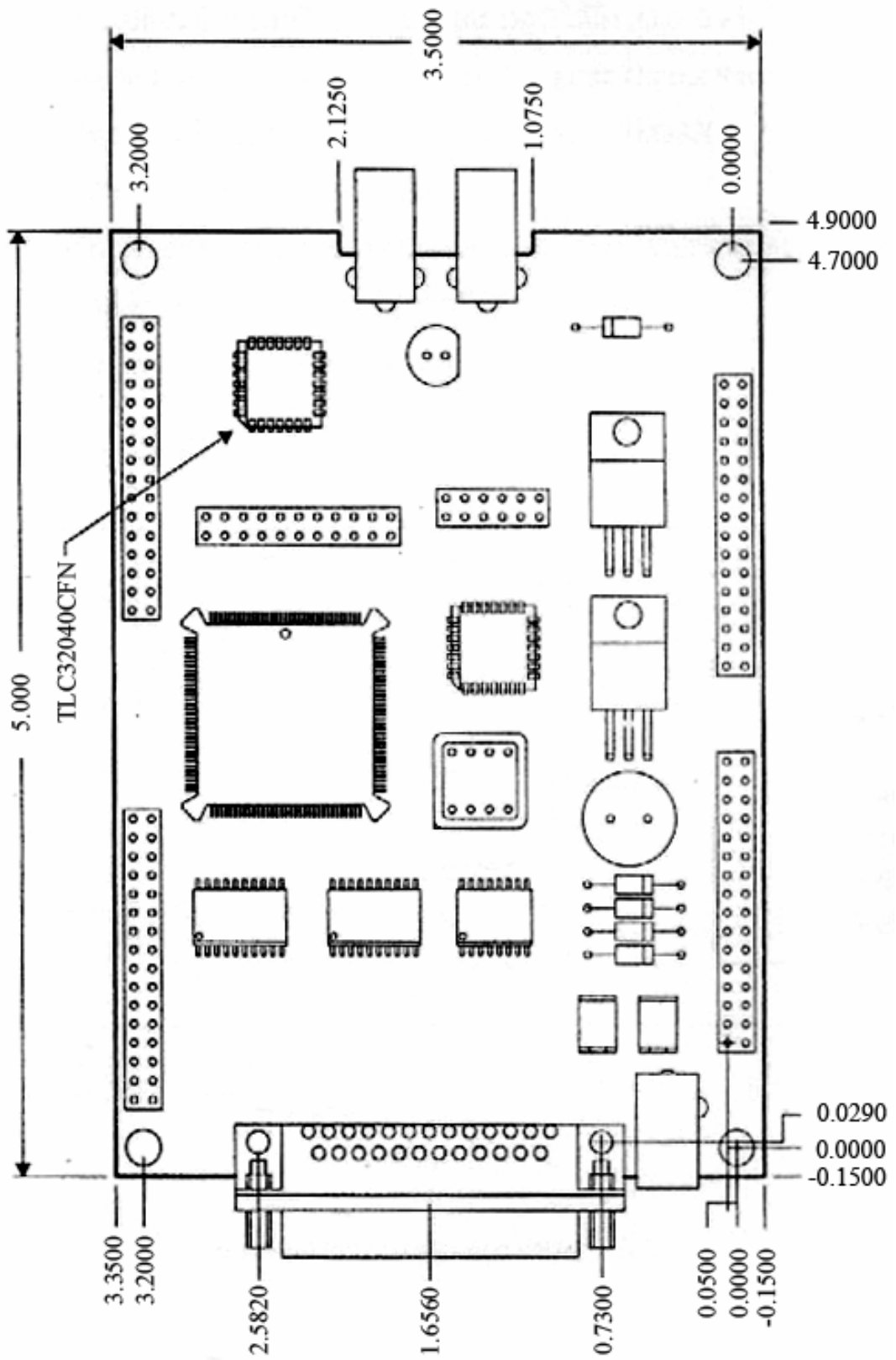
- ใช้ชิป TMS320C31 เป็นตัวประมวลผลขนาด 32 บิต แบบ Floating - point
- ใช้เวลาในการประมวลผลคำสั่ง 40 ns ต่อ 1 คำสั่งหรือ 50 MFLOP และ 25 MIPS
MFLOP: Million Floating – point Intention Per Second
MIPS : Million Intention Per Second
- บอร์ด DSK สามารถสื่อสารกับ PC ได้โดยใช้พอร์ตขนานของพรีนเตอร์หรือใช้ host ของ PC
- ใช้ชิป TLC32040 AIC ขนาด 14 บิต อัตราการสุ่มสัญญาณ 20,000 ครั้งต่อวินาที
- ใช้ RCA Jack เป็น Jack มาตรฐานสำหรับการต่อสายสัญญาณ Analog Input และ Output ทำให้สามารถนำไปต่อกับไมโครโฟนและลำโพงได้

ง.4.3 การจัดหน่วยความจำบนบอร์ด TMS320C31 DSP Starter Kit

บอร์ด TMS320C31 DSK ได้จัดแบ่งหน่วยความจำให้อยู่ในโหมด Microcomputer /Boot Loader ดังแสดงในภาพที่ ง-14



ภาพที่ ง-14 การจัดแบ่งหน่วยความจำในโหมด Microcomputer/Boot Loader ของ บอร์ด TMS320C31 DSP Starter Kit



ภาพที่ ง-15 ลักษณะโดยรวมของบอร์ด TMS320C31 DSP Starter Kit

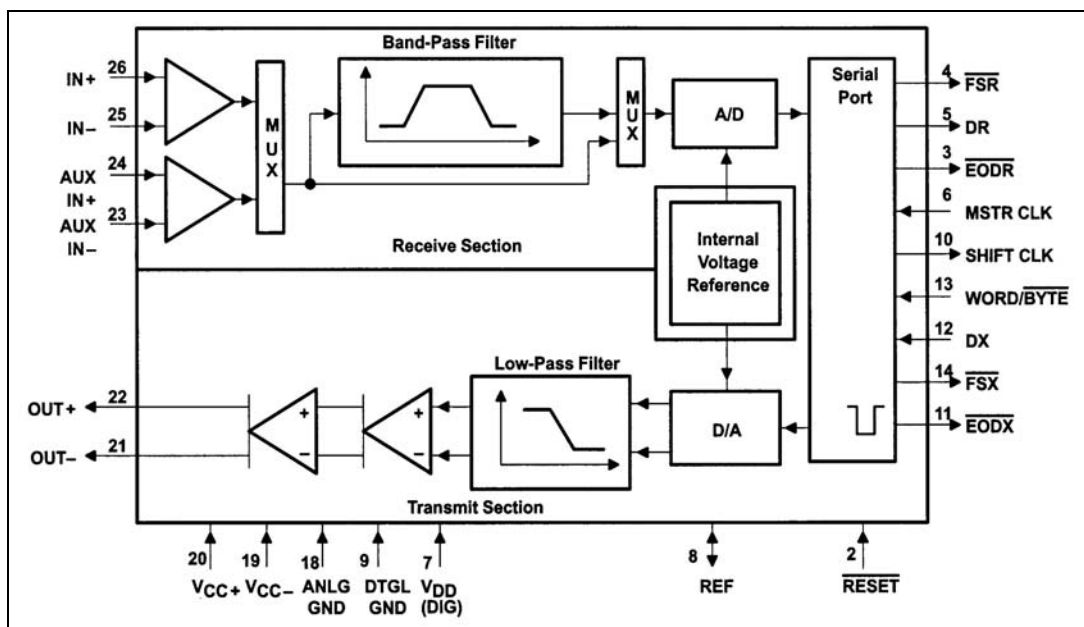
ง.5 วงจรอินเทอร์เฟซสัญญาณแอนะล็อก TLC32040

TLC32040 เป็นชิป Analog Interface Circuit (AIC) ที่ใช้เชื่อมต่อกับ TMS320C31 ในการทำงานประมวลผลด้าน DSP

ง.5.1 ลักษณะของ TLC32040

- ใช้เทคโนโลยีการผลิต Advanced LinCMOS
- ความละเอียดของ ADC และ DAC เป็น 14 บิต
- สามารถเปลี่ยนอัตราแซมปีงของ ADC และ DAC ได้ถึง 20,000 ครั้ง /วินาที
- มี Switched Capacitor Anti Aliasing Input Filter และ Output Reconstruction Filter
- มีพอร์ตอนุกรมสำหรับติดต่อโดยตรงกับ TMS320C11, TMS320C17, TMS320C20, TMS320C25 Digital Signal Process
- สามารถปรับอัตราการแปลงของ ADC และ DAC ได้โดยใช้โปรแกรมควบคุม
- สัญญาณอินเทอร์เฟซของพอร์ตอนุกรมเข้าสู่ SN74C299
- 600 – Mil wide N Package (C_L to C_L)

ฟังก์ชันไดอะแกรมแสดงดังภาพที่ ง-16



ภาพที่ ง-16 ฟังก์ชันไดอะแกรมของ TLC32040

ง.5.2 ตำแหน่งขาและหน้าที่ การทำงานของแต่ละขาของ TLC32040

ตารางที่ ง-3 ตำแหน่งและหน้าที่การทำงานของแต่ละขา

ชื่อ	หมายเลข	คำอธิบาย
ANLG GND	17, 18	กราวด์อนาล็อก (แยกกับกราวด์ดิจิทัล)
AUX IN+	24	Non-inverting auxiliary input
AUX IN-	23	Inverting auxiliary input
DGTL GND	9	กราวด์ดิจิทัล
DR	5	ใช้สำหรับส่ง output ADC จาก AIC (analog interface circuit) ไปยัง C31 ผ่านทางพอร์ทอนุกรมจะต้องซิงก์กับ shift CLK
DX	12	ใช้สำหรับ input DAC หรือคำสั่งการควบคุมจาก C31 ซึ่งการส่งผ่านทางพอร์ทอนุกรมจะต้องซิงก์กับ shift CLK
\overline{EODR}	3	สัญญาณหยุดรับข้อมูล (end of data receive) ในการติดต่อผ่านพอร์ทอนุกรมในโหมดเวิร์ด สัญญาณ \overline{EODR} อยู่ในสถานะต่ำทันทีเมื่อ 16 บิตของ output A/D ได้ถูกส่งจาก AIC ไปยัง C31 ซึ่งสามารถใช้สัญญาณนี้ในการอินเตอร์รัพท์ไมโครโปรเซสเซอร์ให้ทราบว่าสิ้นสุดการติดต่อแล้ว หรือใช้สโครป และรีจิสเตอร์เลื่อนข้อมูลออก (enable external serial to parallel shift register) ก็ได้ แต่ถ้าเป็นโหมดไบต์ (byte mode) สัญญาณจะ \overline{EODR} อยู่ในสถานะต่ำ หลังจากไบต์แรกได้ส่งไปยัง C31 แล้ว และยังคงรักษาสถานะต่ำจนกระทั่งไบต์ที่สองได้ส่งไป ทั้งนี้ก็เพื่อให้รู้ว่าไบต์แรกหรือไบต์ที่สองได้ส่งออกไป
\overline{EODX}	11	สัญญาณหยุดรับส่งข้อมูล (end of data transmit) คล้ายกับ \overline{EODX} ซึ่งจะบอกให้ทราบว่า การติดต่อจาก C31 ไปยัง A/C นั้นเสร็จแล้ว ทั้งในโหมดเวิร์ดและโหมดไบต์ก็คล้ายกับ \overline{EODR}

ตารางที่ ง-3 (ต่อ)

ชื่อ	หมายเลข	คำอธิบาย
\overline{FSR}	4	สัญญาณซิงก์การรับ (Frame sync receive) ในการติดต่อแบบพอร์ทอนุกรม \overline{FSR} จะมีสถานะต่ำตลอดการส่งจาก A/C ไปยัง C31 (โดยผ่านทางขา DR) ซึ่งบิตแรกที่จะส่งต้องพร้อมอยู่ที่ขา DR ก่อน \overline{FSR} ก่อนจะ low
\overline{FSX}	14	สัญญาณซิงก์การส่ง (Frame sync transmit) เมื่อสัญญาณนี้อยู่ในสถานะต่ำ พอร์ทอนุกรม C31 จะส่งบิตไปยัง A/C โดยส่งมาที่ขา DX ในการติดต่ออนุกรมทุกโหมด \overline{FSX} จะมีสถานะต่ำตลอดการส่ง
IN+	26	Non-inverting input
IN-	25	Inverting input
MSTR CLK	6	Master clock จะใช้การควบคุมทุกส่วนภายใน A/C ไม่ว่าจะเป็นสัญญาณนาฬิกาเลื่อน (shift clock) , สัญญาณนาฬิกาควบคุมฟิลเตอร์ (switched capacitor filter clock) , A/D และ D/A timing
OLT+	22	Non-inverting input
OLT-	21	Inverting input
REF	8	สำหรับ TLC 32040 และ TLC 32042 แรงดันอ้างอิงภายในจะถูกต่อเข้าที่ขานี้ แต่ถ้าเป็น TLC32040 , TLC32041 และ TLC32042 แรงดันอ้างอิงจากภายนอกจะถูกต่อเข้าที่ขานี้
\overline{RESET}	2	รีเซ็ตจะทำการตั้งค่า TA, TA', TB, RA', RB และรีจิสเตอร์ควบคุมให้เป็นค่าเริ่มต้น รวมทั้งการติดต่อทางพอร์ทอนุกรมระหว่าง A/C และ DSP
SHIFT CLK	10	สัญญาณนาฬิกาเลื่อน จากการหารความถี่สัญญาณนาฬิกา มาสเตอร์ด้วย 4 ซึ่งสัญญาณนี้จะใช้ในการติดต่อทางพอร์ทอนุกรม

ตารางที่ ง-3 (ต่อ)

ชื่อ	หมายเลข	คำอธิบาย
VDD	7	ไฟเลี้ยงวงจรดิจิทัล (digital supply voltage $5V \pm 5%$)
Vcc+	20	ไฟเลี้ยงวงจรถอดด้านบวก $12V \pm 5%$
Vcc-	19	ไฟเลี้ยงวงจรถอดด้านลบ $-12V \pm 5%$
$\overline{\text{WORD/}}/\overline{\text{BYTE}}$	13	<p>ขานี้จะทำงานร่วมกับรีจิสเตอร์ควบคุมเพื่อใช้ในการเลือกโหมดการติดต่ออนุกรม ซึ่งมี 4 แบบดังนี้</p> <p><u>การติดต่อแบบอะซิงโครนัสในโหมดไบต์ (WORD/BYTE = low)</u></p> <p>พอร์ทอนุกรมจะติดต่อโดยตรงกับ C31 และจะส่งค่าทีละ 8 บิต 2 ครั้ง ซึ่งมีขั้นตอนการทำงานดังนี้</p> <ol style="list-style-type: none"> 1. $\overline{\text{FSX}}$ หรือ $\overline{\text{FSR}}$ อยู่ในสถานะต่ำ 2. 8 บิตแรกจะถูกส่งออกไปหรือรับเข้ามา 3. $\overline{\text{EODX}}$ หรือ $\overline{\text{EODR}}$ อยู่ในสถานะต่ำ 4. $\overline{\text{FSX}}$ หรือ $\overline{\text{FSR}}$ high ประมาณ 4 สัญญาณนาฬิกาเลื่อนแล้วอยู่ในสถานะต่ำ 5. บิตต่อมา (ไบต์ที่ 2) ถูกส่งหรือรับเข้ามา 6. $\overline{\text{EODX}}$ หรือ $\overline{\text{EODR}}$ อยู่ในสถานะสูง 7. $\overline{\text{FSX}}$ หรือ $\overline{\text{FSR}}$ อยู่ในสถานะสูง <p><u>ในโหมดเวิร์ด</u></p> <p>พอร์ทอนุกรมจะต่อตรงกับพอร์ทอนุกรมของ C31 และส่งค่าครั้งเดียว 16 บิต ซึ่งมีขั้นตอนการทำงานดังนี้</p> <ol style="list-style-type: none"> 1. $\overline{\text{FSX}}$ หรือ $\overline{\text{FSR}}$ อยู่ในสถานะต่ำ 2. 16 บิต ถูกส่งหรือรับเข้ามา 3. $\overline{\text{FSX}}$ หรือ $\overline{\text{FSR}}$ อยู่ในสถานะสูง 4. $\overline{\text{EODX}}$ หรือ $\overline{\text{EODR}}$ อยู่ในสถานะต่ำ <p>การติดต่อแบบซิงโครนัส</p>

ตารางที่ ง-3 (ต่อ)

ชื่อ	หมายเลข	คำอธิบาย
		ในกรณีนี้ bandpass filter และอัตราการเปลี่ยนแปลง A/D จะถูกกำหนดจาก TX counter A, TX counter B และ TA, TA' และ TB แทนส่วนในการติดต่อกับมีขั้นตอนเหมือนกับการติดต่อแบบอะซิงโครนัส

ง.5.3 การทำงานของ TLC32040

ง.5.3.1 Analog Input

แอนะล็อกอินพุตมี 2 กลุ่มคือ IN+, IN- และ AUX IN+, AUX IN- ซึ่งสามารถเลือกใช้ กลุ่มใดกลุ่มหนึ่งโดยจะใช้ในแบบดิฟเฟอเรนเชียลหรือซิงเกิลเอนด์ (single ended) และค่าเกณฑ์ สำหรับ IN+, IN- และ AUX IN+, AUX IN – สามารถใช้โปรแกรมตั้งค่าได้ (มี 3 ค่า คือ 1, 2, 4) การเลือกใช้กลุ่มอินพุตใดจะเลือกใช้ซอฟต์แวร์ควบคุม

ง.5.3.2 A/D Bandpass Filter

A/D Bandpass Filter Clocking และ A/D Conversion Timing สามารถที่จะเลือกใช้หรือไม่ก็ได้ โดยใช้ซอฟต์แวร์ควบคุมความถี่ของสัญญาณนาฬิกาควบคุมฟิลเตอร์ (Filter Clock) จะเป็นตัวกำหนดทรานเฟอร์ฟังก์ชันของฟิลเตอร์ โดยจะคิดอัตราส่วนจากความถี่สัญญาณนาฬิกา ควบคุมฟิลเตอร์ 288 kHz ที่ความถี่ต่ำที่เริ่มมีลักษณะเป็นความถี่สูงผ่านจะมีความถี่เป็น 300 kHz อัตราการเปลี่ยนแปลง D/A ก็จะหาจากความถี่ที่หาร 228 kHz ด้วย Rx Counter B

ง.5.3.3 Analog Output

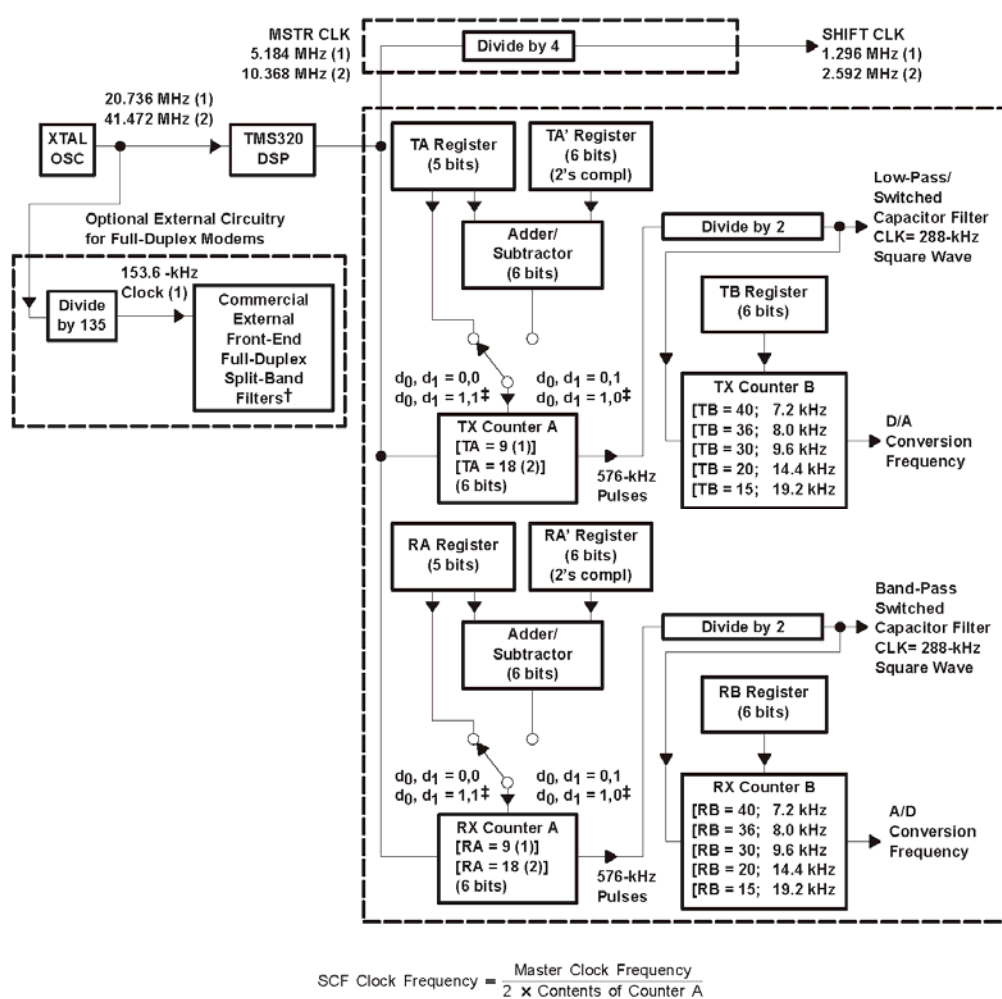
Analog Output จะมี Power Amplifier มี Output ทั้งแบบ Non – Inverting และแบบ Inverting เนื่องจากมี Amplifier ทำให้อาท์พุทสามารถขับ Transformer Hybrid หรือโหลด อิมพีแดนซ์ต่ำได้ โดยใช้ทั้งแบบดิฟเฟอเรนเชียล หรือซิงเกิลเอนด์ (Single Ended)

ง.5.3.4 วงจรกรองความถี่ของ D/A

วงจรความถี่แบบ Bandpass ของ D/A, สัญญาณนาฬิกาควบคุม วงจรกรองความถี่ต่ำ และ อัตราการแปลงสัญญาณดิจิทัลเป็นแอนะล็อก (D/A Lowpass Filter, D/A Lowpass Filter Clocking, D/A Conversion Timing) เช่นเดียวกับ A/D Filter โดย Transfer Function ของ Filter ถูกกำหนดจากอัตราส่วนกับความถี่ 288 kHz หารด้วย TX Counter B โดยจะปลดออกไม่ได้

ง.5.3.5 การป้อนกลับ (Loop Back)

จะให้ผู้ใช้ตรวจสอบวงจรโดย OUT+ และ OUT- จะต่อมาในภายหลังกลับ IN+ และ IN- ดังนั้นบิต DAC (D15-D2) จะถูกส่งไปยัง DX แลกเปลี่ยนกับบิต ADC ที่ได้รับมาจากขา DR ซึ่งปกติจะต้องมีค่าเท่ากัน (ในทางปฏิบัติอาจไม่เท่ากันก็ได้) ในการตรวจสอบถ้าใช้ขา IN+ และ IN- สัญญาณภายนอกที่ต่อกับ IN+ และ IN- จะไม่มีผล แต่ถ้าใช้ AUX IN+, AUX IN- สัญญาณภายนอกจะถูกรวมกับ OUT+ และ OUT- สำหรับการควบคุมการต่อกลับ จะทำโดยตั้งค่ารีจิสเตอร์ควบคุม



ภาพที่ ง-17 Timing ภายใน TLC32040

ง.6 การควบคุม AIC

การส่งผ่านข้อมูลใน AIC จะกระทำกันในรีจิสเตอร์สำหรับการรับข้อมูล (Data Receive: DR) และรีจิสเตอร์สำหรับการส่งข้อมูล (Data Transmit: DX) รีจิสเตอร์ทั้ง 2 จะทำการส่งข้อมูลในแบบอนุกรม ในการควบคุมรีจิสเตอร์การส่งผ่านข้อมูลของ AIC จะใช้บิตล่าง 2 บิต (LSBs)

เป็นตัวกำหนดการติดต่อเมื่อบิตทั้ง 2 มีค่าเป็น 0 จะเป็นการส่งผ่านปกติ เมื่อบิตทั้ง 2 มีค่าเป็น 1 จะเป็นการติดต่อระดับ 2 การควบคุมการติดต่อระดับ 2 นี้ AIC จะยอมให้ส่งผ่านข้อมูลครั้งแรกก่อน Switching Back ในภาพที่ ง-18 แสดงข้อกำหนดของการติดต่อระดับ 2

secondary DX serial communication protocol

x x ← to TA register → x x ← to RA register →	0 0	d13 and d6 are MSBs (unsigned binary)
x ← to TA' register → x ← to RA' register →	0 1	d14 and d7 are 2's complement sign bits
x ← to TB register → x ← to RB register →	1 0	d14 and d7 are MSBs (unsigned binary)
x x x x x x x x	d7 d6 d5 d4 d3 d2	1 1
		d2 = 0/1 deletes/inserts the bandpass filter d3 = 0/1 disables/enables the loopback function d4 = 0/1 disables/enables the AUX IN+ and AUX IN- terminals d5 = 0/1 asynchronous/synchronous transmit receive sections d6 = 0/1 gain control bits (see gain control section) d7 = 0/1 gain control bits (see gain control section)

ภาพที่ ง-18 ข้อกำหนดของการติดต่อระดับ 2

การควบคุมฟังก์ชันการทำงานของรีจิสเตอร์ใน AIC สามารถกระทำได้โดยตรงที่รีจิสเตอร์เหล่านั้น เช่นเดียวกับ พอร์ต Input และ Input Filter เป็นการใช้อรีจิสเตอร์เฉพาะของ AIC ดังตัวอย่างในภาพที่ ง-18 เป็นการเซตบิต C2 และ C4 ในรีจิสเตอร์ควบคุมเป็น 1 จะเป็นการเพิ่มค่า Input Bandpass และใช้ Auxiliary Input (AUX IN)

รีจิสเตอร์ A และ B บน AIC จะเป็นตัวควบคุมการทำงานของ AIC โดยรีจิสเตอร์ A ประกอบด้วย TA, RA และเครื่องหมายที่ใช้ควบคุม Filter (Represent Filter Control) รีจิสเตอร์ B จะประกอบด้วย TB, RB และเครื่องหมายที่ใช้ควบคุม A/D และ D/A รีจิสเตอร์เหล่านี้เป็นส่วนหนึ่งของการเซตค่า Timing ภายใน

ตำแหน่งบิตที่ใช้สำหรับควบคุมการส่งและรับของรีจิสเตอร์ TA และ RA เป็น

- บิต 0 - 1 —————> 0, 0
- บิต 2 - 6 —————> RA
- บิต 7 - 8 —————> don't care (x)
- บิต 9 - 13 —————> TA
- บิต 14 - 15 —————> don't care (x)

ตำแหน่งบิตที่ใช้สำหรับควบคุมการส่งและรับของรีจิสเตอร์ TB และ RB เป็น

- บิต 0 - 1 —————> 0, 1
- บิต 2 - 7 —————> RB
- บิต 8 —————> don't care (x)
- บิต 9 - 14 —————> TB
- บิต 15 —————> don't care (x)

AIC สามารถกำหนดค่า Sampling Frequency และ Filter Bandwidth โดยการให้การติดต่อระดับ 2 โดยให้เซตค่าเป็น 1 ใน 2 บิตแรก (LSBs) ทำให้การติดต่อระดับ 2 มีค่าเหมือนการติดต่อระดับ 1 ถ้าดับข้อมูลจะถูกโหลดจากรีจิสเตอร์ส่งข้อมูลพอร์ตอนุกรม (Serial Port Data Transmit Register) และเซต LSBs ทั้ง 2 เป็น 1 สำหรับการติดต่อระดับ 2 ในแต่ละครั้งมีดังนี้

- 0×3(3h) ใช้เรียกการติดต่อระดับ 2
- ค่ารีจิสเตอร์ A
- 0×3 เรียกการติดต่อระดับ 2 ครั้งที่ 2
- ค่ารีจิสเตอร์ B
- 0×3 เรียกการติดต่อระดับ 2 ครั้งที่ 3
- ค่ารีจิสเตอร์ควบคุม

สามารถหาค่า A และ B เพื่อออกแบบค่า Sampling Frequency และ Input Filter Bandwidth (BW)

ง.7 การคำนวณหาค่า A และ B เพื่อออกแบบค่า Fs และ Filter BW

บอร์ด TMS320C31DSK มี Input Clock (CLKIN) เป็น 50 MHz สามารถกำเนิดสัญญาณความถี่ไทมเมอร์สูงสุด เป็น $MCLK = (CLKIN/4) = 12.5 \text{ MHz}$ ซึ่งสูงกว่า Master Clock Frequency ของ AIC ที่มีค่ากับ 10MHz AIC master clock (MCLK) ที่เข้ามาสามารถวัดสัญญาณได้จากขา 8 ใน JP1 สัญญาณสูงสุดที่ได้จาก A/C เราสามารถหาได้จาก Input Clockหารด้วย 8 หรือ

$$MCLK = CLKIN/8 = (50\text{MHz} / 8) = 6.25 \text{ MHz}$$

Switched – capacitor filter frequency (SCF) เป็นความสัมพันธ์จากรีจิสเตอร์การส่งของ A หรือ

$$SCF = MCLK / (2 \times TA) \quad (2-30)$$

และความถี่สุ่ม (Sampling frequency) เป็นความสัมพันธ์จาก การส่งในรีจิสเตอร์ของ A และ B

$$Fs = MCLK / (2 \times TA \times TB) \quad (2-31)$$

Input Filter Bandwidth หรือ Cutoff Frequency เซตที่ 3600 MHz สำหรับ SCF ที่ 288 kHz ค่า SCF ใหม่จะได้ค่า BW นำไปคำนวณในตัวอย่าง และหาค่า A และ B เพื่อไปเซต A/C

ออกแบบ $F_s = 8 \text{ kHz}$

การออกแบบ Cutoff Frequency ของ Input Anti Aliasing Filter เป็น 3600 Hz ที่ SCF 288 kHz จาก (2-30)

$$\begin{aligned} TA &= MCLK / (2 \times SCF) = 6.25 \text{ MHz} / (2 \times 288 \text{ kHz}) \\ &= 10.85 \approx 11 = (01011)_b \end{aligned} \quad (2-32)$$

จาก (2-31)

$$\begin{aligned} TB &= MCLK / (2 \times TA \times F_s) \\ &= 6.25 \text{ MHz} / (2 \times 11 \times 8000) \\ &= 35.51 \approx 36 = (100100)_b \end{aligned}$$

จาก (2-32) จะได้ SCF (ปฏิบัติ) เป็น

$$\begin{aligned} SCF &= 6.25 \text{ MHz} / (2 \times TA) \\ &= 284.09 \text{ KHz} \end{aligned}$$

Cutoff frequency หรือ Input filter bandwidth

$$\begin{aligned} BW &= 3600 \text{ (New SCF / Set SCF)} \\ &= 3600 \text{ (284.09 KHz / 288 KHz)} \\ &= 3551.14 \text{ Hz} \end{aligned}$$

จะได้ความถี่สุ่ม (Sampling frequency) เป็น

$$\begin{aligned} F_s &= 6.25 \text{ MHz} / (2 \times TA \times TB) \\ &= 6.25 \text{ MHz} / (2 \times 11 \times 36) \\ &= 7891.41 \text{ Hz} \end{aligned}$$

จาก (2-32) จะได้ตำแหน่งบิตที่ใช้ ในการรีจิสเตอร์ควบคุม และเซต $TA = RA$ ซึ่ง TA มี 5 บิต, TB มี 6 บิต และ xx จะไม่สนใจ (don't care) เช่น

$$\begin{array}{c|c|c|c|c} 00 & 01011 & 00 & 01011 & 00 \\ \hline xx & TA & xx & RA & \end{array} \Rightarrow 162\text{Ch}$$

แยกบิตที่จะนำไปใช้เป็น 4 กลุ่ม โดยค่า $A = 162\text{Ch}$ $TB = RB$ ก็เช่นเดียวกัน

$$\begin{array}{c|c|c|c|c} 0 & 100100 & 0 & 100100 & 10 \\ \hline x & TB & x & RB & \end{array} \Rightarrow 4892\text{h}$$

ออกแบบ $F_s = 10 \text{ kHz}$

ใช้ Cutoff Frequency หรือ BW สำหรับ Input Anti Aliasing Filter เหมือนกับ $F_s = 8 \text{ KHz}$, $TA = 11$ จะได้

$$\begin{aligned} TB &= 6.25 \text{ MHz} / (2 \times 11 \times 10000) \\ &= 28.41 \approx 28 = (011100)_b \end{aligned}$$

ความถี่สุ่ม (Sampling frequency) เป็น

$$\begin{aligned} F_s &= 6.25 \text{ MHz} / (2 \times TA \times TB) \\ &= 6.25 \text{ MHz} / (2 \times 11 \times 28) \\ &= 10146 \text{ MHz} \end{aligned}$$

ค่า B ได้

$$\begin{array}{c|c|c|c|c} 0 & 011100 & 0 & 011100 & 10 \\ x & TB & x & RB & \\ \hline & & & & \Rightarrow 3872h \end{array}$$

หรือ $B = 3872 \text{ h}$

ออกแบบ $F_s = 20 \text{ kHz}$

$$\begin{aligned} \text{ออกแบบ BW} &= 6.25 \text{ MHz} / (2 \times 640k) \\ BW &= 3600 \text{ (New SCF / Set SCF)} \end{aligned}$$

ค่า Switched – capacitor filter frequency ค่าใหม่ เป็น

$$SCF = 8000 \text{ (288K)} / 3600 \text{ KHz}$$

ค่า TA และ TB เป็น

$$\begin{aligned} TA &= 6.25 \text{ MHz} / (2 \times 640 \text{ k}) \\ &= 4.88 \approx 5 = (00101)_b \\ TB &= 6.25 \text{ MHz} / (2 \times 5 \times 20000) \\ &= 31.25 \approx 31 = (011111)_b \end{aligned}$$

ได้ SCF (ปฏิบัติ) เป็น

$$SCF = 6.25 \text{ MHz} / (2 \times 5) = 625 \text{ kHz}$$

ได้ Bandwidth (ปฏิบัติ) เป็น

$$\begin{aligned} BW &= 3600(625 \text{ k}/288 \text{ k}) \\ &= 7812.5 \text{ Hz} \end{aligned}$$

ความถี่สุ่ม (ปฏิบัติ) เป็น

$$F_s = 6.25 \text{ MHz} / (2 \times 5 \times 31) = 20161.29 \text{ Hz}$$

ค่า A จะได้

$$\begin{array}{c|c|c|c|c} 00 & 00101 & 00 & 00101 & 00 \\ xx & TA & xx & RA & \\ \hline & & & & \Rightarrow 0A14h \end{array}$$

หรือ $A = 0A14h$

$$0|011111|0|011111|10 \Rightarrow 3E7Eh$$

x TA x RA

หรือ B = 3E7Eh

ตารางที่ ง-4 ค่ารีจิสเตอร์ที่มี Sampling rate แตกต่างกัน 4 ค่า

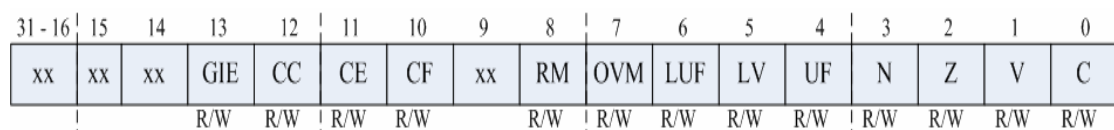
Fs(ออกแบบ),Hz	Fs(ปฏิบัติ)	A	B
8000	7891.41	0x162C	0x4892
10000	10146	0x162C	0x3872
16000	15943	0x0E1C	0x3872
20000	20161.29	0x0A14	0x3E4E

สำหรับ Fs = 16 kHz มี BW (ปฏิบัติ) 5580 Hz

การเพิ่มค่าที่เซตในรีจิสเตอร์ TA' และ TB' จะทำให้ค่า Sampling Rate มีความละเอียดมากขึ้น

ง.8 การขัดจังหวะ (Interrupt และ Peripherals)

TMS320C31 สนับสนุนการอินเทอร์รัพท์ทั้งภายในและภายนอกนั้นคือสามารถอินเทอร์รัพท์ CPU หรือ DMA เช่นเดียวกับการใช้ Nonmaskable External Interrupt ในภาพที่ ง-19 ซึ่งแสดงให้เห็นรีจิสเตอร์ Global Interrupt Enable (GIE) บิต ซึ่งอยู่ภายในรีจิสเตอร์สถานะ (Status Register: ST) และเป็นตัวการควบคุมการอินเทอร์รัพท์ทั้งหมดโดยการเซตค่าบิต GIE ให้มีค่าเป็น 1 เพื่อให้มีการอินเทอร์รัพท์ การสั่งให้อินเทอร์รัพท์ไม่ทำงานโดยเซตค่าให้รีจิสเตอร์ Interrupt Enable (IE) เป็น 0 ในภาพที่ ง-20 และเซตค่าให้ GIE เป็น 0 ด้วย ภาพที่ ง-21 แสดง Memory – mapped เป็นตำแหน่งที่ใช้สำหรับอินเทอร์รัพท์



Notes: 1) xx = reserved bit, read as 0
 2) R = read, W = write

ภาพที่ ง-19 Status (ST) register

31	30	29	28	27	26	25	24	23	22	21	20	19	18	17	16
xx	xx	xx	xx	xx	EDINT (DMA)	ETINT1 (DMA)	ETINT0 (DMA)	ERINT1 (DMA)	EXINT1 (DMA)	ERINT0 (DMA)	EXINT0 (DMA)	EINT3 (DMA)	EINT2 (DMA)	EINT1 (DMA)	EINT0 (DMA)
					R/W	R/W	R/W	R/W	R/W	R/W	R/W	R/W	R/W	R/W	R/W
15	14	13	12	11	10	9	8	7	6	5	4	3	2	1	0
xx	xx	xx	xx	xx	EDINT (CPU)	ETINT1 (CPU)	ETINT0 (CPU)	ERINT1 (CPU)	EXINT1 (CPU)	ERINT0 (CPU)	EXINT0 (CPU)	EINT3 (CPU)	EINT2 (CPU)	EINT1 (CPU)	EINT0 (CPU)
					R/W	R/W	R/W	R/W	R/W	R/W	R/W	R/W	R/W	R/W	R/W

ภาพที่ ง-20 Interrupt enable (IE) register

809FC1h	INT0
809FC2h	INT1
809FC3h	INT2
809FC4h	INT3
809FC5h	XINT0
809FC6h	RINT0
809FC7h	Reserved
809FC8h	Reserved
809FC9h	TINT0
809FCAh	TINT1
809FCBh	DINT0
809FCCh	Reserved
809FDFh	Reserved
809FE0h	TRAP 0
	⋮
809FFBh	TRAP 27
809FFCh	Reserved
809FFFh	Reserved

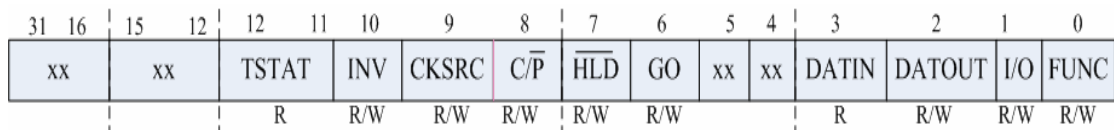
ภาพที่ ง-21 Memory – mapped interrupt location

ง.9 ตัวตั้งเวลา (Timer)

TMS320C31 สนับสนุน Timer 2 ตัว นั่นคือสามารถใช้สัญญาณนับภายนอกได้ สิ่งเหล่านี้ต้องเตรียมสัญญาณเวลาที่จำเป็นเพื่อเป็นค่าเริ่มต้นการแปลงค่าของ ADC ภาพที่ ง-22 แสดงรีจิสเตอร์ Peripheral Bus Memory – mapped รีจิสเตอร์ Timer Global Control (ภาพที่ ง-23) อยู่ที่ตำแหน่ง 808020 รีจิสเตอร์ Timer's status และรีจิสเตอร์ Timer's period อยู่ที่ตำแหน่ง 808028 เป็นตำแหน่งเฉพาะของ Timer's frequency รีจิสเตอร์ Timer's counter อยู่ที่ตำแหน่ง 808024 จะบรรจุค่าที่เพิ่มของ Counter เมื่อค่าของรีจิสเตอร์ Period เท่ากับค่าของรีจิสเตอร์ Timer Counter รีจิสเตอร์ Counter จะรีเซ็ตเป็น 0 โดยที่ตำแหน่งรีเซ็ต Timer Counter และรีจิสเตอร์ Period ถูกเซ็ตเป็น 0 สามารถใช้รีจิสเตอร์เหล่านี้เพื่อออกแบบอัตรการอินเทอร์รัพท์ ซึ่งมีผลต่อการออกแบบ f_s

808000h	DMA Global Control
808004h	DMA Source Address
808006h	DMA Destination Address
808008h	DMA Transfer Count
808020h	Timer 0 Global Control
808024h	Timer 0 Counter
808028h	Timer 0 Period Register
808030h	Timer 1 Global Control
808034h	Timer 1 Counter
808038h	Timer 1 Period Register
808040h	Serial Port Global Control
808042h	FSX/DX/CLKX Serial Port Control
808043h	FSR/DR/CLKR Serial Port Control
808044h	Serial R/X Timer Control
808045h	Serial R/X Timer Counter
808046h	Serial R/X Timer Period Register
808048h	Data Transmit
80804Ch	Data Receive
808064h	Primary-Bus Control

ภาพที่ ง-22 Peripheral bus memory – mapped registers

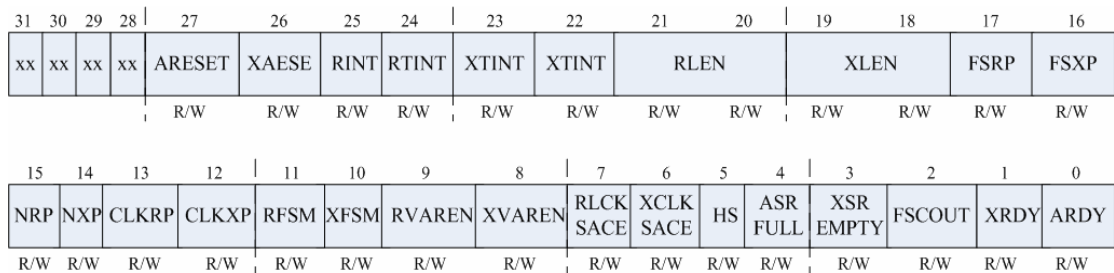


Notes: 1) xx = reserved bit, read as 0
2) R = read, W = write

ภาพที่ ง-23 Timer global register

ง.10 พอร์ตอนุกรม (Serial Port)

TMS320C31 สนับสนุน Serial port 1 พอร์ต (C30 มี 2 พอร์ต) และการเซตค่ารีจิสเตอร์ควบคุมการแสดงผลในภาพที่ ง-22 ส่วนในภาพที่ ง-24 แสดงรูปแบบของรีจิสเตอร์ Serial Port Global Control AIC บนบอร์ด DSK ต่อกับ C31 โดยพอร์ตอนุกรม ขาที่ 22 ต่อกับตัว Jumper (JP1) ซึ่ง C31 ส่งสัญญาณไปยัง AIC โดย Jumper เหล่านี้สามารถเอาออกได้เพื่อหยุดการติดต่อจาก C31 ไปยัง AIC และ JP1 จะเข้าถึงสัญญาณของ C31 และสามารถต่อไปยังภายนอกบอร์ดได้



Notes: 1) xx = reserved bit, read as 0
2) R = read, W = write

ภาพที่ ง-24 Serial port control register

ตารางที่ ง-5 ตำแหน่งและการเซตค่ารีจิสเตอร์ TMS320C31

รีจิสเตอร์	ตำแหน่ง	คำสั่ง
Timer 0 period	0x808020	Load 0x1
Timer 0 global control	0x808020	Load 0c3C1
I/O flag	IOF	Load 0x2
SP0 transmit port control	0x808042	Load 0x131
SP0 receive port control	0x808043	Load 0x131
SP0 global control	0x808040	Load 0x0E970300
SP0 data transmit	0x808048	Load 0x0
I/O	IOF	Load 0x6
Interrupt flag	IF	Load 0x0
Interrupt enable	IE	OR 0x10
Status register	ST	OR 0x2000

ประวัติผู้วิจัย

ชื่อ : นายอภิชาติ กระจ่างเย่า
 ชื่อวิทยานิพนธ์ : การสร้างระบบบีบอัดและขยายสัญญาณคลื่นไฟฟ้าหัวใจแบบเวลาจริง
 โดยใช้ในการประมวลผลสัญญาณเชิงเลขหลายอัตรา
 สาขาวิชา : อุปกรณ์การแพทย์

ประวัติ

ประวัติการศึกษา

สำเร็จการศึกษาระดับปริญญาตรี สาขาเทคโนโลยีอุตสาหกรรม คณะวิทยาศาสตร์และเทคโนโลยี สถาบันราชภัฏพระนครศรีอยุธยา สำเร็จการศึกษา วันที่ 23 มิถุนายน 2543

สำเร็จการศึกษาระดับประกาศนียบัตรวิชาชีพชั้นสูง (ปวส.) สาขาวิชาช่างอิเล็กทรอนิกส์ วิทยาลัยเทคนิคชัยนาท สำเร็จการศึกษาปี 2541

สำเร็จการศึกษาระดับประกาศนียบัตรวิชาชีพ (ปวช.) สาขาวิชาช่างอิเล็กทรอนิกส์ วิทยาลัยเทคนิคลพบุรี สำเร็จการศึกษาปี 2539

ประวัติการทำงาน

ปฏิบัติงานในตำแหน่ง เจ้าหน้าที่ห้องปฏิบัติการประจำโปรแกรมวิชาเทคโนโลยีอุตสาหกรรม คณะวิทยาศาสตร์และเทคโนโลยี มหาวิทยาลัยราชภัฏพระนครศรีอยุธยา (ธันวาคม 2543 – กุมภาพันธ์ 2549)

สถานที่ติดต่อ

บ้านเลขที่ 2/1 หมู่ 1 ตำบล บ้านลี อำเภอบางปะหัน จังหวัดพระนครศรีอยุธยา 13220